



ออสซิลเลเตอร์

OSCILLATOR

จัดทำโดย

จรูญ เจนลาภวัฒนกุล

CHAROON JANLARPWATTANAKUL

ฉันทวีร์ ชมเดช

CHANTAWEE CHOMDEJ

อาจารย์ที่ปรึกษา

ADVISOR

อาจารย์ นิชิต ล้ายอง

PICHIT LUMYONG M.ENG.

วิทยานิพนธ์สำหรับปริญญาวิศวกรรมศาสตรบัณฑิต

สาขาวิศวกรรมไฟฟ้า

คณะวิศวกรรมศาสตร์

สถาบันเทคโนโลยีพระจอมเกล้าเจ้าคุณทหารลาดกระบัง

ปีการศึกษา 2533

0:28837

เอกสารนี้เป็นเอกสารที่สงวนไว้สำหรับการใช้งานเพื่อการศึกษาเท่านั้น ไม่อนุญาตให้นำไปใช้ประโยชน์ด้านการค้า  
ไม่ว่ากรณีใดๆทั้งสิ้น อีกทั้งห้ามมิให้ตัดแปลงเนื้อหา และต้องอ้างอิงถึงเจ้าของเอกสารทุกครั้งที่มีการนำไปใช้

ปริญญานิพนธ์ปีการศึกษา 2533

ภาควิชาวิศวกรรมไฟฟ้า

คณะวิศวกรรมศาสตร์ สถาบันเทคโนโลยีพระจอมเกล้าเจ้าคุณทหาร ลาดกระบัง

เรื่อง ออสซิลเลเตอร์

ผู้จัดทำ

นายจรูญ เจนลาภวัฒนกุล 301034

นายฉันทวีร์ ชมเดช 301046

  
.....อาจารย์ที่ปรึกษา

(อาจารย์ นิชิต ล้ำยอง)

## ออสซิลเลเตอร์

จรรยา เจนลาภวัฒนกุล

ฉันทวีร์ ชมเดช

อาจารย์ นิชิต ลำยอง

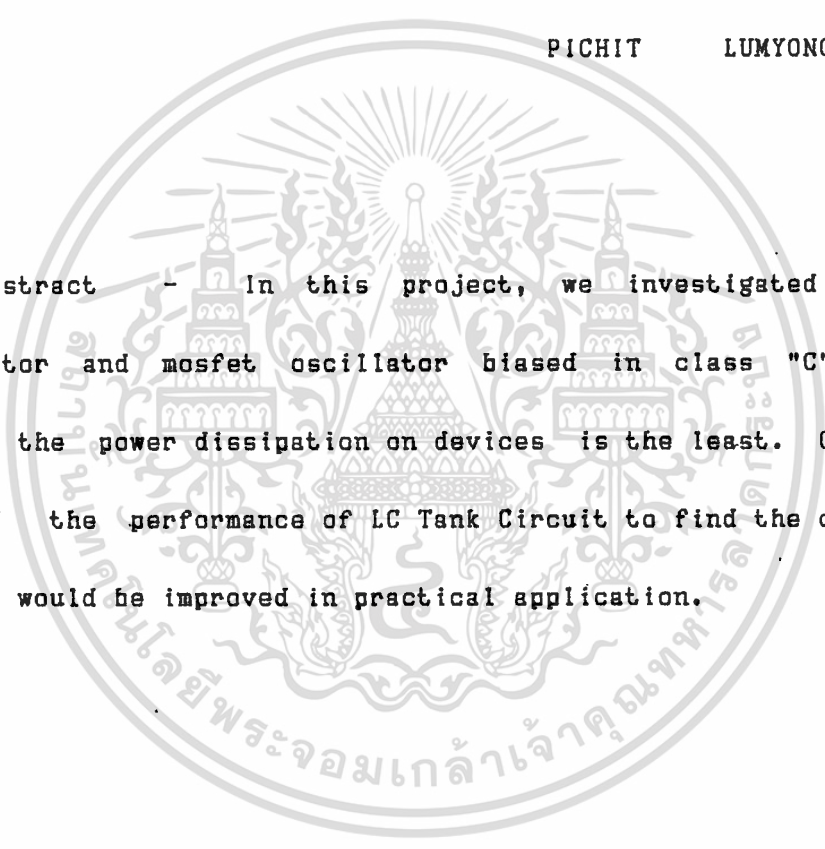
บทคัดย่อ - โครงการนี้ศึกษาวงจรทรานซิสเตอร์ออสซิลเลเตอร์และมอสเฟทออสซิลเลเตอร์ โดยใช้อุปกรณ์ให้ทำงานอยู่ในคลาส ซี เพื่อให้พลังงานที่สูญเสียในอุปกรณ์สวิทช์มีค่าน้อยที่สุด ทั้งยังศึกษาคุณลักษณะของวงจร LC TANK Circuit เพื่อหาจุดที่เหมาะสมในการนำไปประยุกต์ใช้งานต่าง ๆ

## OSCILLATOR

CHAROON JANLARPWATTANAKUL

CHANTAWEE CHOMDEJ

PICHIT LUMYONG



Abstract - In this project, we investigated the triode oscillator and mosfet oscillator biased in class "C" amplifier. Since the power dissipation on devices is the least. Otherwise we studied the performance of LC Tank Circuit to find the optimum point that it would be improved in practical application.

## บทนำ

ถึงแม้ว่าในปัจจุบันนี้ ความสำคัญของหลอดสูญญากาศต่อวงจรอิเล็กทรอนิกส์จะลดลงไปมากแล้วก็ตาม แต่หลอดสูญญากาศก็มีความจำเป็นต่องานทางด้านอิเล็กทรอนิกส์บางประเภท เช่น เครื่องส่งวิทยุกำลังสูง อุปกรณ์บางอย่างในโรงงานอุตสาหกรรม เป็นต้น เนื่องจากหลอดสูญญากาศมีนิทกกำลังสูง และตอบสนองต่อความถี่สูงได้ดี โดยโครงงานนี้ได้ศึกษาการนำหลอดไตรโอดซึ่งเป็นหลอดสูญญากาศมาทำเป็นวงจรออสซิลเลเตอร์ตามที่ได้กล่าวไว้ในบทที่ 1 อนึ่งเนื่องจาก MOSFET ซึ่งเป็นอุปกรณ์สารกึ่งตัวนำที่มีคุณสมบัติคล้ายคลึงกับหลอดสูญญากาศมาก จึงได้ศึกษาแนวทางในการใช้งานมอสเฟตออสซิลเลเตอร์ดังที่กล่าวไว้ในบทที่ 2 ในบทที่ 3 เป็นการทดลองเพื่อหาจุดที่เหมาะสมของวงจร LC Tank ซึ่งเป็นองค์ประกอบที่สำคัญของวงจรออสซิลเลเตอร์

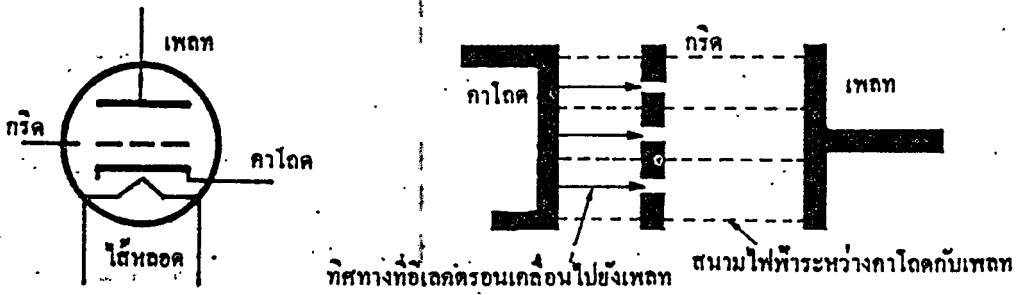
บทที่ 1

หลอด Triode และออสซิลเลเตอร์

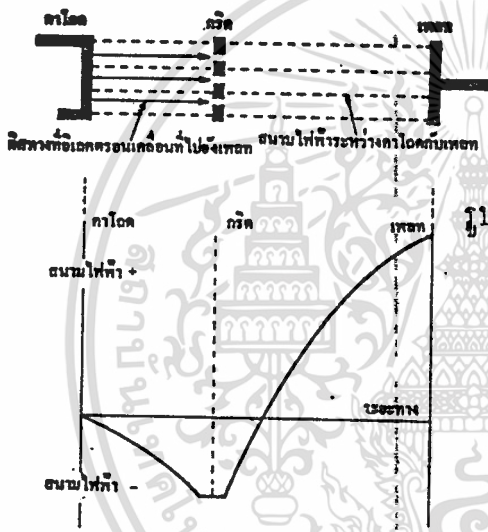
สารบัญ

	หน้า
บทนำ	1
บทที่ 1 หลอดไตรโอดและออสซิลเลเตอร์	2
1.1 การทำงานของหลอดไตรโอด	2
1.2 คุณสมบัติของหลอดไตรโอด	10
1.3 การไบอัสและการใช้งานของหลอดไตรโอด	14
1.4 วิธีการไบอัสหลอดไตรโอด	19
1.5 TANK CIRCUIT	24
1.6 วงจรขยายแบบ C	37
1.7 OSCILLATOR	40
บทที่ 2 ฟิลด์เอฟเฟคทรานซิสเตอร์	46
2.1 ชนิดของฟิลด์เอฟเฟคทรานซิสเตอร์	46
2.2 ลักษณะโครงสร้างของฟิลด์เอฟเฟคทรานซิสเตอร์ที่มีฉนวนหัวต่อ PN	46
2.3 ฟิลด์เอฟเฟคทรานซิสเตอร์ชนิดที่เกตมีฉนวนกัน	50
2.4 การไบอัสวงจรรขยายของ FET	52
2.5 วงจรขยายที่ใช้ FET	57
2.6 ทฤษฎีทั่วไปของ FET LC OSCILLATOR	64
บทที่ 3 การทดลอง	67
วิเคราะห์ผลการทดลองและวิจารณ์	76
กิตติกรรมประกาศ	77
บรรณานุกรม	78

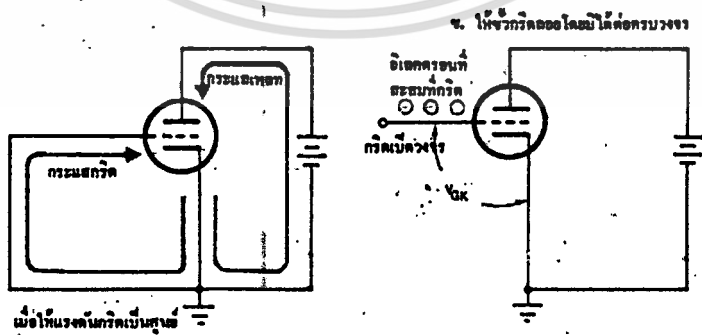
เอกสารนี้เป็นเอกสารที่สงวนไว้สำหรับการใช้งานเพื่อการศึกษาเท่านั้น ไม่อนุญาตให้นำไปใช้ประโยชน์ด้านการค้า  
ไม่ว่ากรณีใดๆทั้งสิ้น อีกทั้งห้ามมิให้ตัดแปลงเนื้อหา และต้องอ้างอิงถึงเจ้าของเอกสารทุกครั้งที่มีการนำไปใช้



รูปที่ 1.1 สัญลักษณ์และการทำงานของหลอดไครโอด



รูปที่ 1.2 ค่าของศักดาไฟฟ้าที่แปรไปกับระยะทางระหว่างคาโอดกับเพลาท



รูปที่ 1.3 เมื่อแรงดันที่กริดเป็นศูนย์จะมีกระแสกริดไหลผ่านกริด

เอกสารนี้เป็นเอกสารที่สงวนไว้สำหรับการใช้งานเพื่อการศึกษาเท่านั้น ไม่อนุญาตให้นำไปใช้ประโยชน์ด้านการค้า  
ไม่ว่ากรณีใดๆทั้งสิ้น อีกทั้งห้ามมิให้ดัดแปลงเนื้อหา และต้องอ้างอิงถึงเจ้าของเอกสารทุกครั้งที่มีการนำไปใช้

## การควบคุมการไหลของอิเล็กตรอนด้วยกริด

การไหลของกระแสอิเล็กตรอนระหว่างคาโอดและเพลทจะถูกควบคุมด้วยแรงดันที่ให้ไว้กับกริดเมื่อเทียบกับคาโอดหรือแรงดัน  $V_{gk}$  โดยทั่วไปเรียกกันสั้น ๆ ว่าแรงดันกริด (Grid Voltage) โดยแรงดันกริดนี้สามารถทำให้เป็นบวกเป็นลบหรือมีค่าเป็นศูนย์ได้

จากการที่กล่าวมาแล้วว่าในบริเวณระหว่างกริดกับคาโอดจะมีสนามไฟฟ้าเกิดขึ้น และเมื่อป้อนแรงดันกริดที่มีค่าเป็นลบ ทิศทางของสนามไฟฟ้าจะมีทิศตรงข้ามกับการไหลของอิเล็กตรอน และบริเวณที่ตำแหน่งกริดจะมีค่าใกล้ชิดกับคาโอดมากกว่าเพลท ในขณะที่กริดมีค่าเป็นลบ กริดจะไม่ดึงอิเล็กตรอนเข้าหาตัวมันเอง แต่จะผลักอิเล็กตรอนไว้ เนื่องจากเพลทมีศักดาเป็นบวกสูงมากจึงมีอิเล็กตรอนบางตัวผ่านช่องว่างระหว่างแผ่นกริดไปยังเพลทได้ ถ้าให้แรงดันที่กริดมีค่าเป็นลบมากขึ้นอิเล็กตรอนจะไปยังเพลทได้น้อย ดังนั้นแรงดันที่กริดจะทำหน้าที่เป็นตัวควบคุมการไหลของกระแสเพลท ดังจะเห็นได้ว่าเมื่อแรงดันที่กริดมีค่าเป็นลบมากขึ้น ส่วนของกริดจะต้านตัวอิเล็กตรอนที่เกิดขึ้นที่คาโอดไว้ไม่ให้ไหลไปที่เพลทเป็นต้น เราพอสรุปได้ว่าผลของแรงดันที่กริดมีต่อกระแสเพลท เป็นดังนี้

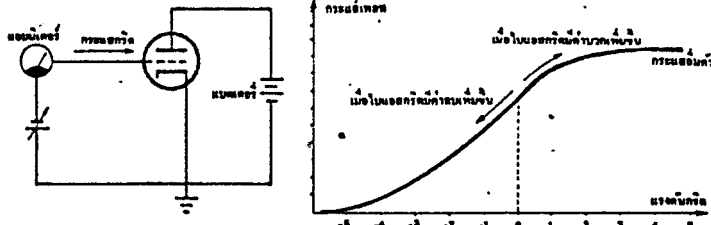
1. เมื่อแรงดันกริดเป็นลบมากขึ้น จะทำให้มีกระแสเพลทลดน้อยลง และถ้ากริดเป็นลบน้อยลงจะทำให้มีกระแสเพลทมากขึ้น
2. ถ้าทำให้แรงดันที่กริดมีค่าเป็นลบสูงมาก ๆ จนถึงค่าหนึ่งจะทำให้ไม่มีกระแสไหลในวงจรเพลทถึงแม้ว่าเพลทจะมีแรงดันเป็นบวกก็ตาม

### แรงดันคัทออฟ

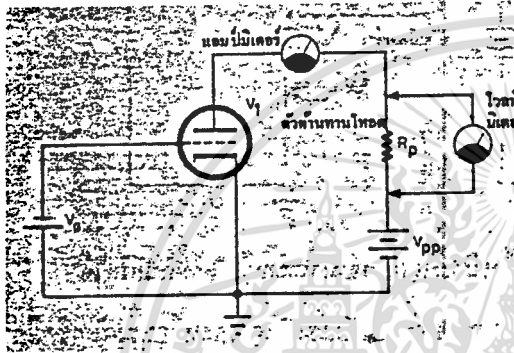
แรงดันไฟลบที่กริดที่พอคัททำให้กระแสเพลทเป็นศูนย์ นั่นคือไม่มีกระแสเพลท แรงดันกริดค่านี้ยังขึ้นอยู่กับแรงดันที่ป้อนให้กับเพลทด้วย ดังนั้นการที่จะบอกได้ว่าแรงดันกริดคัทออฟนั้นจึงต้องกำหนดค่าแรงดันเพลทไว้ด้วยเช่นกัน ในหลอดบางชนิดแรงดันกริดคัทออฟมีค่าต่ำมาก

เพียงค่าประมาณ  $-1$  โวลท์ ก็ทำให้กระแสเพลทไม่ไหลได้แล้ว แต่บางหลอดแรงดันนี้อาจมีค่า

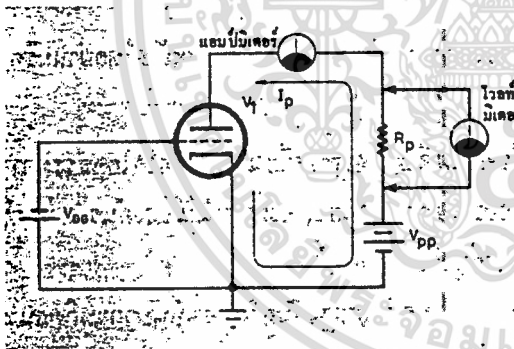
เอกสารนี้เป็นเอกสารที่จัดทำขึ้นไว้สำหรับการใช้งานเพื่อการศึกษาเท่านั้น ไม่อนุญาตให้นำไปใช้ประโยชน์ด้านการค้า  
สูงถึง  $-60$  โวลท์ ขึ้นกับเงื่อนไขในการใช้งานของแต่ละวงจร  
ไม่มีการณีใดๆทั้งสิ้น อีกทั้งห้ามมิให้คัดแปลงเนื้อหา และต้องอ้างอิงถึงเจ้าของเอกสารทุกครั้งที่มีการนำไปใช้



รูปที่ 1.4 เมื่อกริดเป็นบวกจะมีกระแสในกริดและผลกราฟกระแสเฟลต

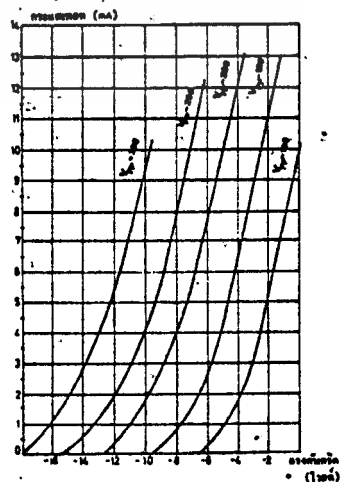


รูปที่ 1.5 เมื่อโวลต์กริดด้วยแรงดันกริดคัทออฟ



รูปที่ 1.6 เมื่อโวลต์กริดเป็นลบน้อยกว่าแรงคัทออฟกริด

รูปที่ 1.7 ลักษณะสมบัติทางค่านกริดของหลอดไตรโอด



เอกสารนี้เป็นเอกสารที่สงวนไว้สำหรับการใช้งานเพื่อการศึกษาเท่านั้น ไม่อนุญาตให้นำไปใช้ประโยชน์ด้านการค้า  
ไม่ว่ากรณีใดๆทั้งสิ้น อีกทั้งห้ามมิให้ดัดแปลงเนื้อหา และต้องอ้างอิงถึงเจ้าของเอกสารทุกครั้งที่มีการนำไปใช้

ผลของการให้แรงดันกริดเป็นศูนย์

เมื่อแรงดันกริดมีค่าเท่ากับแรงดันคาโทดหรือแรงดันกริดมีค่าเป็นศูนย์ ในกรณีนี้จะไม่มีความต่างศักย์ระหว่างกริดกับคาโทด ดังนั้นการไหลของกระแสอิเล็กตรอนจึงขึ้นอยู่กับสนามไฟฟ้าที่เกิดจากแรงดันไฟเพลทแต่เพียงอย่างเดียว

ในขณะที่ให้แรงดันกริดมีค่าเป็นศูนย์จะมี กระแสจากประจุในที่ว่าง จำนวนเล็กน้อยไหลผ่านกริดไปคาโทดได้ ส่วนของกระแสนี้โดยทั่วไปมีค่าน้อยมาก

หลอดที่ให้แรงดันกริดมีค่าเป็นศูนย์เมื่อเทียบกับคาโทดจึงทำหน้าที่เหมือนกับหลอดไดโอดโดยทั่วไปธรรมดา วิธีที่จะทำให้หลอดไตรโอดให้เป็นไดโอดว่าง ๆ ก็คือการปล่อยขากริดทิ้งไว้เฉยๆ ทำให้ไม่มีแรงดันระหว่างกริดและคาโทด ไตรโอดจึงเสมือนกับเป็นหลอดไดโอดแต่เพียงอย่างเดียว

ผลของหลอดไตรโอดเมื่อแรงดันกริดเป็นบวก

เมื่อทำให้แรงดันกริดมีค่าเป็นบวกจะเกิดสนามไฟฟ้าที่บริเวณระหว่างกริดและคาโทด ทำให้กระแสเพลทที่แต่เดิมเคลื่อนที่จากคาโทดไปยังเพลทน้อยลง และจะมีกระแสกริดเกิดขึ้น ลักษณะคุณสมบัติที่แสดงความความสัมพันธ์ของแรงดันกริดกับกระแสเพลท

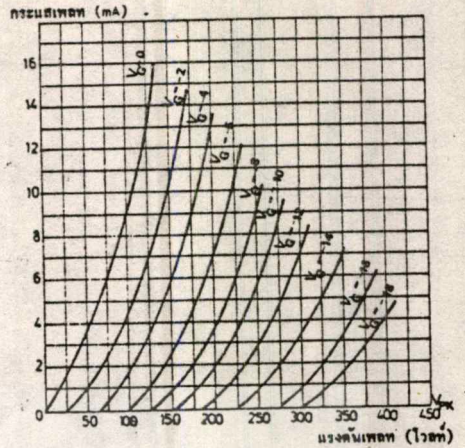
โดยปกติกระแสกริดเป็นสิ่งที่ไม่ต้องการและมิได้ใช้งานในวงจรอิเล็กทรอนิกส์ หลอดไตรโอดโดยทั่วไปจะใช้เมื่อแรงดันกริดเป็นลบหรือศูนย์เท่านั้น อีกประการหนึ่งคือเมื่อมีกระแสกริดเกิดขึ้นอิเล็กตรอนจะวิ่งไปชนกริดและจะเป็นผลทำให้กริดเกิดการเสียหายได้ง่าย อายุการใช้งานของหลอดไตรโอดก็จะน้อยลง

ความสัมพันธ์ระหว่างกระแสเพลทกับแรงดันไฟกริด

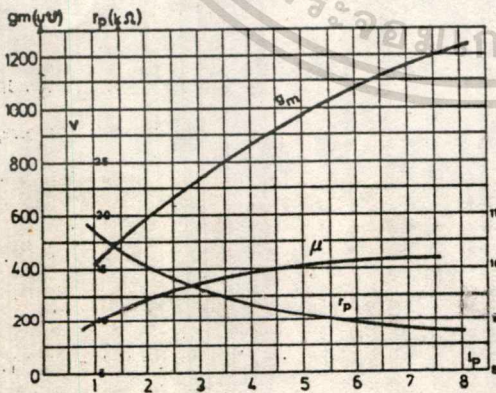
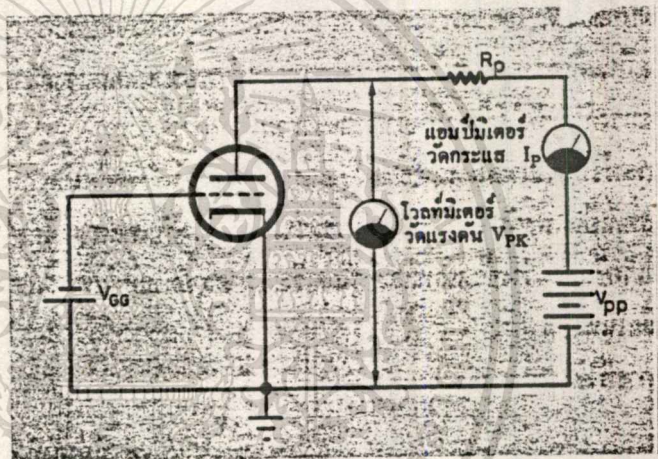
ในเรื่องของแรงดันกริดคัทออฟ(Grid cutoff voltage) จะเห็นได้ว่าเมื่อป้อนค่าแรงดันนี้ให้กับกริดจะเป็นผลทำให้ไม่มีกระแสไฟฟ้าไหลในวงจรเพลท สมมติว่าตัวต้านทานให้เป็น

เอกสารนี้เป็นเอกสารที่สงวนไว้สำหรับการใช้งานเพื่อการศึกษาเท่านั้น ไม่อนุญาตให้ไปใช้ประโยชน์ด้านการค้า  
หลอดกึ่งวงจรเพลท ค่าของกระแสและแรงดันคร่อมตัวหลอดจะมีค่าเป็นศูนย์  
ไม่ว่ากรณีใดๆทั้งสิ้น อีกทั้งห้ามมิให้คัดแปลงเนื้อหา และต้องอ้างอิงถึงเจ้าของเอกสารทุกครั้งที่มีการนำไปใช้

รูปที่ 1.8 ลักษณะสมบัติทางกานเพลท  
ของหลอดไตรโอด

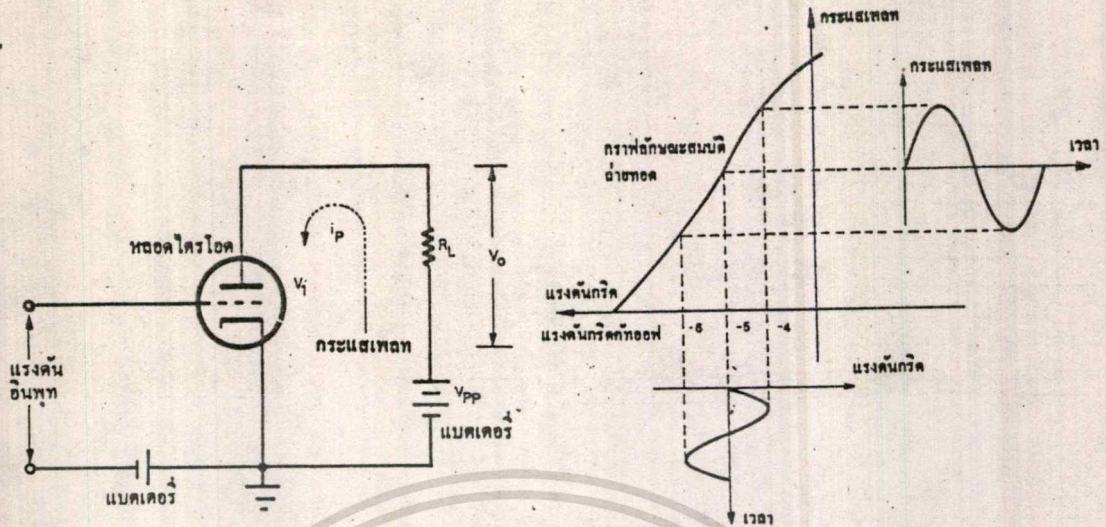


รูปที่ 1.9 วงจรสำหรับหาอัตรา  
ขยายของวงจรหลอด



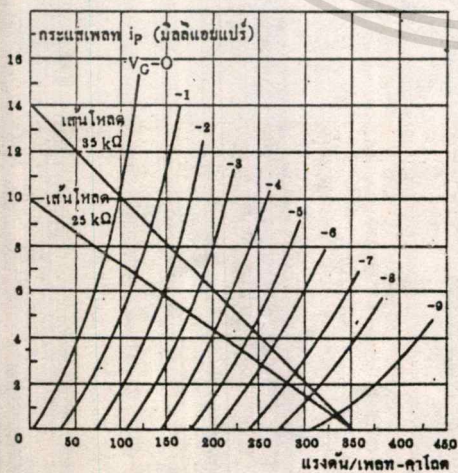
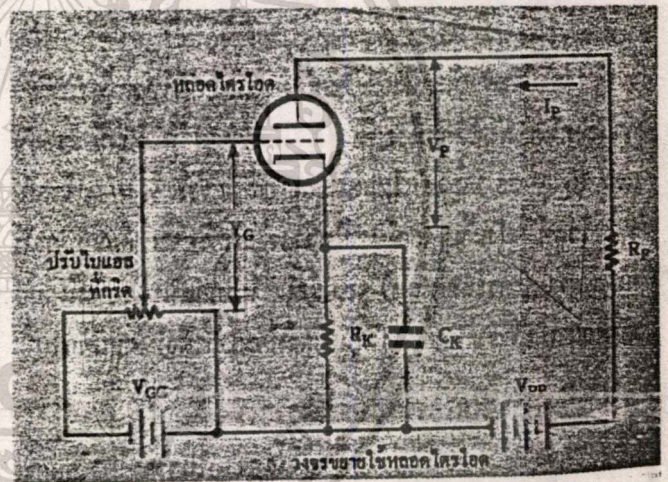
รูปที่ 1.10 การเปลี่ยนแปลงของค่าตัว  
พารามิเตอร์กับกระแสเพลท

เอกสารนี้เป็นเอกสารที่สงวนไว้สำหรับการใช้งานเพื่อการศึกษาเท่านั้น ไม่อนุญาตให้นำไปใช้ประโยชน์ด้านการค้า  
ไม่ว่ากรณีใดๆทั้งสิ้น อีกทั้งห้ามมิให้ตัดแปลงเนื้อหา และต้องอ้างอิงถึงเจ้าของเอกสารทุกครั้งที่มีการนำไปใช้



รูปที่ 1.11 ลักษณะความสัมพันธ์ระหว่างแรงดันอินพุตกับกระแสไหล

รูปที่ 1.12 วงจรหลอดไตรโอดที่ใช้ในการหา ลักษณะสมบัติถ่ายทอด ( $v_G - i_p$ )



เส้นโหลดนี้ใช้สำหรับแรงดันไฟเลี้ยง 350 โวลต์ ไบแอสที่กริด

รูปที่ 1.13 ความสัมพันธ์ของเส้นสมการโหลด กับความต้านทานโหลด

เอกสารนี้เป็นเอกสารที่สงวนไว้สำหรับการใช้งานเพื่อการศึกษาเท่านั้น ไม่อนุญาตให้นำไปใช้ประโยชน์ด้านการค้า ไม่ว่าจะกรณีใดๆทั้งสิ้น อีกทั้งห้ามมิให้ดัดแปลงเนื้อหา และต้องอ้างอิงถึงเจ้าของเอกสารทุกครั้งที่มีการนำไปใช้



แต่ครั้นเมื่อลดแรงดันกริดลงแต่ยังคงแรงดันขั้วหลอดไว้ จะเกิดจากการไหลของกระแสในวงจร  
 เพลทค่าของกระแสจะเป็นสัดส่วนกับแรงดันกริดนั้น ซึ่งจะทำให้เกิดแรงดันคร่อมตัวต้านทาน  
 โหลด เมื่อพิจารณาวงจรทางด้านเพลทจะประกอบด้วยแรงดันสามส่วนที่ประกอบเป็นวงจรเพลท  
 และเขียนสมการของแรงดันตามกฎเคิชโฮฟ

$$V_{pp} = V_p + V_L$$

เมื่อ  $V_{pp}$  คือค่าแรงดันไฟตรงที่ป้อนให้กับวงจรเพลท

$V_p$  คือค่าแรงดันที่ตกคร่อมหลอด

$V_L$  คือค่าแรงดันไฟตกคร่อมโหลด

จะเห็นได้ว่าแรงดันกริดจะมีความสัมพันธ์กับกระแสเพลทและในทำนองเดียวกันก็ทำให้ความสัม  
 พันธ์กับแรงดันคร่อมเพลทด้วย

สมการกระแสเพลทที่สัมพันธ์กับค่าอื่นเป็น

$$i_p = k(e_c + e_p/\mu)^{3/2}$$

$$= k'(\mu e_c + e_p)^{3/2}$$

$e_p$  : ความต่างศักย์ของเพลทกับคาโทด

$e_c$  : ความต่างศักย์ของกริดกับคาโทด

$\mu$  : ค่าอัตราขยายของหลอด

(1)28837

เอกสารนี้เป็นเอกสารที่สงวนไว้สำหรับการใช้งานเพื่อการศึกษาเท่านั้น ไม่อนุญาตให้นำไปใช้ประโยชน์ด้านการค้า  
 ไม่ว่ากรณีใดๆทั้งสิ้น อีกทั้งห้ามมิให้ดัดแปลงเนื้อหา และต้องอ้างอิงถึงเจ้าของเอกสารทุกครั้งที่มีการนำไปใช้

## 1.2 คุณสมบัติของหลอด TRIODE

การทำงานของเบื้องต้นของหลอดไตรโอดได้กล่าวมาแล้ว ลักษณะคุณสมบัติของหลอดไตรโอดจึงขึ้นอยู่กับตัวนารามิเตอร์ เพียง 3 ตัว คือ แรงดันกริด แรงดันเพลท และกระแสเพลท และลักษณะคุณสมบัตินี้อธิบายได้ด้วยกราฟลักษณะสมบัติของหลอดไตรโอด

ในรูปของลักษณะคุณสมบัติของทางด้านกริดของไตรโอด เมื่อปรับแรงดันกริดให้มีการเปลี่ยนแปลงไปจะเป็นผลทำให้กระแสเพลทเปลี่ยนไป ดังอย่างเช่น เมื่อแรงดันที่กริดมีค่า  $-9$  โวลต์ จะมีกระแสไหลผ่านเพลท  $0.1$  มิลลิแอมป์โดยที่ป้อนแรงดันเพลท  $150$  โวลต์ แต่ถ้าเปลี่ยนค่าแรงดันไฟเลี้ยงเพลท  $V_{pp}$  เปลี่ยนไป ความสัมพันธ์ระหว่างแรงดันกริดกับกระแสเพลทจะเปลี่ยนไปและจะได้กราฟเส้นใหม่อีก ดังจะเห็นว่ากราฟลักษณะสมบัตินี้จึงเป็นกลุ่มของเส้นกราฟที่ขึ้นอยู่กับค่าของแรงดันเพลท ลักษณะสมบัตินี้จึงเป็นกลุ่มของเส้นแสดงความสัมพันธ์ระหว่างแรงดันกริดกับกระแสเพลท โดยบอกค่าแรงดันเพลทคงที่ ลักษณะสมบัตินี้จึงมีชื่อเรียกว่า ลักษณะสมบัติทางด้านกริด

ลักษณะสมบัตินี้ที่นับว่าสำคัญคือ ลักษณะสมบัติของกลุ่มเพลท (plate family) ซึ่งหาได้โดยการให้แรงดันไฟที่กริดมีค่าคงที่แล้วหาความสัมพันธ์ของแรงดันเพลท  $V_{pp}$  กับกระแสเพลท  $I_p$  ดังนั้นที่ค่าแรงดันกริดค่าหนึ่งจะให้กราฟหนึ่งเส้น แต่เมื่อเปลี่ยนค่าแรงดันกริดไป เส้นกราฟจะเปลี่ยนไป ดังนั้นกราฟลักษณะสมบัตินี้จึงแสดงในลักษณะกลุ่มของเส้นที่เรียกว่าลักษณะสมบัติทางด้านเพลท

อัตรากำลังงานสูงสุด

เมื่อมีกระแสเพลทไหลผ่านหลอด แรงดันตกคร่อมหลอดจะมีค่า ๆ หนึ่ง แรงดันและกระแสนี้จะ เป็นผลทำให้กำลังงานสูญเสียเกิดขึ้นที่หลอด และกำลังงานสูญเสียนี้จะแปรรูปออกมาในรูปของความร้อนที่นอกเหนือจากความร้อนที่เกิดจากการเผาไส้หลอด ดังนั้นหลอดทั่วไปจึงต้องทนกำลังสูญเสียได้มากที่สุดค่าใดค่าหนึ่ง และถ้ากำลังสูญเสียในหลอดมีมากกว่าค่าที่มันจะระ

เอกสารนี้เป็นเอกสารที่สงวนไว้ว่าหนังสือพิมพ์หรือการศึกษานานขึ้นก่อนจะเอาไปใช้โดยไม่ขออนุญาต  
บายออกในรูปของความร้อนหรือค่าที่จำกัดไว้แล้ว หลอดก็จะเกิดการเสียหายได้ ค่ากำลัง  
ไม่ว่ากรณีใดๆทั้งสิ้น อีกทั้งห้ามมิให้ตัดแปลงเนื้อหา และต้องอ้างอิงถึงเจ้าของเอกสารทุกครั้งที่มีการนำไปใช้

งานสูญเสียสูงสุดกำหนดด้วยตัวอักษรย่อว่า  $P_{max}$  และในขณะที่หลอดทำงานกำลังงานสูญเสียที่  
 เกิดขึ้นที่หลอดจะมีค่าเท่ากับผลคูณของแรงดันเพลทและกระแสเพลท  $(I_p V_p)$  ดังนั้นใน  
 การใช้งานค่ากำลังงานสูญเสียจะต้องน้อยกว่าค่ากำลังงานสูญเสียสูงสุดของหลอดคือสามารถกำ  
 หนดในรูป  $I_p V_p < P_{max}$

ค่าสัมประสิทธิ์ที่สำคัญของหลอด หลอดใช้งานอาจมีรูปร่างนอกแตกต่างกันได้มาก และ  
 สิ่งหนึ่งที่ผู้ผลิตจะกำหนดเป็นคุณสมบัตินอกเหนือจาก  $P_{max}$  แล้วยังมีสิ่งที่ผู้ผลิตกำหนดให้อีก  
 เช่น อัตราขยายของหลอด ความต้านทานเพลท และความนำร่วมของหลอด

อัตราขยายของหลอด  $\mu$  (Amplification)

หลอดที่มีคุณสมบัติในการขยายแรงดันของสัญญาณ ดังนั้น อัตราขยายของหลอด จึงเป็นค่า  
 อัตราส่วนระหว่างแรงดันเพลทกับแรงดันกริด ค่า  $\mu$  นี้มักจะเปลี่ยนแปลงไปตามกระแสเพลท  
 ดังนั้นในการกำหนดค่าอัตราที่แท้จริงของหลอดจึงจำเป็นต้องกำหนดค่ากระแสเพลทลงไปด้วย  
 และค่าของอัตราขยายซึ่งใช้อักษรย่อว่า  $\mu$  กำหนดเป็นสมการทางคณิตศาสตร์ได้

$$\mu = \frac{\text{การเปลี่ยนแปลงของแรงดันเพลท}}{\text{การเปลี่ยนแปลงของแรงดันกริด}}$$

$$\mu = \frac{\Delta V_p}{\Delta V_g} \text{ เมื่อ } I_p \text{ มีค่าคงที่}$$

อัตราขยายจึงเป็นค่าที่ไม่มีหน่วย เป็นค่าที่หาได้โดยตรงจากการทดลอง หรือหาได้  
 จากกราฟคุณสมบัติของหลอดไตรโอด

การวัดหาอัตราขยายของหลอดโดยตรง

จากรูปของของวงจรสำหรับหาอัตราขยายของวงจรหลอด เป็นวงจรที่ใช้หาค่าอัตรา  
 การขยายของหลอดไตรโอด โดยถ้าต้องการหาค่าอัตราขยายของหลอดเมื่อกำหนดค่ากระแส  
 แล  $I_p$  มีค่า 5 มิลลิแอมป์ และแรงดันเพลท  $V_p$  150 โวลต์ ณ จุดทำงานนี้วัดค่าแรงดัน  
 กริดได้  $V_g$  เท่ากับ -8 โวลต์ เราทำการเปลี่ยนแปลงค่าแรงดันกริดมา -5 โวลต์ ดังนั้น

เอกสารนี้เป็นเอกสารที่สงวนไว้สำหรับการใช้งานเพื่อการศึกษาเท่านั้น ไม่อนุญาตให้ไปใช้เพื่อวัตถุประสงค์อื่น  
 $\Delta V_p = 3$  โวลต์ ค่า  $\mu$  นี้เป็นผลทำให้กระแสเพลทเปลี่ยนแปลงไป เพื่อที่จะให้กระแส  
 ไม่ว่ากรณีใดๆทั้งสิ้น อีกทั้งห้ามมิให้คัดแปลงเนื้อหา และต้องอ้างอิงถึงเจ้าของเอกสารทุกครั้งที่มีการนำไปใช้

เพลทมีค่าคงที่ จึงจำเป็นจะต้องลดแรงดันลงมาจากกระทั่งแรงดันที่เพลทลดลงเหลือเพียง 120 โวลต์ นั่นคือ แรงดันเพลทเปลี่ยนแปลงไป 30 โวลต์ ค่าอัตราขยายของหลอดจึงหาได้จาก  $\Delta V_p / \Delta V_g = -30/3 = -10$  โดยที่ค่าอัตราขยายนี้จะไม่มีหน่วยและมีเครื่องหมายลบ นอกจากนี้ยังทำการหาค่าอัตราขยายหลอดได้อีกวิธีหนึ่งคือ การคำนวณหาค่าอัตราขยายจากกราฟลักษณะสมบัติของหลอด

สภาพความนำร่วม (mutual conductance)

ค่าสัมประสิทธิ์นี้ อธิบายได้ด้วยผลของการเปลี่ยนแปลงกระแสเพลทต่อการเปลี่ยนแปลงแรงดันกริด เมื่อกำหนดให้ค่าแรงดันเพลท  $V_p$  มีค่าคงที่ ตามสมการของ สภาพความนำร่วม  $\mu$  เขียนได้ดังนี้

$$\mu = \Delta I_p / \Delta V_g \quad \text{โดยค่าของ } V_p \text{ มีค่าคงที่}$$

เนื่องจากสภาพความนำร่วมหรือ  $\mu$  เป็นค่าอัตราส่วนระหว่างกระแสต่อแรงดัน ดังนั้นหน่วยของสภาพความนำจึงมีหน่วยเป็นส่วนกลับของความต้านทาน หรือ  $\text{ohm}^{-1}$  ค่าสภาพความนำร่วมนี้สามารถหาได้จากการวัดหรือการทดลองจากหลอดจริง ๆ เช่นเดียวกับอัตราขยายของหลอด นอกจากนี้ยังหาค่าสภาพนำร่วมได้จากกราฟลักษณะของหลอดไตรโอดได้เช่นเดียวกัน โดยการเขียนจุดสองจุดบนเส้นกราฟซึ่งพอประมาณได้ว่าเส้นต่อระหว่างสองจุดนั้นเป็นเส้นตรง จากจุดทั้งสองนี้ ลากมาอ่านค่าระยะบนแกนแรงดันและแกนกระแส อัตราส่วนระหว่างค่ากระแสและแรงดันที่วัดได้นี้จะเป็นค่าสภาพนำร่วม

ความต้านทานเพลท  $r_p$  (Plate resistance)

จากหัวข้อก่อน ๆ เกี่ยวกับการทำงานของหลอด เมื่อมีกระแสเพลทที่เป็นโฟลล์ไบโพลผ่านหลอดระหว่างขั้วคาโทดกับเพลท โดยกำหนดให้แรงดันกริดมีค่าคงที่ ความต้านทานที่เกิดขึ้นระหว่างขั้วเพลทกับคาโทดเรียกว่า ความต้านทานเพลท ( $r_p$ ) ความต้านทานนี้เป็นตัวทำให้เกิดกำลังสูญเสียในหลอด

เอกสารนี้เป็นเอกสารที่มอบไว้สำหรับใช้งานเพื่อการศึกษาเท่านั้น ไม่อนุญาตให้นำไปใช้ประโยชน์ด้านการค้า  
 สมการที่ใช้หาค่าความต้านทานเพลทคือ  $r_p = \Delta V_p / \Delta I_p$  เมื่อ  $V_g$  มีค่าคงที่  
 ไม่ว่าจะกรณีใดๆทั้งสิ้น อีกทั้งห้ามมิให้ดัดแปลงเนื้อหา และต้องอ้างอิงถึงเจ้าของเอกสารทุกครั้งที่มีการนำไปใช้

ค่าความต้านทานเพลทนี้มีค่าเป็นโอห์ม และสามารถคำนวณได้โดยตรงจากกราฟของหลอดเช่นเดียวกับตัวพารามิเตอร์อื่น ๆ ของหลอด

ความสัมพันธ์ระหว่างตัวพารามิเตอร์ต่าง ๆ ของหลอด

ตัวพารามิเตอร์ที่สำคัญของหลอดมีทั้งหมด 3 ตัวคือ  $\mu$ ,  $r_p$  และ  $g_m$  ซึ่งค่าทั้งสามขึ้นอยู่กับคุณสมบัติทางฟิสิกส์และโครงสร้างของหลอด จากสมการทางคณิตศาสตร์ของตัวพารามิเตอร์แต่ละตัว จะพบความสัมพันธ์ของตัวพารามิเตอร์ทั้งสามเป็นดังนี้

$$\mu = \Delta V_p / \Delta I_p * \Delta I_p / \Delta V_g$$

$$\mu = r_p * g_m$$

โดยหมายความว่าค่าใด ๆ ของแรงดันกริดและแรงดันเพลท ผลคูณของความต้านทานเพลทกับสภาพความนำร่วมจะมีค่าเป็นอัตราขยายของหลอด เมื่อจัดเทอมใหม่จะได้

$$r_p = \mu / g_m \text{ หรือ } g_m = \mu / r_p$$

ค่าพารามิเตอร์ทั้งสามค่านี้จะแปรเปลี่ยนตามค่ากระแสเพลท จากกราฟการเปลี่ยนแปลงของค่าตัวพารามิเตอร์กับกระแสเพลทจะเห็นได้ว่าค่าอัตราขยายของหลอดที่ค่ากระแสเพลทมีค่าต่ำ ๆ จะมีค่าน้อยและจะค่อย ๆ เพิ่มขึ้นเกือบมีค่าคงที่เมื่อค่ากระแสเพลทมากขึ้น ส่วนค่าความต้านทานจะมีค่าลดลงเมื่อกระแสเพลทมากขึ้น ซึ่งให้ผลตรงข้ามกับค่าของสภาพความนำไฟฟ้าร่วม

แรงดันคัทออฟของกริด

เมื่อให้แรงดันกริดมีค่าเป็นลบจนถึงค่า ๆ หนึ่งจะไม่มีกระแสเพลทไหล ค่าแรงดันนี้เรียกว่า แรงดันกริดคัทออฟ ค่าแรงดันนี้สามารถหาได้จากการทดลองโดยการเพิ่มแรงดันที่กริดขึ้นเรื่อย ๆ จนกระทั่งไม่มีกระแสเพลทไหล โดยให้แรงดันเพลทมีค่าคงที่มีตลอดการทดลอง ค่าของแรงดันกริดคัทออฟพอจะประมาณได้จากสูตร  $V_{c0} = V_p / \mu$

เมื่อ  $V_{c0}$  คือค่าแรงดันกริดคัทออฟ

เอกสารนี้เป็นเอกสารที่สงวนไว้สำหรับใช้งานเพื่อการศึกษาเท่านั้น ไม่อนุญาตให้นำไปใช้ประโยชน์ด้านธุรกิจ ไม่ว่ากรณีใดๆทั้งสิ้น อีกทั้งห้ามมิให้ดัดแปลงเนื้อหา และต้องอ้างอิงถึงเจ้าของเอกสารทุกครั้งที่มีการนำไปใช้

### 1.3 การไบอัสและการใช้งานของหลอด TRIODE

เมื่อแรงดันกริดเปลี่ยนแปลงจะทำให้กระแสเพลทเกิดการเปลี่ยนแปลงด้วย แต่การเปลี่ยนแปลงของแรงดันกริดที่มีผลเฉพาะแรงดันกริดมีค่าเป็นลบอยู่เพียงช่วงเดียวเท่านั้น เพราะถ้าในกรณีที่แรงดันกริดเป็นลบมาก ๆ ก็จะทำให้หลอดเกิดคัทออฟ คือ ไม่มีกระแสเพลทไหลหรือถ้ากริดมีค่าเป็นบวกเมื่อเทียบกับคาโทด ก็จะเป็นผลทำให้เกิดการไหลของกระแสผ่านจากคาโทดเข้าแทนที่กริดจะไปเพลท ซึ่งหลอดจะเกิดการเสียหายได้

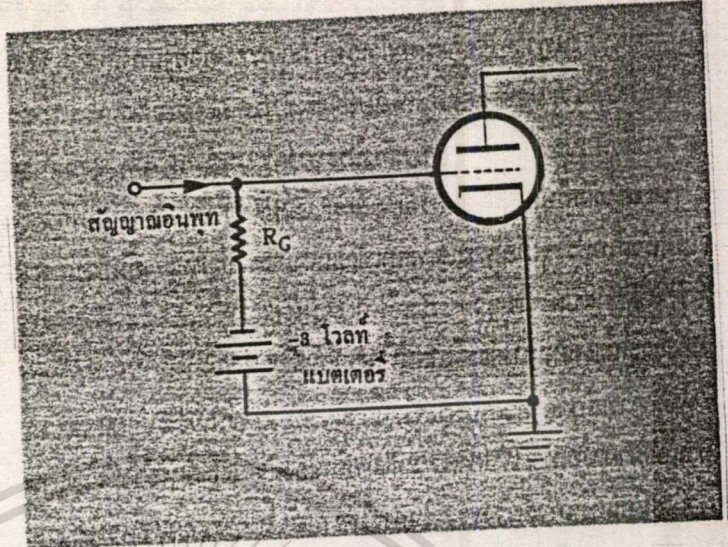
การไบอัสคือการทำให้แรงดันกริดในภาวะปกติมีศักดาไฟฟ้าซึ่งอาจจะเป็นบวก ศูนย์ หรือลบก็ได้ เพื่อเตรียมตัวไว้รับสัญญาณ ถ้าในกรณีที่ให้กริดมีค่าเป็นบวกก็เรียกว่าการไบอัสบวกหรือถ้ากริดมีค่าเป็นลบก็เรียกว่าการไบอัสลบ โดยปกติจะไบอัสกริดด้วยศักดาลบเท่านั้น

จากลักษณะสมบัติถ่ายทอดทางไดนามิก สามารถเขียนกราฟแสดงความสัมพันธ์ของกระแสเพลทและแรงดันกริด ซึ่งจะเห็นถึงการเปลี่ยนแปลงแรงดันอินพุตที่กริดระหว่างศูนย์ถึงแรงดันกริดคัทออฟจะเป็นผลทำให้สัญญาณเอาท์พุทเปลี่ยนแปลงตาม เนื่องจากกระแสเพลทเกิดการเปลี่ยนแปลง ถ้าแรงดันอินพุทเป็นสัญญาณ sine และในขณะที่ไม่มีสัญญาณ แรงดันกริดมีค่าเป็นศูนย์ ดังนั้นแรงดันอินพุตที่กริดจึงเปลี่ยนแปลงระหว่างบวกกับลบ ในขณะที่กริดเป็นลบจะมีกระแสเพลทไหลและในขณะที่กริดเป็นบวกจะไม่มีกระแสเพลทไหล เนื่องจากกระแสจะไหลเข้ากริดหมดเพราะศักดาที่กริดเป็นบวก จึงเห็นได้ชัดว่ากระแสเพลทมิได้เปลี่ยนแปลงไปกับสัญญาณไฟอินพุทในขณะที่แรงดันไฟกริดเป็นบวกเลย

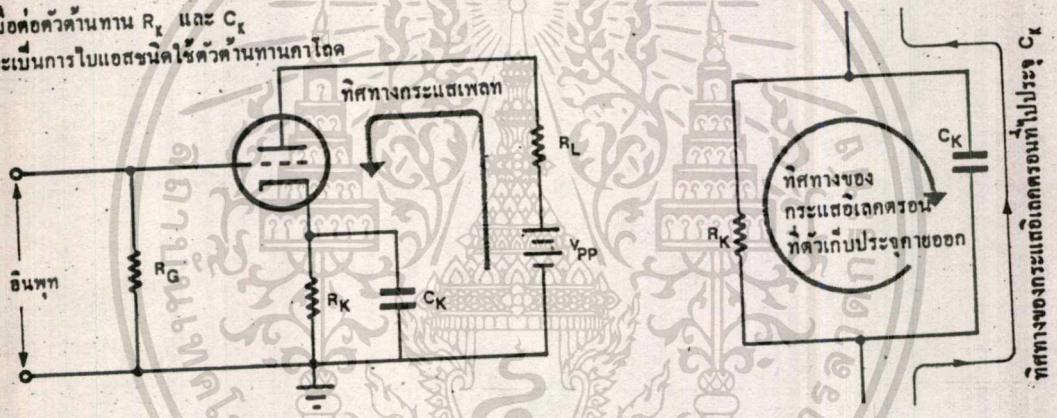
แต่ถ้าทำให้กริดมีศักดาเป็นลบสมมติว่า  $-5$  โวลต์ในขณะที่ไม่มีสัญญาณ ครั้นเมื่อมีสัญญาณ  $2$  โวลต์จากจุดต่ำสุดถึงจุดสูงสุดป้อนเข้ามาที่กริด แรงดันกริดจะเกิดการเปลี่ยนแปลง แต่จะเห็นได้ว่าในขณะที่สัญญาณอยู่สูงสุด แรงดันกริดจะมีค่า  $-4$  กับ  $-6$  โวลต์ ดังนั้นจากกราฟลักษณะสมบัติถ่ายทอดทางไดนามิกก็จะทำให้กระแสเพลทเปลี่ยนแปลงตามได้ตลอดเวลา สัญญาณเอาท์พุทคร่อมไหลจึงมีรูปร่างแบบเดียวกับสัญญาณอินพุท จึงพอสรุปได้ว่าการไบอัสก็คือ การทำ

แรงดันกริดให้มีค่าหนึ่งเพื่อนำไปรวมกับสัญญาณอินพุตที่จะเข้ามาแล้วให้หลอดทำงานได้ตามที่ต้องการ เอกสารนี้เป็นเอกสารที่สงวนไว้สำหรับการใช้งานเพื่อการศึกษาเท่านั้น ไม่อนุญาตให้นำไปใช้ประโยชน์ด้านการค้าไม่ว่ากรณีใดๆทั้งสิ้น อีกทั้งห้ามมิให้ดัดแปลงเนื้อหา และต้องอ้างอิงถึงเจ้าของเอกสารทุกครั้งที่มีการนำไปใช้

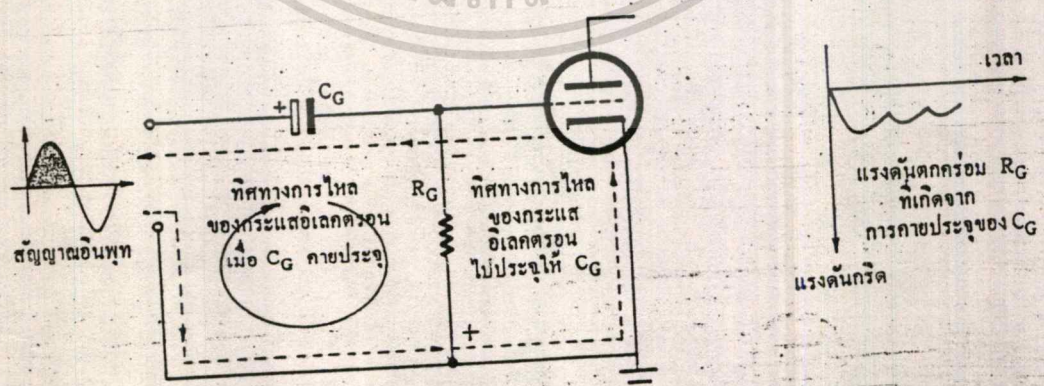
รูปที่ 1.14 การไบอัสวงจรหลอด



เมื่อค่านำต้านทาน  $R_k$  และ  $C_k$  จะเป็นการไบอัสชนิดใช้ตัวต้านทานคาโอด

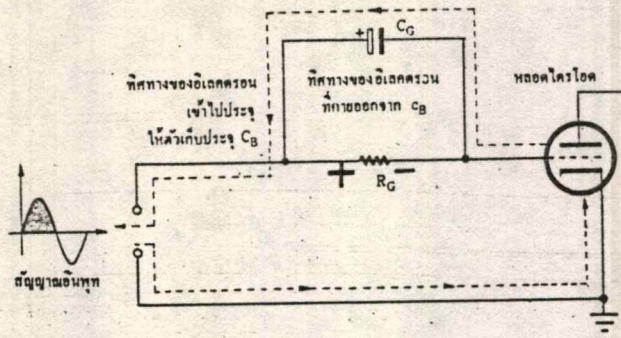


รูปที่ 1.15 การไบอัสโดยใช้ตัวต้านทานคาโอด

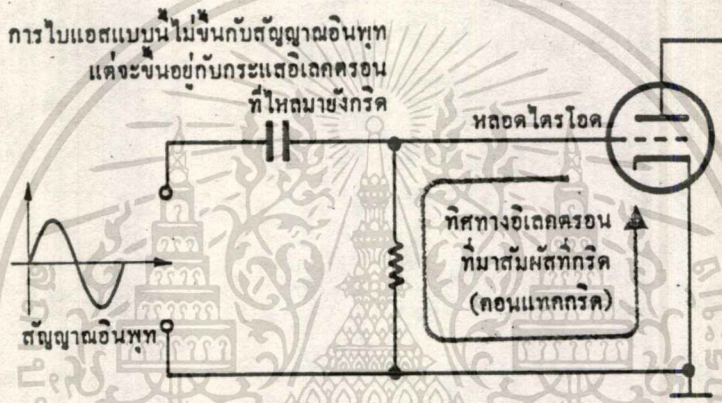


รูปที่ 1.16 การไบอัสด้วยการใช้กระแสรั่วที่กริด

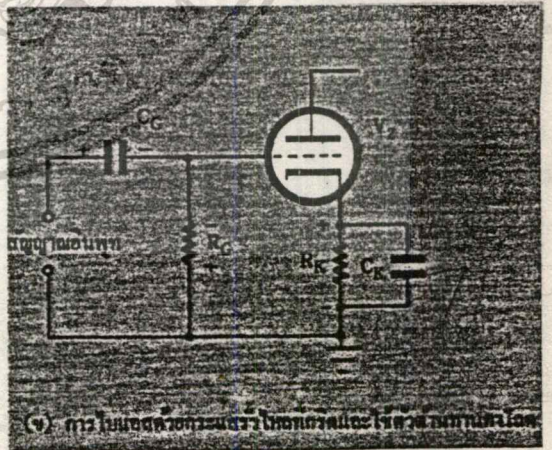
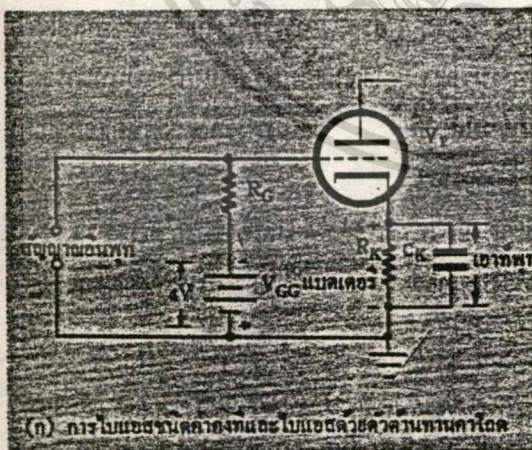
เอกสารนี้เป็นเอกสารที่สงวนไว้สำหรับการศึกษาเท่านั้น ไม่อนุญาตให้นำไปใช้ประโยชน์ด้านการค้า  
ไม่ว่ากรณีใดๆทั้งสิ้น อีกทั้งห้ามมิให้ดัดแปลงเนื้อหา และต้องอ้างอิงถึงเจ้าของเอกสารทุกครั้งที่มีการนำไปใช้



รูปที่ 1.17 การไม้อัดด้วยกระแสรั่วไหลที่กริดอีกวิธีหนึ่ง



รูปที่ 1.18 การไม้อัดด้วยตัวต้านทาน



รูปที่ 1.19 การไม้อัดโดยวิธีผสม

เอกสารนี้เป็นเอกสารที่สงวนไว้สำหรับการใช้งานเพื่อการศึกษาเท่านั้น ไม่อนุญาตให้นำไปใช้ประโยชน์ด้านการค้า  
ไม่ว่ากรณีใดๆทั้งสิ้น อีกทั้งห้ามมิให้ดัดแปลงเนื้อหา และต้องอ้างอิงถึงเจ้าของเอกสารทุกครั้งที่มีการนำไปใช้

สัญลักษณ์ที่ใช้ในวงจรหลอด

สัญลักษณ์ที่ใช้ในวงจรแสดงถึงความหมายของสัญลักษณ์ และชนิดของสัญญาณ เช่น สัญลักษณ์จะบอกความหมายของกระแสไฟเฟลทที่เป็นชนิดไฟตรงที่ไม่มีไฟสลับ โดยทั่วไปอักษรตัวใหญ่จะแทนด้วยคุณสมบัติทางไฟตรง ส่วนสัญลักษณ์ตัวเล็กแทนสัญญาณที่เปลี่ยนแปลงตามเวลา ลักษณะของตัวอักษรที่ใช้มี

$V_{FF}$  แรงดันไฟตรงที่ป้อนให้วงจรเฟลท

$V_p$  แรงดันไฟตรงที่เฟลท

$v_p$  แรงดันไฟสลับที่เฟลท

$V_{cc}$  แรงดันไฟตรงที่กริด

$V_{cc}$  แรงดันไฟตรงที่ป้อนให้กับวงจรกริด

$v_{cc}$  แรงดันไฟสลับที่กริด

$I_p$  กระแสไฟตรงที่เฟลท

$I_{cc}$  กระแสไฟตรงที่กริด

$i_p$  กระแสไฟสลับที่เฟลท

$R_x$  ความต้านทานที่ต่อที่ขาคาโทด

$R_p$  ความต้านทานทางไฟตรงของเฟลท

$r_p$  ความต้านทานทางไฟสลับที่เฟลท

เส้นโหลด (Load line) และจุดทำงาน (Operating point)

ถึงแม้ว่าลักษณะสมบัติทางสถิติของหลอดไตรโอดจะให้ข้อมูลที่สำคัญต่าง ๆ ของหลอด แต่กลุ่มของกราฟก็มิได้บอกถึงผลของการใส่โหลด ( $R_L$ ) ให้กับวงจร หรือแสดงให้เห็นถึงความสัมพันธ์ก่อน การเพิ่มความต้านทานทางโหลดเข้าไปยังวงจรมิได้เป็นผลทำให้ลักษณะคุณสมบัติของหลอดเปลี่ยนไป แต่เป็นผลทำให้เงื่อนไขการทำงานของวงจรเปลี่ยนไป ดังตัวอย่างเช่น ในขณะที่ไม่ว่าจะมีความต้านทานโหลดหรือไม่ก็ตาม ถ้าแรงดันกริด ( $V_g$ ) มีค่า -4

เอกสารนี้เป็นเอกสารที่สงวนไว้สำหรับการใช้งานเพื่อการศึกษาเท่านั้น ไม่อนุญาติให้นำไปใช้ประโยชน์ด้านการค้า  
โวลท์ จะมีแรงดันเฟลท-คาโทด ( $V_{FF}$ ) 150 โวลท์ ดังนั้นถ้ามีโหลด  $R_L$  ในวงจร ไม่ว่าจะกรณีใดๆทั้งสิ้น อีกทั้งห้ามมิให้ดัดแปลงเนื้อหา และต้องอ้างอิงถึงเจ้าของเอกสารทุกครั้งที่มีการนำไปใช้

แรงดันไฟตรงที่ป้อนให้วงจรเพลาท  $V_{PP}$  จะต้องมีค่ามากกว่า 150 โวลต์เพื่อให้แรงดันส่วนหนึ่ง ตกคร่อม  $R_L$  และที่เหลืออีก 150 โวลต์ตกคร่อมหลอด จากกฎของเคียชโฮฟ เมื่อเขียนสมการด้านเพลาทจะเขียนได้ดังนี้

$$V_p + I_p R_L = V_{PP}$$

$$\text{หรือ} \quad I_p = V_{PP}/R_L - V_p/R_L$$

จะเห็นได้ว่าความสัมพันธ์ระหว่างกระแสกับแรงดันเพลาทจะสัมพันธ์กันในรูปของสมการ

เส้นตรง เส้นโหลดเส้นหนึ่งจะเป็นเส้นตรงและเส้นโหลดนี้จะเปลี่ยนแปลงไปตามค่าตัวต้านทานโหลดหรือเปลี่ยนค่าแรงดัน เส้นโหลดนี้จะเป็นตัวบอกค่าความสัมพันธ์กับแรงดันกริด เช่น สมมติว่าแรงดันกริดมีค่า  $-4$  โวลต์และให้  $R_L$  35 kโอห์ม เส้นโหลดจะตัดกับเส้นกราฟ  $V_g = -4$  โวลต์ ที่  $i_b$  6 มิลลิแอมป์ และแรงดัน  $v_p$  140 โวลต์ จะเห็นได้ว่าไม่ว่าแรงดันจะเปลี่ยนแปลงไปอย่างไรก็ตาม จุดทำงานของหลอด (จุดที่บอกแรงดันเพลาทและกระแสเพลาท) จะเคลื่อนที่ไปบนเส้นตรงเส้นนี้เสมอ เส้นสมการโหลดจึงมีประโยชน์ในการนำไปหา ลักษณะสมบัติถ่ายทอดทางไดนามิกส์

## 1.4 วิธีการไบอัสหลอด TRIODE

การไบอัสชนิดค่าคงที่ (Fixed bias)

ในวงจรไตรโอดการไบอัสทำได้โดยการเติมตัวเบตเตอร์  $V_g$  เข้าระหว่างขั้วกริดและคาโอด โดยการต่อไบอัสเช่นนี้เรียกว่า การไบอัสชนิดค่าคงที่ (Fixed Bias) นอกจากเบตเตอร์หรือถ่านไฟฉายยังใช้แหล่งจ่ายไฟอื่น ๆ ก็ได้

การต่อต้านทาน  $R_g$  อนุกรมกับแรงดัน  $V_g$  เพื่อป้องกันสัญญาณอินพุตให้ลงกราวนด์ โดยผ่านเบตเตอร์ ดังนั้นความต้านทาน  $R_g$  จึงต้องมีค่าสูงมาก ถึงแม้ว่าจะต่อตัวต้านทานเข้ากับวงจรกริดแล้วก็ตาม แรงดันกริดก็จะยังคงมีค่าเท่ากับ  $V_g$  ทั้งนี้เพราะระหว่างขั้วกริดกับคาโอดเป็นเสมือนวงจรเปิด การเลือกค่าแรงดันกริดให้มีค่าเป็นลบมากน้อยเท่าใด จึงขึ้นอยู่กับตัวเบตเตอร์หรือแหล่งจ่ายที่ต่อเข้าไปยังวงจร

การไบอัสโดยใช้ตัวต้านทานคาโอด (Cathode bias)

การไบอัสโดยใช้ตัวต้านทานคาโอดเป็นการนำเอาแรงดันที่มีอยู่ในวงจรมาทำการไบอัสตัวมันเอง ดังนั้นจึงมีชื่อเรียกอีกอย่างหนึ่งว่า การไบอัสด้วยตัวเอง (Self bias) วิธีการไบอัสทำได้โดยการต่อตัวต้านทานระหว่างคาโอดกับขากราวนด์ หรือขาไฟลบของเบตเตอร์ในวงจรเพลท ในขณะที่ไม่มีสัญญาณเข้า กระแสเพลทไหลผ่านวงจรเพลทจะเกิดแรงดันตกคร่อมในทิศทางตามรูป ซึ่งแรงดันที่คาโอดจะมีค่าเป็นบวกเมื่อเทียบกับกราน์ ดังนั้นจึงทำให้กริดมีค่าเป็นลบเมื่อเทียบกับคาโอด ค่าของแรงดันไบอัสที่กริดจึงขึ้นอยู่กับกระแสในวงจรเพลทและค่าตัวต้านทาน  $R_k$

ค่าแรงดันที่กริดไบอัสเมื่อเทียบกับคาโอดแล้วจะเปลี่ยนแปลงกับกระแสเพลทด้วย วิธีการหลีกเลี่ยงการเปลี่ยนแปลงนี้ทำได้โดยการต่อตัวเก็บประจุคร่อมตัวต้านทาน  $R_k$  จุดมุ่งหมายของการต่อตัวเก็บประจุคร่อมตัว  $R_k$  ก็เพื่อว่าเมื่อเวลาสัญญาณอินพุต้อนเข้าที่กริด กระแสเพลทจะเกิดการเปลี่ยนแปลง แต่ส่วนของกระแสที่เป็นการเปลี่ยนแปลงจะไหลผ่านตัวเก็บประจุ

เอกสารนี้เป็นเอกสารที่สงวนไว้สำหรับครูใช้งานเพื่อการศึกษาเท่านั้น ไม่อนุญาตให้นำไปใช้ประโยชน์ด้านการค้า จุลกราวนด์ การไหลผ่านตัวเก็บประจุจะอยู่ในรูปของการรับประจุและคายประจุของตัวเก็บประจุไม่ว่ากรณีใดๆทั้งสิ้น อีกทั้งห้ามมิให้คัดแปลงเนื้อหา และต้องอ้างอิงถึงเจ้าของเอกสารทุกครั้งที่มีการนำไปใช้

จู่เอง และจะเป็นผลทำให้ค่าแรงดันไฟตรงที่คร่อมตัวต้านทาน  $R_x$  มีค่าคงที่ ในกรณีที่ไม่มีความถี่ ตัวเก็บประจุเมื่อกระแสไหลเปลี่ยนแปลงจะทำให้แรงดันคร่อม  $R_x$  เปลี่ยนด้วยเป็นผลทำให้แรงดันไบอัสที่กริดเปลี่ยนแปลงตามด้วย ตัวเก็บประจุนี้เรียกว่าตัวเก็บประจุทางผ่าน (Bypass capacitor) เพราะมันเป็นทางผ่านของกระแสไหลที่เปลี่ยนแปลง เนื่องจากมีสัญญาณอินพุต การเลือกค่าตัวเก็บประจุทางผ่านจะต้องเลือกให้ค่ารีแอคแตนซ์ของตัวเก็บประจุที่ความถี่ของสัญญาณอินพุตมีค่าน้อยมากเมื่อเทียบกับค่าความต้านทานของตัว  $R_x$  เพื่อว่าที่สัญญาณความถี่อินพุตเป็นผลทำให้ตัวเก็บประจุทางผ่านเสมือนเป็นตัวลัดวงจร ในการใช้งานทั่วไปค่ารีแอคแตนซ์ควรจะมีค่าน้อยกว่าตัวต้านทาน 10 เท่า

### การไบอัสด้วยการใช้กระแสรั่วไหลที่กริด (Grid leak bias)

วิธีการไบอัสอีกแบบหนึ่งโดยการใช้กระแสรั่วไหลที่เกิดขึ้นที่กริดโดยไม่ต้องอาศัยแบตเตอรี่ภายนอก กระแสรั่วไหลที่เกิดขึ้นที่กริดจะเกิดขึ้นเมื่อมีสัญญาณอินพุตเข้ามา เนื่องจากมีอิเล็กตรอนบางตัวมาวิ่งชนกริด และในขณะที่ไม่มีสัญญาณอินพุตแรงดันไบอัสที่กริดจะมีค่าเป็นศูนย์ เมื่อมีสัญญาณอินพุตป้อนเข้าที่กริดสัญญาณจะป้อนผ่านตัวเก็บประจุ  $C_x$  แรงดันสัญญาณรูป sine ที่มาจากอินพุตจะคร่อมตัวต้านทาน  $R_g$  แล้วจะเป็นผลทำให้แรงดันกริดบางช่วงมีค่าเป็นบวกและลบเมื่อเทียบกับคาโอด

ในขณะที่กริดมีค่าเป็นบวก จะมีกระแสกริดเกิดขึ้นกระแสส่วนนี้จะเป็นตัวไปประจุให้กับ  $C_x$  ตามวงจรทางเดินของอิเล็กตรอน ซึ่งมีทิศทางตรงข้ามกับลูกศรดังรูป จะเริ่มต้นที่กริดผ่านตัวเก็บประจุ  $C_x$  ผ่านต้นกำเนิดสัญญาณอินพุตแล้วกลับมาที่คาโอด เป็นผลทำให้กริดประจุตัวเก็บประจุจนมีค่าแรงดันสูงสุดของสัญญาณอินพุตซึ่งมีขั้วในลักษณะให้กริดมีค่าเป็นลบ

เมื่อสัญญาณอินพุตทำให้กริดเป็นลบ เมื่อเทียบกับคาโอดการไหลของกระแสกริดจะสิ้นสุดลง ตัวเก็บประจุจะทำการคายประจุผ่านตัวต้านทาน  $R_g$  แต่ค่าของตัวต้านทาน  $R_g$  มีค่าสูงมาก ดังนั้นค่าคงตัวของเวลาการคายประจุจึงมีค่าเข้ามา เป็นค่าผลคูณของ  $R_g C_x$

เป็นผลทำให้แรงดันกริดเป็นลบไม่เปลี่ยนแปลงมากนักตลอดเวลาที่สัญญาณอินพุตเป็นลบ

เอกสารนี้เป็นเอกสารที่สงวนไว้สำหรับการใช้งานเพื่อการศึกษาเท่านั้น ไม่อนุญาตให้นำไปใช้ประโยชน์ด้านการค้า การไบอัสกริดจึงเกิดขึ้นด้วยค่าแรงดันที่คร่อมตัวต้านทาน  $R_g$  ซึ่งเมื่อตัวเก็บประจุ  $C_x$  ไม่ว่างกริดได้ทั้งสัปดาห์ทั้งที่ไม่มีเหตุเปลี่ยนแปลงเนื้อหา และต้องอ้างอิงเจ้าของเอกสารทุกที่ทั้งที่มาไปใช้

คาส์ประจุผ่าน  $R_g$  ก็จะมีเหมือนมีกระแสไหลและจะทำให้แรงดันตกคร่อม  $R_g$  ยังคงมีทิศทางทำให้กริดเป็นลบอยู่ นั่นเอง ดังนั้นสัญญาณอินพุตเมื่อมาถึงที่กริดจริง ๆ จะถูกขยาระดับลงมาทางด้านลบหมด

การไบอัสรั่วไหลที่กริดยังสามารถนำเอา  $R_g$  และ  $C_g$  นำมาชานกันที่ขากกริด โดยการไบอัสแบบนี้จะขึ้นอยู่กับกริดของกระแสกริด ซึ่งการวางตำแหน่งของ  $R_g$  และ  $C_g$  ที่แตกต่างกันไปโดยชานกัน ในขณะที่มีสัญญาณอินพุตทำให้กริดเป็นบวกจะเป็นผลทำให้กระแสกริดประจุให้กับตัวเก็บประจุ  $C_g$  จนมีค่าสูงสุดของแรงดันอินพุต ทิศทางของแรงดันคร่อมตัวเก็บประจุจะเป็นในทางที่จะทำให้กริดเป็นลบ เมื่อค่าของสัญญาณกริดมีค่าเป็นลบ  $C_g$  จะทำหน้าที่คาส์ประจุผ่านตัวต้านทาน  $R_g$  และค่าตัวต้านทาน  $R_g$  มีค่ามาก ดังนั้นในแต่ละครึ่งไซเคิล  $C_g$  จะคาส์ประจุออกมาได้เพียงนิดเดียว และแรงดันของกระแสที่คาส์ผ่าน  $R_g$  ก็ยังคงมีใจทิศทางทำให้กริดเป็นลบเหมือนเดิม

วงจรขยายหลอด

วงจรขยายโดยใช้หลอดที่เป็นพื้นฐาน คือ วงจรคาโอดคร่อม เพราะใช้คาโอดเป็นจุดร่วมของกริดและเพลท (คิดเฉพาะไฟสลับ) สัญญาณอินพุตจะป้อนเข้ามาที่กริดและจุดร่วม สัญญาณเอาท์พุทที่ขยาสถูกนำออกที่เพลทกับจุดร่วมของหลอด ค่าต่าง ๆ ของตัวอุปกรณ์ที่ใช้ในวงจรคำนวณได้จากการลากเส้นสมการไหลคบนกราฟลักษณะสมบัติของหลอด

ในระหว่างครึ่งบวกของสัญญาณอินพุต แรงดันกริดจะมีค่าเป็นลบ แต่มีค่ามากกว่าแรงดันไบอัส กระแสเพลทจะไหลมากขึ้นผ่านตัวต้านทาน  $R_p$  และแรงดันคร่อมตัวต้านทานนี้คือแรงดันเอาท์พุท อัตราการขยายของวงจรขยายสามารถคำนวณได้จาก อัตราส่วนของการเปลี่ยนแปลงของสัญญาณเอาท์พุทกับสัญญาณอินพุท ซึ่งเขียนเป็นสมการได้ดังนี้

$$\begin{aligned} \text{อัตราการขยายของวงจร} &= \frac{\text{แรงดันที่เปลี่ยนแปลงที่เอาท์พุท}}{\text{แรงดันที่เปลี่ยนที่อินพุท}} \\ &= \frac{\Delta V_{out}}{\Delta V_{in}} \end{aligned}$$

จะสังเกตเห็นว่า ทางด้านวงจรอินพุทโดยทั่วไปแล้ว ค่าของแรงดันที่ป้อนเข้าโดย

สัญญาณจากภายนอกกับแรงดันอินพุทที่ขากกริดของหลอดจะมีค่าใกล้เคียงกันมาก ซึ่งโดยธรรมชาติ

เอกสารนี้เป็นเอกสารที่สงวนไว้สำหรับการใช้งานเพื่อการศึกษาเท่านั้น ไม่อนุญาตให้นำไปใช้ประโยชน์อื่น ๆ  
แล้วค่าทั้งสองจะแตกต่างกันเท่ากับค่าแรงดันที่ตกคร่อมตัวเก็บประจุและถือว่าแรงดันนี้มีค่าน้อย  
ไม่ว่ากรณีใดๆทั้งสิ้น อีกทั้งห้ามมิให้คัดแปลงเนื้อหา และต้องอ้างอิงถึงเจ้าของเอกสารทุกครั้งที่มีการนำไปใช้

มาก (ที่ความถี่สูง) และแรงดันนี้จะมีค่ามากขึ้นที่ความถี่ต่ำลง ดังนั้นอัตราขยายของวงจรจึงไม่เท่ากันทุกความถี่ ในการที่จะออกแบบให้อัตราขยายเท่าใดอาจทราบได้โดยการเขียนกราฟจากลักษณะสมบัติของหลอดไตรโอด แต่ก่อนอื่นจะต้องรู้สมการเส้นโหลด และจุดทำงานของวงจรเสียก่อน

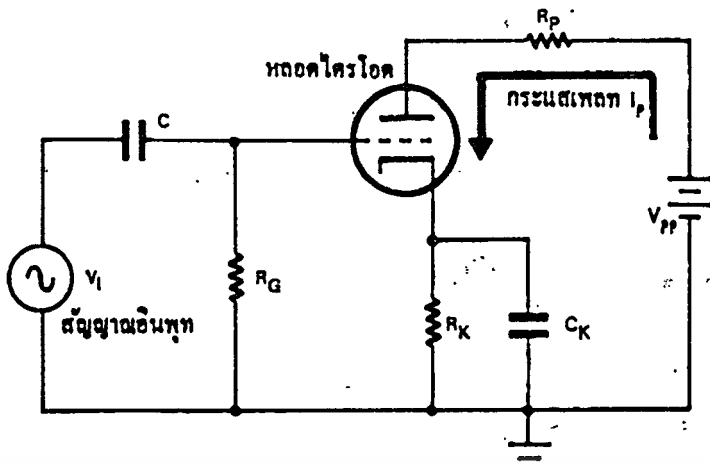
เส้นสมการโหลดหาได้จากการเขียนสมการทางวงจรเพลาทโดยใช้กฎของวงจรไฟฟ้าเบื้องต้น โดยให้กระแสไหลในวงจรจากเพลาทไปยังคาโทด แต่เนื่องจากคิดว่ากระแสส่วนนี้เป็นกระแสตรงจึงไม่ผ่านตัวเก็บประจุ สมการของโหลดทางด้านสแตติกเขียนได้ดังนี้

$$V_p + I_p R_L + I_p R_k = V_{pp}$$

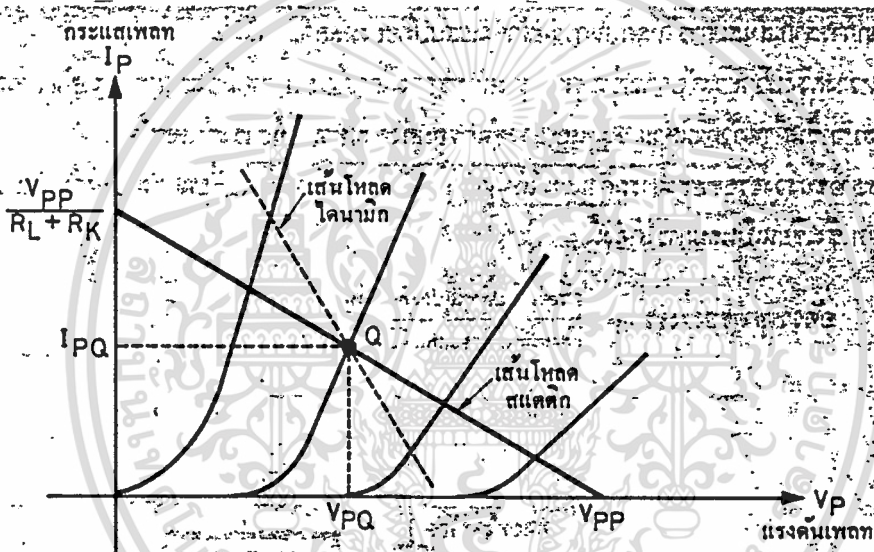
$$\text{หรือ } V_p = -I_p (R_k + R_L) + V_{pp}$$

การคับปลิงหรือการเชื่อมต่อ (Coupling)

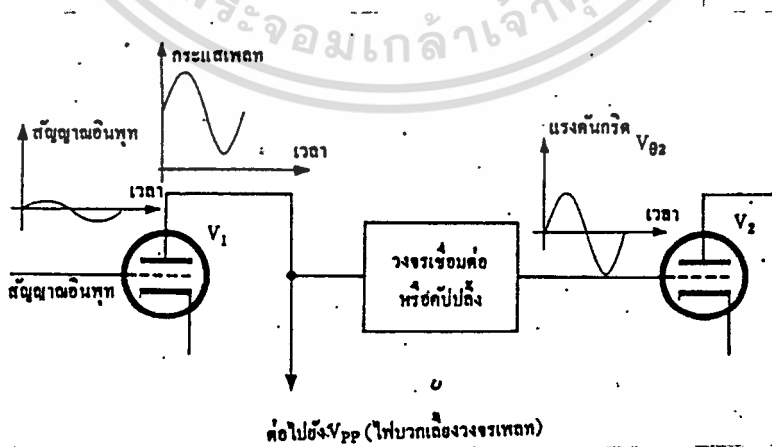
วงจรหลอดสูญญากาศที่ประกอบอยู่ในเครื่องมือเครื่องใช้อิเล็กทรอนิกส์ทั่วไปประกอบด้วยหลอดสูญญากาศเป็นจำนวนมาก หลอดทุก ๆ หลอดจะรับสัญญาณที่เข้ามาที่อินพุทของวงจรภาคนั้น แล้วทำการจัดสัญญาณของสัญญาณอิเล็กทรอนิกส์ซึ่งขึ้นอยู่กับ หน้าที่ของหลอดแต่ละหลอด เช่น ขยายสัญญาณ คัดรูปคลื่นสัญญาณ แล้วจึงส่งสัญญาณไปยังหลอดอื่น ๆ เพื่อทำหน้าที่ต่อไป ส่วนของวงจรหรืออุปกรณ์ที่ทำหน้าที่เป็นตัวกลางป้อนสัญญาณให้อินพุทของหลอดสูญญากาศหรือเป็นตัวรับสัญญาณจากเอาต์พุทของหลอด ๆ หนึ่งป้อนให้อินพุทของอีกหลอดหนึ่งเรียกว่า วงจรคับปลิงหรือวงจรเชื่อมต่อ



รูปที่ 1.20 วงจรขยายทรานซิสเตอร์เบื้องต้น



รูปที่ 1.21 เส้นสมการโหลดทางไดนามิกและสถิต



รูปที่ 1.22 การส่งผ่านสัญญาณจากเอาต์พุตวงจรหนึ่งไปยังอีกวงจร

เอกสารนี้เป็นเอกสารที่สงวนไว้สำหรับการใช้งานเพื่อการศึกษาเท่านั้น ไม่อนุญาตให้นำไปใช้ประโยชน์ด้านการค้า  
ไม่ว่ากรณีใดๆทั้งสิ้น อีกทั้งห้ามมิให้ดัดแปลงเนื้อหา และต้องอ้างอิงถึงเจ้าของเอกสารทุกครั้งที่มีการนำไปใช้

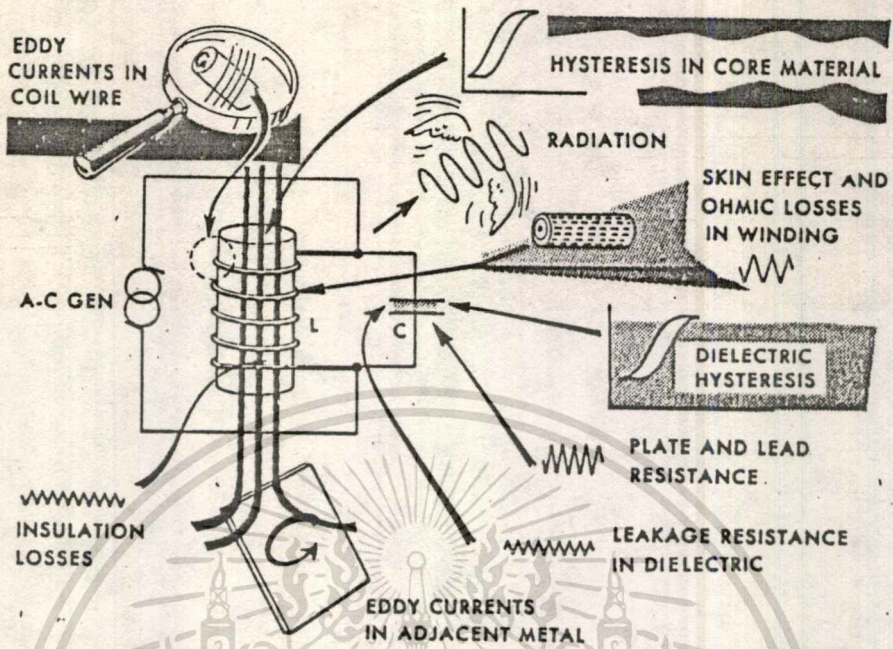
## 1.5 Tank Circuit

ลักษณะโดยทั่วไปของวงจรนี้ประกอบด้วย  $L$  และ  $C$  โดยจะทำการต่อแบบใดก็ได้แต่ในที่นี้จะพูดถึงเฉพาะวงจรแบบ Parallel Tuned L-C circuit โดยการจัดให้ค่าของอินดักเตอร์และคาปาซิเตอร์ให้ขนานกันเราเรียกว่า Tank ในกรณีที่ง่ายที่สุดในการสร้างก็คือตัวอินดักเตอร์และคาปาซิเตอร์อย่างละตัว แต่ในกรณีที่ทั่วไปมักจะมียุคของการสูญเสียเกิดขึ้นด้วย ซึ่งถ้าเกิดค่าการสูญเสียขึ้นในวงจรใดก็ตามก็แสดงว่ามีค่าของความต้านทานอยู่ในวงจรนั้นด้วย

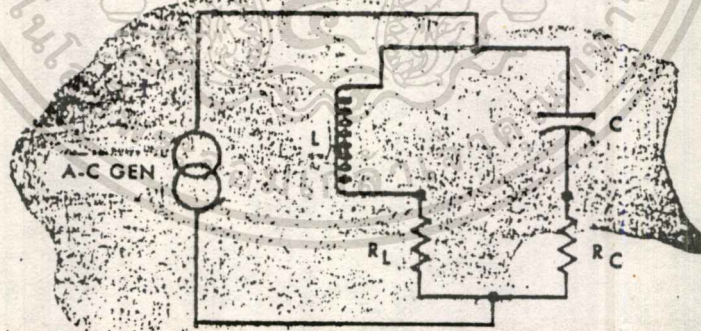
ค่าความสูญเสียในวงจร Tank

ค่าความสูญเสียจะเกิดได้ในหลายกรณีแตกต่างกันไป ถ้าให้ค่าของความถี่สูงขึ้นก็จะทำให้ค่าของ radiation loss มีค่ามากตามไปด้วย ในกรณีของ hysteresis จะเกิดขึ้นก็ต่อเมื่อได้ใช้แกนเป็นสาร Ferro-magnetic ค่าของการสูญเสียที่เกิดจากกระแส eddy เกิดตามพื้นที่หน้าตัดของเส้นลวดเอง การเกิด skin effect เป็นปรากฏการณ์ของการไหลของกระแส AC ซึ่งจะเกิดกระแสไหลมากบริเวณผิวของตัวนำ ซึ่งเกิดเนื่องจากบริเวณกลางพื้นที่ตัวนำมีเส้นแรงแม่เหล็กมากกว่าพื้นที่ใกล้ผิวตัวนำ ถ้ายังมีเส้นแรงแม่เหล็กรอบตัวนำมาก ค่าของอินดักแตนซ์ของตัวนำก็จะมากตาม บริเวณกลางของลวดตัวนำจะมีกระแส AC ไหลจะทำให้เกิดค่ารีแอกแตนซ์ที่สูงต่อการไหลของกระแส ถ้าความถี่สูงมากผลของ skin effect ก็จะมีมากตามคือกระแสหนาแน่นมากบริเวณผิว ทำให้ลดพื้นที่หน้าตัดของตัวนำไป เนื่องจากผล skin effect ทำให้เกิดความต้านทานมากกว่าในขณะใช้งานของไฟกระแสตรง การแก้สามารถทำได้โดยการใช้สายกลวง

ผลของ hysteresis ของฉนวนในวัสดุฉนวน เกิดเนื่องจากการที่โมเลกุลถูก polarized เมื่อถูกกระตุ้นให้เกิดการกลับทิศภายใต้สนามไฟฟ้าที่เป็น AC ซึ่งจะเกิดการสูญเสียผลของการสูญเสียในคาปาซิเตอร์ก็มีเล็กน้อย เช่น ความต้านทานของเพลทและลวด, ความต้านทานที่เกิดจากกระแสรั่วของสารฉนวนในคาปาซิเตอร์



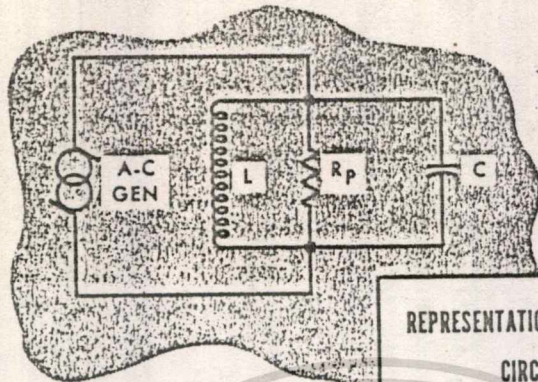
รูปที่ 1.23 ความสูญเสียที่เกิดภายในวงจรแทงค์



REPRESENTATION OF LOSSES IN L-C TANK  
CIRCUIT BY MEANS OF SERIES RESISTANCES  $R_L$  AND  $R_C$

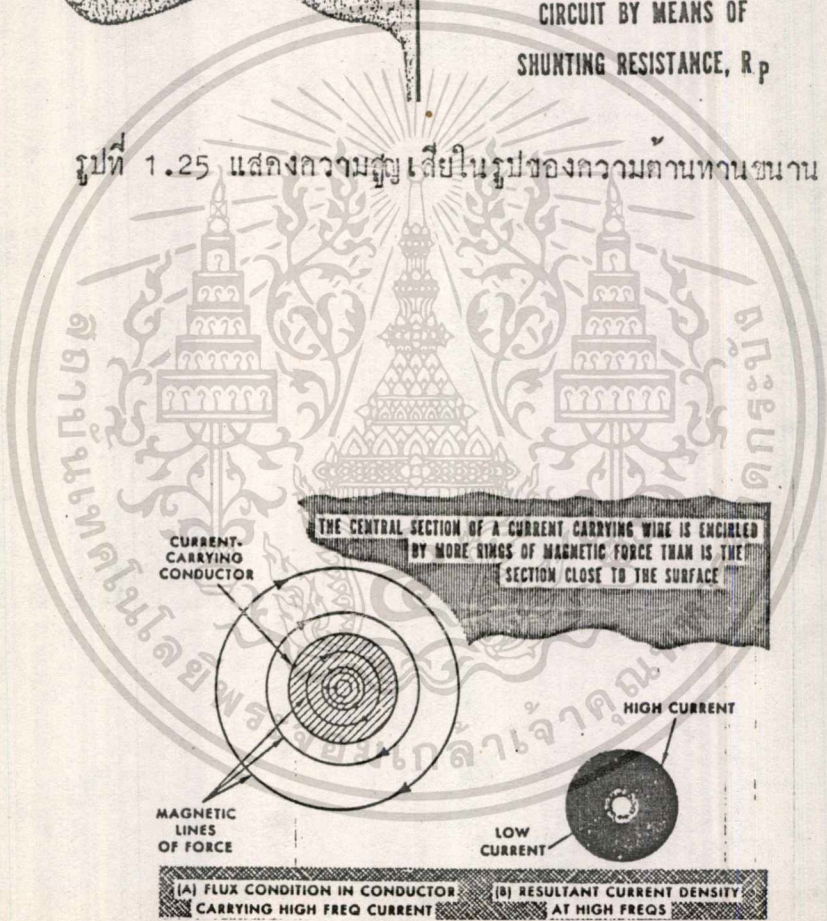
รูปที่ 1.24 แสดงความสูญเสียในรูปของความต้านทาน

เอกสารนี้เป็นเอกสารที่สงวนไว้สำหรับการใช้งานเพื่อการศึกษาเท่านั้น ไม่อนุญาตให้นำไปใช้ประโยชน์ด้านการค้า  
ไม่ว่ากรณีใดๆทั้งสิ้น อีกทั้งห้ามมิให้ตัดแปลงเนื้อหา และต้องอ้างอิงถึงเจ้าของเอกสารทุกครั้งที่มีการนำไปใช้



REPRESENTATION OF LOSSES IN L-C TANK  
CIRCUIT BY MEANS OF  
SHUNTING RESISTANCE,  $R_p$

รูปที่ 1.25 แสดงความสูญเสียในรูปของความต้านทานขนาน



รูปที่ 1.26 เส้นแรงแม่เหล็กและความหนาแน่นของกระแส

เอกสารนี้เป็นเอกสารที่สงวนไว้สำหรับการใช้งานเพื่อการศึกษาเท่านั้น ไม่อนุญาตให้นำไปใช้ประโยชน์ด้านการค้า  
ไม่ว่ากรณีใดๆทั้งสิ้น อีกทั้งห้ามมิให้ดัดแปลงเนื้อหา และต้องอ้างอิงถึงเจ้าของเอกสารทุกครั้งที่มีการนำไปใช้

คุณสมบัติของการเกิดเรโซแนนซ์ LC ตามทฤษฎี

โดยทั่วไปจะไม่คิดว่ามีความต้านทานในวงจร Tank เพื่อให้ง่ายต่อการทำนาย โดยจะคิดว่ามีแค่อินดักเตอร์และคาปาซิเตอร์ เมื่อมีโวลต์เตจตกคร่อมอินดักเตอร์จะทำให้เกิดกระแสกับโวลต์เตจต่างเฟสกันอยู่ 90 องศาโดยมีค่าของโวลต์เตจนำกระแส ส่วนในคาปาซิเตอร์ก็จะเกิดตรงกันข้ามกัน โดยค่าของกระแสนำโวลต์เตจเป็นมุม 90 องศา

การเกิดกำลังสลับกันระหว่างการจ่ายจากแหล่งจ่ายและการรับพลังงานจากแหล่งจ่ายมีความถี่มากกว่าโวลต์เตจและกระแสเป็น 2 เท่า ในกรณีของความต้านทานจะเกิดกำลังแค่การที่กำลังได้จ่ายออกมาเท่านั้น

ถ้าคิดว่าแหล่งจ่ายให้ความถี่เท่ากับความถี่เรโซแนนซ์ของการต่อแบบ LC การเกิดเรโซแนนซ์นั้นเกิดจากการค่าของความถี่ของแหล่งจ่ายทำให้เกิดค่ารีแอกแตนซ์ของอินดักเตอร์และคาปาซิเตอร์เท่ากันแต่มีเครื่องหมายต่างกัน ซึ่งในขณะที่เกิดเรโซแนนซ์นั้นจะไม่มีกระแสไหลในสายแต่จะเกิดกระแสไหลวนภายใน Tank ซึ่งมีค่าสูงมากเพราะคิดว่าไม่มีค่าอิมพีแดนซ์

การเกิดเรโซแนนซ์ในวงจรขนาน LC

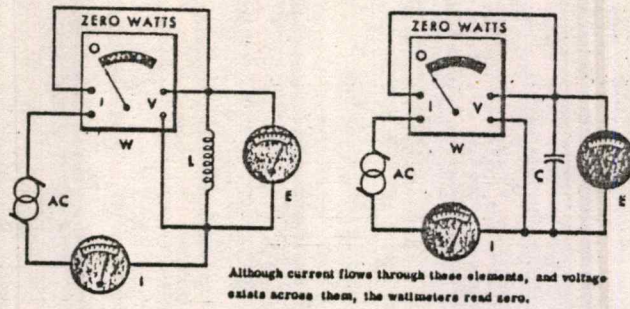
กระแสที่ผ่านอินดักเตอร์และคาปาซิเตอร์จะตามหลังโวลต์เตจอยู่ 90 องศา แต่กระแสที่ผ่านคาปาซิเตอร์จะนำหน้าโวลต์เตจ 90 องศา ซึ่งเมื่อเปลี่ยนความถี่ไปเรื่อย ๆ ก็จะเกิดจุดที่กระแสตรงกันกับโวลต์เตจโดยไม่มีกระแส shift ซึ่งก็คือจุดที่ค่ารีแอกแตนซ์ของอินดักเตอร์และคาปาซิเตอร์หักล้างกัน โดยคิดว่าต่างก็ชดเชยกำลังที่ทำให้เกิด phase shift ซึ่งจะได้ว่า

$$X_L = 2\pi fL, \quad X_C = 1/2\pi fC \quad \text{มีค่าเท่ากัน}$$

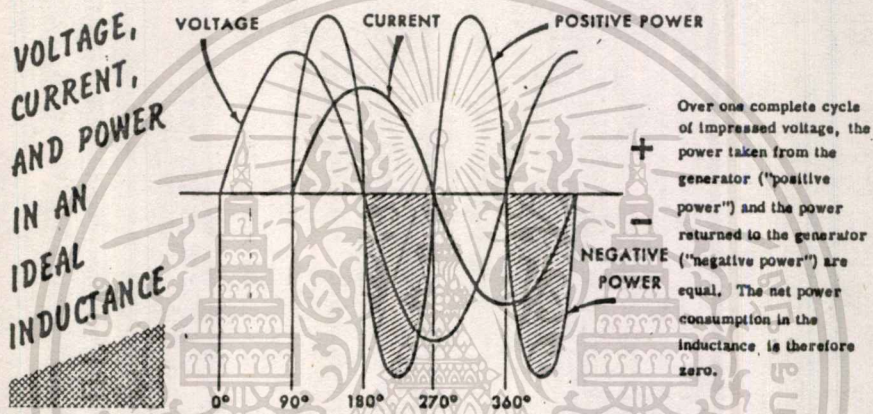
โดยที่จุดนี้เรียกว่าความถี่เรโซแนนซ์ ซึ่งเสมือนมีค่าความต้านทานในวงจรเท่านั้นโดยสามารถหาค่าความถี่เรโซแนนซ์ได้โดยสูตร

$$f_0 = 1/2\pi\sqrt{LC}$$

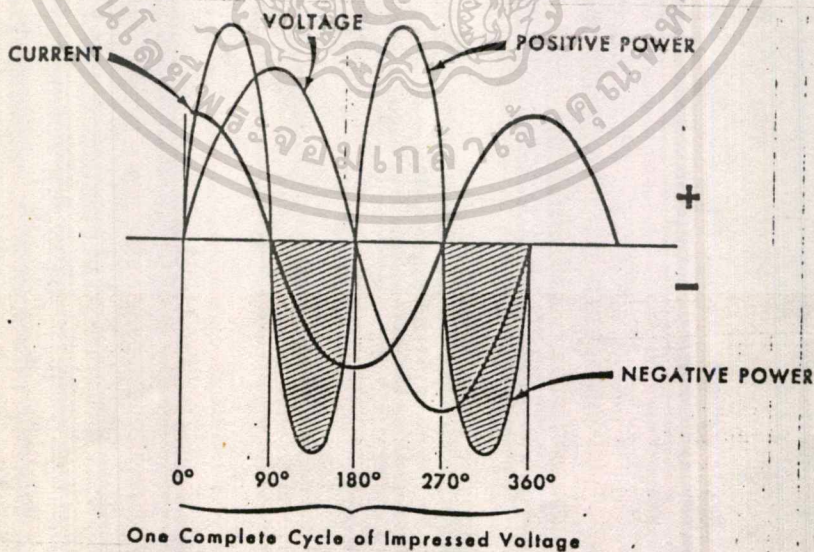
เอกสารนี้เป็นเอกสารที่สงวนไว้สำหรับการใช้งานเพื่อการศึกษาเท่านั้น ไม่อนุญาตให้นำไปใช้ประโยชน์ด้านการค้าไม่ว่ากรณีใดๆทั้งสิ้น อีกทั้งห้ามมิให้ดัดแปลงเนื้อหา และต้องอ้างอิงถึงเจ้าของเอกสารทุกครั้งที่มีการนำไปใช้



รูปที่ 1.27 ผลของกระแส, โวลต์ เทจ, พลังงาน



รูปที่ 1.28 ผลของกระแส, โวลต์ เทจ และพลังงานในอินดักเตอร์



รูปที่ 1.29 ผลของกระแส, โวลต์ เทจ และพลังงานในคาปาซิเตอร์

เอกสารนี้เป็นเอกสารที่สงวนไว้สำหรับการใช้งานเพื่อการศึกษาเท่านั้น ไม่อนุญาตให้นำไปใช้ประโยชน์ด้านการค้า  
ไม่ว่ากรณีใดๆทั้งสิ้น อีกทั้งห้ามมิให้ดัดแปลงเนื้อหา และต้องอ้างอิงถึงเจ้าของเอกสารทุกครั้งที่มีการนำไปใช้

วงจร Tank กับค่ากำลังของการสูญเสีย

ในขั้นแรกต้องศึกษาถึงค่าของ  $Q$  โดยค่าของ  $Q$  ก็คือการวัดค่าของอัตราส่วนพลังงานที่เก็บไว้ต่อค่าของพลังงานที่สูญเสียไป ถ้าคิดว่าไม่มีการสูญเสียก็จะได้ว่าค่าของ  $Q$  มีค่ามากจนเป็นอนันต์

ถ้าค่าของ  $Q$  ของวงจร Tuned Plate circuit มีค่าตั้งแต่ 10 ขึ้นไปแล้วจะทำให้ค่าของอิมพีแดนซ์ของ Tank circuit ของค่าอาร์โมนิกที่ 2 และลำดับสูงขึ้นไปนั้นมีค่าลดลงซึ่งผลที่ได้ก็คือ ค่าของโวลต์เตจที่ตกคร่อมของอาร์โมนิกนั้นมีค่าน้อยกว่าค่าของโวลต์เตจของ Fundamental ซึ่งก็คือจะทำให้ลดผลของการสร้างอาร์โมนิกส์ของกระแสไหลออกมาอย่างมาก

แต่ค่าของ  $Q$  ของ Tank circuit ต้องการค่าสูงเพื่อลดผลของอาร์โมนิกส์ก็จะเกิดข้อจำกัดของคุณสมบัติของผลตอบสนองความถี่ของ Amplifier ก็คือค่าของ gain จะมีค่าคงที่ในช่วงแคบของความถี่ในการใช้งาน ซึ่งก็จะทำให้ Amplifier ใช้ได้ในช่วงของความถี่ในช่วงแคบ โดยในวงจรขยายแบบ B นี้สามารถขยายได้ในช่วงความถี่แคบของสัญญาณต่างกัน แต่ในวงจรขยายแบบ C นี้ใช้ในการขยายสัญญาณคงที่ในช่วงความถี่แคบ

คุณสมบัติของวงจร Tank circuit

จากรูปที่ใช้ ทำการปรับ  $C_2$  จนความถี่เรโซแนนซ์ออกมาที่ความถี่  $1/2\pi\sqrt{L_2 C_2}$  ซึ่งก็จะเท่ากับการทำงานที่ความถี่เดียวกันกับความถี่ในการทำงานของแอมพลิฟายเออร์ เมื่อเกิดการเรโซแนนซ์ก็จะได้ว่าค่าของความต้านทาน

$$R_L' = (wM)^2 / (R_L'' + R_2)$$

ย้ายด้านไปทางด้าน primary ก็จะได้ค่าของวงจรสมมูลย์ออกมาตามรูป

ถ้าลักษณะของ Tank circuit เป็นไปตามทฤษฎี ค่าของอิมพีแดนซ์ขณะเกิดการเรโซแนนซ์จะมีค่าเท่ากับความต้านทาน และเท่ากับความต้านทานขนานกัน  $R_0$  และค่าของอิมพีแดนซ์จะเท่ากับ 0 ที่ความถี่อื่น ๆ

$$Z(w_0) = R_0$$

เอกสารนี้เป็นเอกสารที่สงวนไว้สำหรับการใช้งานเพื่อการศึกษาเท่านั้น ไม่อนุญาตให้นำไปใช้ประโยชน์ด้านการค้า  
ไม่ว่ากรณีใดๆทั้งสิ้น อีกทั้งห้ามมิให้ดัดแปลงเนื้อหา และต้องอ้างอิงถึงเจ้าของเอกสารทุกครั้งที่มีการนำไปใช้

จากเงื่อนไขทางด้านทฤษฎีไม่เป็นความจริง ก็สามารถหาค่าของอิมพีแดนซ์ที่ต่ำ ก็ลา

สามารถหาค่าของอิมพีแดนซ์ได้

$$Z(\omega_0) = R_L Q^2 \sqrt{1+1/Q^2} / \tan^{-1} 1/Q$$

ให้ค่าของ  $Q = 10$

$$Z(\omega_0) = R_L Q^2 * 1.005 / -5.7$$

ค่าของอิมพีแดนซ์ของวงจร Tank ที่เป็นความต้านทานได้

$$Z(\omega_0) = R_0 = R_L Q^2$$

ตามเงื่อนไขก็จะได้

$$R_0 = R_L Q^2 = \omega_0 L_1 Q = L_1 / R_L C_1 = Q / L_1 / C_1$$

ถ้าพิจารณาในกรณีของอาร์โมนิคที่ 2 ก็จะได้ว่า

$$Z(2\omega_0) = -j(1/1.5) * \sqrt{L_1 / C_1}$$

อัตราส่วนของค่าอิมพีแดนซ์ของอาร์โมนิคที่ 2 เทียบกับค่าของความถี่มูลฐานได้

$$Z(2\omega_0) / Z(\omega_0) = 1/1.5Q$$

เทียบอัตราส่วนของกำลังภายในได้เงื่อนไขของ  $I_{P1} = I_{P2}$  ก็จะได้ว่า

$$\begin{aligned} P_{L1} / P_{L2} &= I_{P1}^2 \operatorname{Re} Z(\omega_0) / I_{P2}^2 \operatorname{Re} Z(2\omega_0) \\ &= 4(1 + 2.25Q^2) \end{aligned}$$

เมื่อให้  $Q = 10$  ก็จะได้ว่า

$$P_{L1} / P_{L2} = 900$$

ซึ่งก็แสดงให้เห็นว่า ค่ากำลังของอาร์โมนิคไม่ต้องนำมาเกี่ยวข้องกับภายในได้เงื่อนไขนี้

ค่าประสิทธิภาพของการย้ายด้านของวงจรหาได้จากสูตร

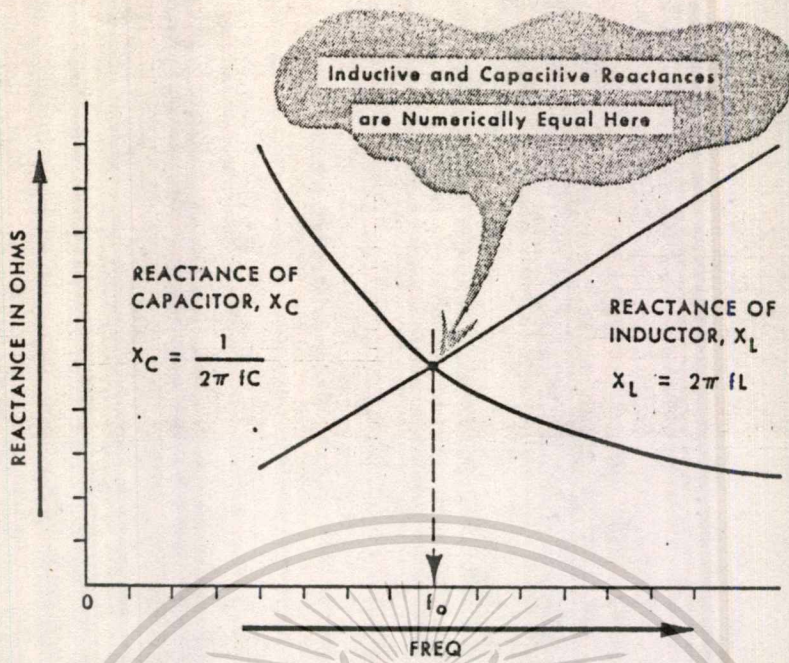
$$n = n_1 n_2$$

$$n_1 = R_L' / (R_1 + R_L')$$

กำลังทางด้าน secondary / กำลังทางด้าน primary

$$n_2 = R_L'' / (R_2 + R_L'')$$

เอกสารนี้เป็นเอกสารที่สงวนไว้สำหรับการใช้งานเพื่อการศึกษาเท่านั้น ไม่อนุญาตให้นำไปใช้ประโยชน์ด้านการค้า  
กำลังทางด้าน load / กำลังทางด้าน secondary  
ไม่ว่ากรณีใดๆทั้งสิ้น อีกทั้งห้ามมิให้ตัดแปลงเนื้อหา และต้องอ้างอิงถึงเจ้าของเอกสารทุกครั้งที่มีการนำไปใช้



**VARIATION OF INDUCTIVE AND CAPACITIVE REACTANCE WITH FREQUENCY**

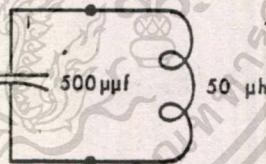
รูปที่ 1.30 การเปลี่ยนแปลงค่าแอกแทนส์กับความถี่

**A GIVEN RESONANT FREQUENCY CAN BE ATTAINED  
BY MANY DIFFERENT COMBINATIONS OF INDUCTANCE AND CAPACITANCE**

$$f_o = \frac{1}{2\pi\sqrt{LC}}$$

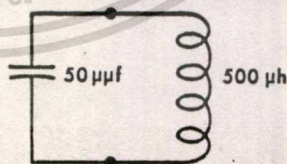
$$= \frac{1}{2\pi\sqrt{50 \times 10^{-6} \times 500 \times 10^{-12}}}$$

$$= 1.0 \text{ megacycle / sec}$$



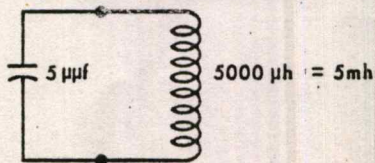
$$f_o = \frac{1}{2\pi\sqrt{500 \times 10^{-6} \times 50 \times 10^{-12}}}$$

$$= 1.0 \text{ megacycle / sec}$$



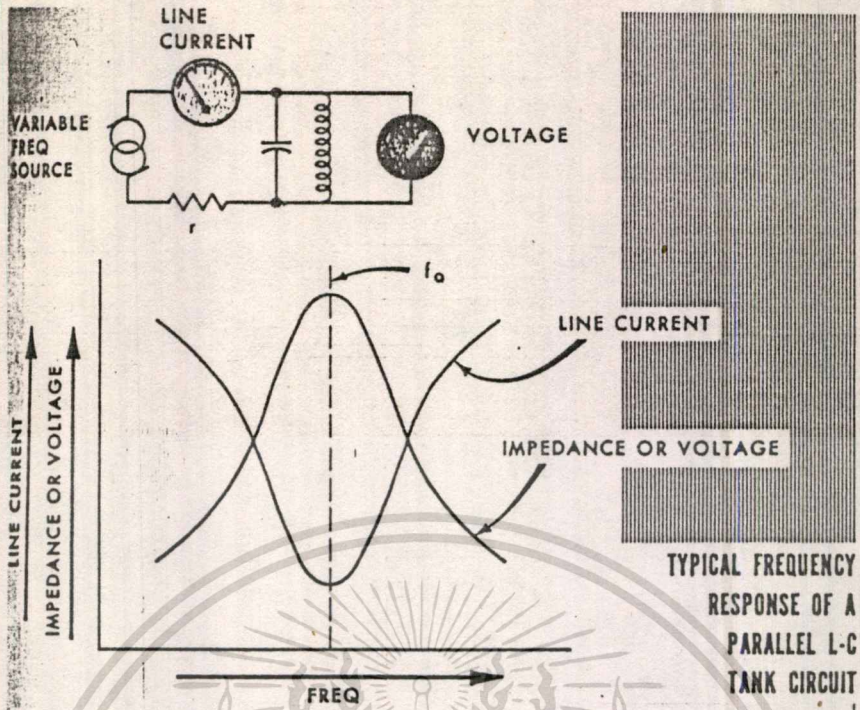
$$f_o = \frac{1}{2\pi\sqrt{5000 \times 10^{-6} \times 5 \times 10^{-12}}}$$

$$= 1.0 \text{ megacycle / sec}$$

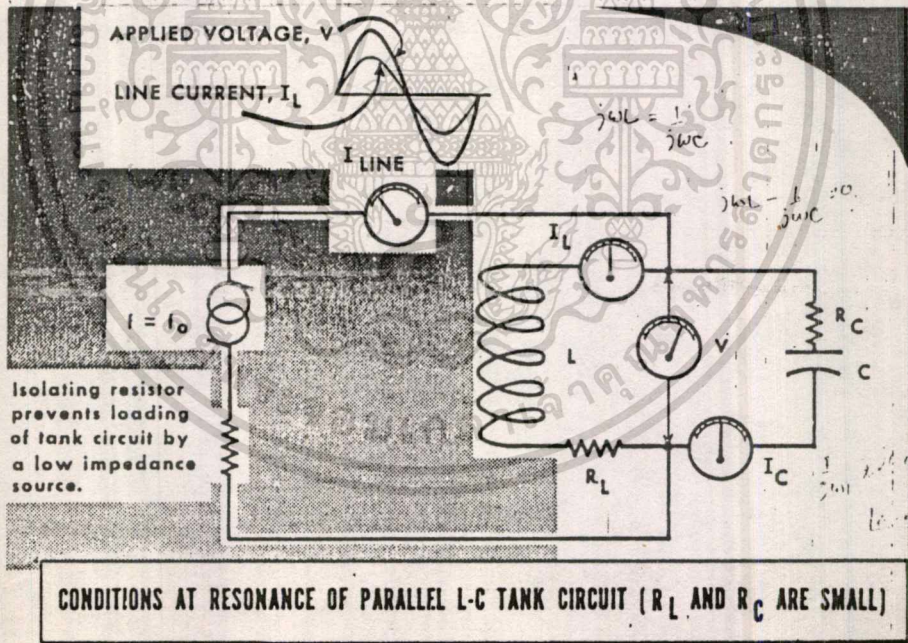


รูปที่ 1.31 การคำนวณหาความถี่ที่เรโซแนนซ์

เอกสารนี้เป็นเอกสารที่สงวนไว้สำหรับการใช้งานเพื่อการศึกษาเท่านั้น ไม่อนุญาตให้นำไปใช้ประโยชน์ด้านการค้า  
ไม่ว่ากรณีใดๆทั้งสิ้น อีกทั้งห้ามมิให้ดัดแปลงเนื้อหา และต้องอ้างอิงถึงเจ้าของเอกสารทุกครั้งที่มีการนำไปใช้



รูปที่ 1.32 ความสัมพันธ์ระหว่างความถี่กับความดันวงจรเทงก์

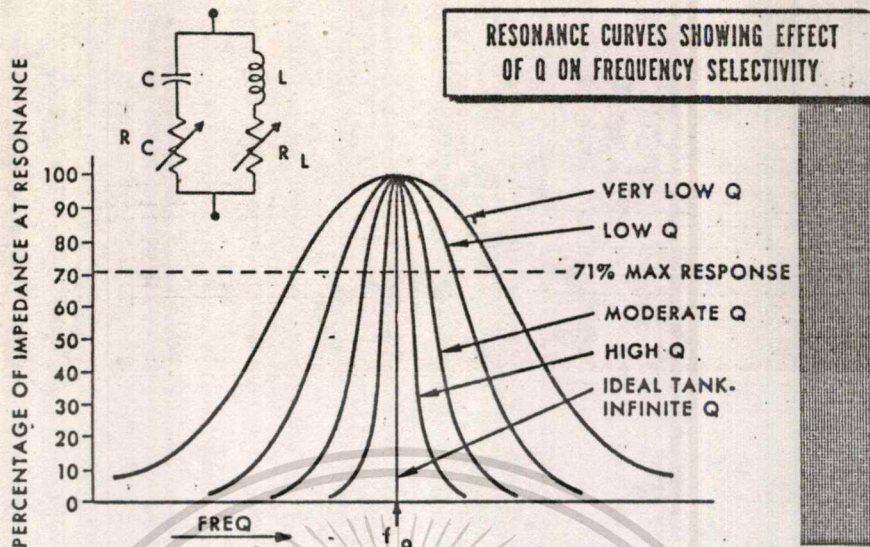


1. The applied voltage,  $V$ , and the line current,  $I_{LINE}$ , are in phase.
2. Inductor current,  $I_L$ , and capacitor current,  $I_C$  are of equal value because inductive reactance and capacitive reactance are equal.
3. The voltage,  $V$ , applied across the tank circuit rises to its maximum value because the impedance of the tank circuit attains its highest value.
4. The tank circuit behaves as a pure resistance.
5. The line current,  $I_{LINE}$ , attains its minimum value.

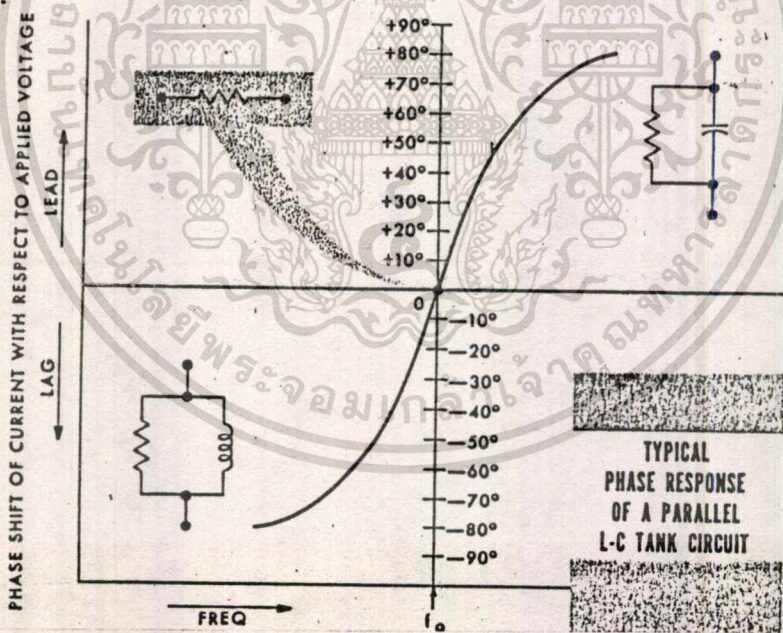
FIG. 2-13

รูปที่ 1.33 เงื่อนไขการเกิดเรโซแนนซ์

เอกสารนี้เป็นเอกสารที่สงวนไว้สำหรับการใช้งานเพื่อการศึกษาเท่านั้น ไม่อนุญาตให้นำไปใช้ประโยชน์ด้านการค้า  
ไม่ว่ากรณีใดๆทั้งสิ้น อีกทั้งห้ามมิให้ดัดแปลงเนื้อหา และต้องอ้างอิงถึงเจ้าของเอกสารทุกครั้งที่มีการนำไปใช้



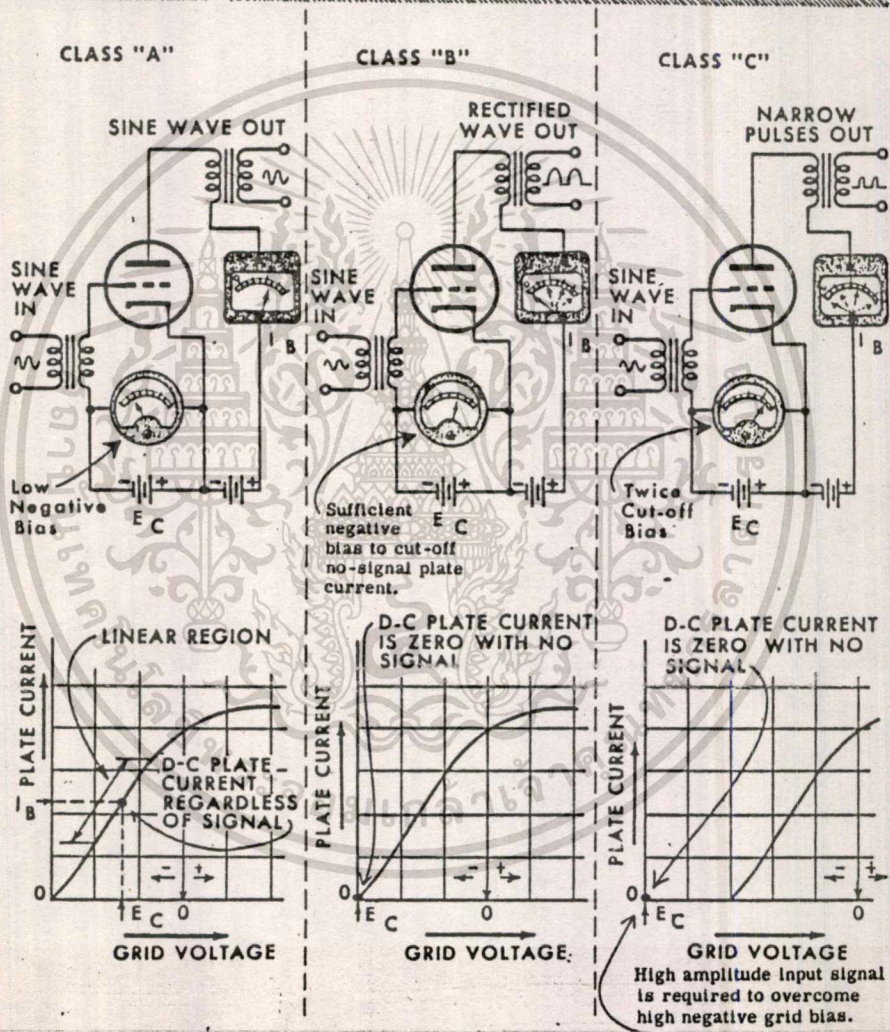
รูปที่ 1.34 ความสัมพันธ์ของอิมพีแดนซ์กับความถี่



รูปที่ 1.35 ผลของความถี่ที่มีต่อเฟสในวงจร

เอกสารนี้เป็นเอกสารที่สงวนไว้สำหรับการใช้งานเพื่อการศึกษาเท่านั้น ไม่อนุญาตให้นำไปใช้ประโยชน์ด้านการค้า  
ไม่ว่ากรณีใดๆทั้งสิ้น อีกทั้งห้ามมิให้ดัดแปลงเนื้อหา และต้องอ้างอิงถึงเจ้าของเอกสารทุกครั้งที่มีการนำไปใช้

## SCHEMATICS OF CLASS "A", "B", AND "C" AMPLIFIERS



รูปที่ 1.36 แสดงการทำงานเป็นวงจรขยายแบบต่าง ๆ

เอกสารนี้เป็นเอกสารที่สงวนไว้สำหรับการใช้งานเพื่อการศึกษาเท่านั้น ไม่อนุญาตให้นำไปใช้ประโยชน์ด้านการค้า  
ไม่ว่ากรณีใดๆทั้งสิ้น อีกทั้งห้ามมิให้ตัดแปลงเนื้อหา และต้องอ้างอิงถึงเจ้าของเอกสารทุกครั้งที่มีการนำไปใช้

โดยการเขียน  $n_1$  ในรูปแบบตาม

$$n_1 = (Q_{01} - Q_{01L})/Q_{01} = 1 - Q_{01L}/Q_{01}$$

$$Q_{01} = w_0 L_1 / R_1 \text{ ค่าของ } Q \text{ ขณะไม่มีโหลตทางด้านปฐมภูมิ}$$

$$Q_{01L} = w_0 L_1 / (R_1' + R_1) \text{ ค่าของ } Q \text{ ขณะมีโหลตทางด้านปฐมภูมิ}$$

$$n_2 = 1 - Q_{02L}/Q_{02}$$

$$Q_{02} = w_0 L_2 / R_2 \text{ ค่าของ } Q \text{ ขณะไม่มีโหลตทางด้านทุติยภูมิ}$$

$$Q_{02L} = w_0 L_2 / (R_2 + R_2'') \text{ ค่าของ } Q \text{ ขณะมีโหลตทางด้านทุติยภูมิ}$$

สามารถสรุปได้ว่า

$$n = (1 - Q_{01L}/Q_{01})(1 - Q_{02L}/Q_{02})$$

ถ้าต้องการวงจรที่มีประสิทธิภาพมาก ค่าของ  $Q_{01L}$  และ  $Q_{02L}$  จะต้องมีค่าต่ำ และค่าของ  $Q_{01}$  และ  $Q_{02}$  ตอนไม่มีโหลตจะต้องมีค่าสูง โดยทั่วไปในการใช้งานเราให้ค่าของ  $Q$  มากกว่า 10 เพื่อการป้องกันอาร์โมนิคส์ออกไปทางด้านเอาท์พุท ค่าของ  $Q$  ขณะไม่มีโหลตจะต้องพิจารณาเกี่ยวกับข้อจำกัดต่าง ๆ ดังเช่น ค่ากำลังที่ต้องจ่ายออกไป, คุณสมบัติการสร้างขดลวด, ความถี่ในการใช้งาน

ค่าของ  $Q$  ขณะไม่มีโหลต 100-200 ใช้กับขดลวดแบบกำลังต่ำ

500-800 ใช้กับขดลวดแบบกำลังสูง

การเลือกค่า  $Q_L$

สิ่งที่น่าสนใจที่จะตรวจสอบตัวประกอบซึ่งมีผลต่อการเลือก  $Q_L$  จากที่ได้กล่าวมาแล้ว แต่ในกรณีที่จะใช้กับค่าของ  $Q_L$  ที่ต่ำใช้กับ

1. ค่าประสิทธิภาพของการTransferสูง

2. ช่วงของ Bandwidth ที่กว้าง

3. องค์ประกอบของอาร์โมนิคส์ที่สูงขึ้นไป

เอกสารนี้เป็นเอกสารที่สงวนไว้สำหรับวงจรรีเลย์และอิเล็กทรอนิกส์เท่านั้น ไม่อนุญาตให้นำไปใช้ประโยชน์ด้านการค้า  
ไม่ว่ากรณีใดๆทั้งสิ้น อีกทั้งห้ามมิให้ตัดแปลงเนื้อหา และต้องอ้างอิงถึงเจ้าของเอกสารทุกครั้งที่มีการนำไปใช้

#### 4. อัตราส่วนของ $L/C$ ที่มากขึ้น

ในกรณีที่ 2 เกี่ยวกับความกว้างของความถี่ ซึ่งค่านี้ต้องให้ได้เหมาะสมกับความถี่ที่ต้องการสามารถผ่านไปได้ แต่ในช่วงอื่นจะต้องลดค่าให้น้อยลงไปอีก

ในกรณีที่ 3 ค่าของเอทันท อาร์โมนิคส์มีค่าน้อยลง ถ้า  $Q_u$  มากขึ้น แต่ถ้าค่าของ  $Q_u$  น้อยลงก็จะทำให้อาร์โมนิคส์มีผลต่อวงจร

ในกรณีที่ 4 การเลือกค่า  $Q_u$  ที่ต่ำ โดยค่าของ  $R_o$  คงที่นี้จะได้ว่าค่าของอัตราส่วนของ  $L/C$  มีค่าสูง ค่าของ  $L/C$  มากสุดเมื่อค่า  $C$  มีค่าน้อยสุด ซึ่งก็คือในหลอดกับสาย ซึ่งถ้าจะใช้ก็ควรเลือกค่า  $C$  มีค่าน้อยกับค่าของอินดักเตอร์สูง ๆ



เอกสารนี้เป็นเอกสารที่สงวนไว้สำหรับการใช้งานเพื่อการศึกษาเท่านั้น ไม่อนุญาตให้นำไปใช้ประโยชน์ด้านการค้า  
ไม่ว่ากรณีใดๆทั้งสิ้น อีกทั้งห้ามมิให้ดัดแปลงเนื้อหา และต้องอ้างอิงถึงเจ้าของเอกสารทุกครั้งที่มีการนำไปใช้

## 1.6 วงจรขยายแบบ C

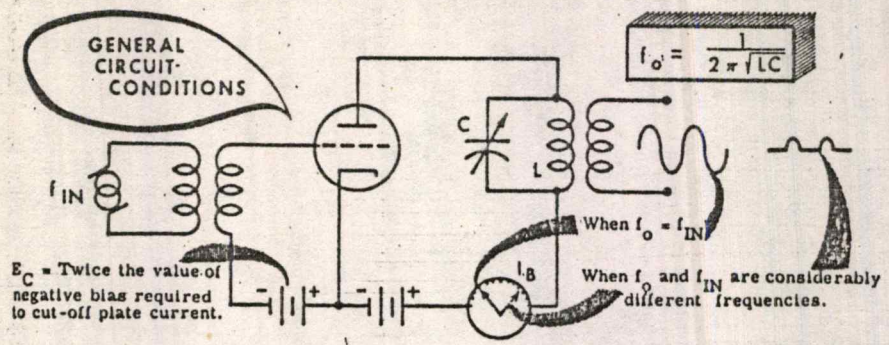
วงจรที่มีการ bias ด้วยโวลต์เตจเป็น 2 เท่าของค่ากระแสคัทออฟ ซึ่งจะให้ค่าประสิทธิภาพสูงกว่าวงจรแบบ B โดยค่าความถี่ของวงจรใน Tank กับความถี่อินพุตที่ป้อนเข้ามาจะเป็นค่าเดียวกัน โดยค่าของกระแสจะไหลผ่านค่าอิมพีแดนซ์ที่มีค่าสูงสุด ซึ่งก็จะได้ค่ากระแสตรง Plate มีค่าน้อยสุด ในกรณีที่มีความถี่ซึ่งค่าเอาท์พุทที่ได้ใหม่ มีค่าแรงดันความถี่เรโซแนนซ์แล้วค่าของกระแสจะมีค่าสูงด้วย ค่าของโวลต์คร่อมวงจร Tank จะมีค่ามากที่สุด เมื่อความถี่เรโซแนนซ์ทั้งทางด้านเอาท์พุทและอินพุท ซึ่งก็คือในขณะที่เกิดการเรโซแนนซ์ค่าของโวลต์เตจคร่อมวงจร Tank มีค่ามากที่สุด ส่วนค่ากระแสในหลอดมีค่าน้อยสุด ซึ่งเกิดเนื่องจากค่าของอิมพีแดนซ์ในวงจร Tank มีค่ามากที่สุดนั่นเอง ค่าของกำลังที่สูญเสียภายในหลอดเกิดจากผลคูณของกระแสเพลทและโวลต์เตจ ซึ่งผลที่ได้แสดงให้เห็นว่าวงจรขยายแบบ C ให้ค่าพลังงานเอาท์พุทมากที่สุดจากวงจร Tank โดยค่าการสูญเสียในเพลทมีค่าต่ำสุด ช่วงความกว้างของลูกคลื่นกระแสมีค่าแคบมากซึ่งก็คือ ค่าของช่วงการทำงานน้อยกว่า แบบ B ผลของ Tank circuit ในวงจรขยาย C ค่าของความถี่ที่ทำให้วงจร Tank เกิดการเรโซแนนซ์ได้นั้นจะมีความถี่เท่ากับค่าความถี่ของกระแสเพลทแบบพัลส์ ค่าของกระแสพัลส์จะประกอบไปด้วย DC Component ความถี่มูลฐาน ความถี่ฮาร์โมนิกส์อื่น วงจรของ Tank จะเป็นตัวจำกัดการไหลของความถี่มูลฐานเท่านั้น ค่ากำลังส่วนมากของพัลส์จะอยู่ในความถี่มูลฐาน ทำให้ค่าของ DC component และฮาร์โมนิกส์ต่างผ่านวงจร Tank ไปได้ ทำให้อ่านของกระแสเพลท DC มีค่าต่ำ ในวงจรออสซิลเลเตอร์ทั่วไปมักจะใช้วงจรขยาย C เป็นตัวต่อกับวงจร Tank

### การทำงานของกระแส Grid ในวงจรขยายแบบ C

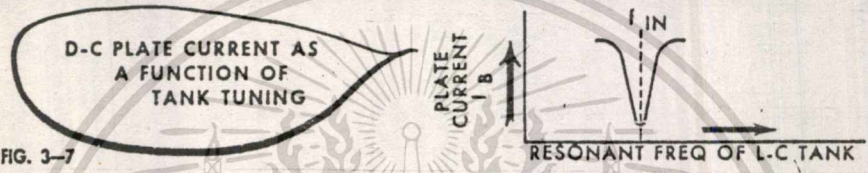
เนื่องจากผลการที่กริดจะใช้กระแสจากสัญญาณ เมื่อมีการกระชากของสัญญาณทำให้ค่าของแอมพลิจูดมีค่ามากกว่าโวลต์เตจแบบลบ ในวงจรกริดจะมีค่าของกระแสพัลส์ไหลด้วย ถ้าในกรณีหลอดถูก drive มากเท่าใด ค่าของกระแสกริดแบบ DC Component ก็จะมีค่ามากตาม ทำให้ค่าของความสูญเสียที่เกิดในวงจรกริดไม่ต้องนำมาคิดก็ได้ เมื่อคิดเทียบกับอัตรา

เอกสารนี้เป็นเอกสารที่สงวนไว้สำหรับการใช้งานเพื่อการศึกษาเท่านั้น ไม่อนุญาตให้นำไปใช้ประโยชน์ด้วยการค้า ขยายของเพลท โดยไม่มีส่วนของ Dc ที่ไหลผ่าน เหมือนวงจรขยายแบบ A ในกรณีของวง ไม่ว่ากรณีใดๆทั้งสิ้น อีกทั้งห้ามมิให้คัดแปลงเนื้อหา และต้องอ้างอิงถึงเจ้าของเอกสารทุกครั้งที่มีการนำไปใช้

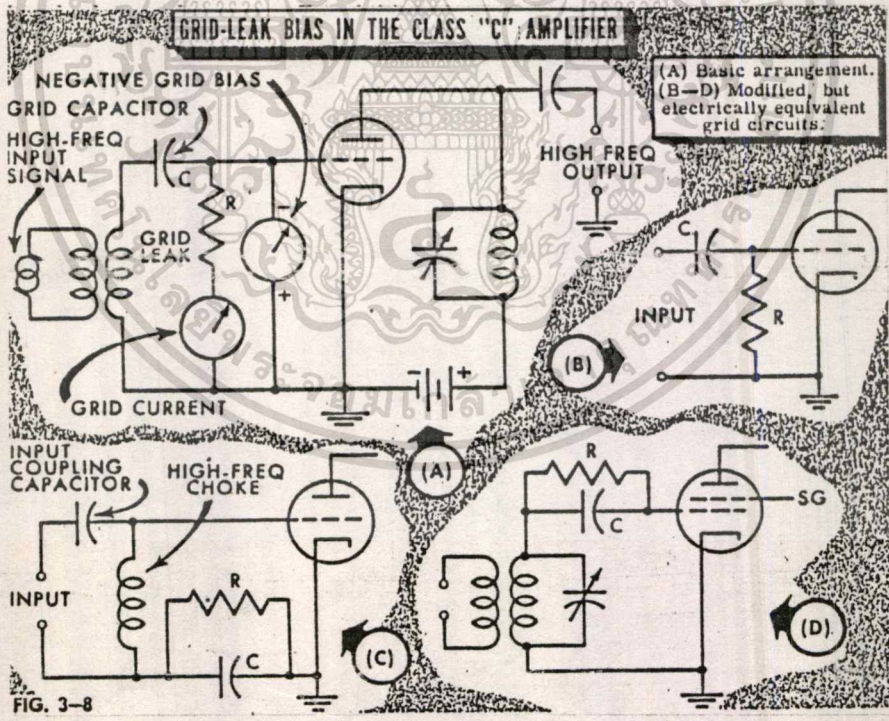
**THE CLASS "C" AMPLIFIER WITH A RESONANT TANK IN ITS OUTPUT CIRCUIT**



When  $f = f_o$ , D-C plate current,  $I_B$ , is at its minimum value. Also, the output wave attains its maximum amplitude and its shape is sinusoidal.



รูปที่ 1.37 ผลของวงจรเทงก์ในวงจรขยายแบบ "ซี"



รูปที่ 1.38 วงจรขยายที่ไบอัสด้วยกระแสกริดแบบรั่วไหล

เอกสารนี้เป็นเอกสารที่สงวนไว้สำหรับการใช้งานเพื่อการศึกษาเท่านั้น ไม่อนุญาตให้นำไปใช้ประโยชน์ด้านการค้า  
ไม่ว่ากรณีใดๆทั้งสิ้น อีกทั้งห้ามมิให้ตัดแปลงเนื้อหา และต้องอ้างอิงถึงเจ้าของเอกสารทุกครั้งที่มีการนำไปใช้

จรรยาบรรณ C จะให้อัตราการขยายไม่เป็นสัดส่วนกันแต่จะทำงานในลักษณะของการเป็น Switching ให้เป็นอัตราขยายระหว่างเอาต์พุตกับอินพุต

การไบอัสแบบ Grid Leak ในวงจรขยายแบบ C

การไบอัสด้วยตัวของวงจรเองโดยไม่ต้องมีการแยก Supply แล้วบ้อนเข้าทางกริดอีกส่วน โดยก็จะได้โฟลบที่เป็น 2 เท่าของโวลท์ที่ทำให้เกิดกระแสคัทออฟ จะเห็นได้ว่าวงจรกริด-คาโอด มีการบ้อนไฟเข้าเป็นรูป sine ซึ่งทำให้เกิดโวลท์ส่วนบวกมากกว่าโวลท์ที่ไบอัส เพื่อให้เกิดกระแสเป็นพัลส์ ในส่วนยอดที่เป็นบวกของสัญญาณโวลท์จะถูกแบ่งให้น้อยลงโดยค่าของกริดคาโอด ที่มีค่าอิมพีแดนส์ต่ำลง เมื่อกริดนำกระแสก็จะเป็นการลดโวลท์เตจที่เข้ามา ในทางกลับกันถ้าเราไม่มีการจ่ายโวลด ในส่วนของลูกคลื่นที่เป็นลบเพราะกริดไม่มีการดึงอิเล็กตรอน จากคาโอดทำให้ไม่มีการลดลงของโวลท์ ในส่วนของกริดที่เป็นลบก็จะทำให้มีการทำงานแบบวงจรเปิด พิจารณาในส่วนของคาปาซิเตอร์ (C) ต่อกับกริด ในแต่ละลูกคลื่นของสัญญาณไฟ เข้ามาในส่วนของทางด้านกริดจะมีค่าโฟลบมากกว่าบวก ก็จะทำให้ค่าของ C เป็นตัวทำให้เกิดการเปลี่ยนแปลงช้าลง ซึ่งก็จะมี charge ประจุด้วยโวลท์เตจที่แตกต่างระหว่างเนลทของตัวคาปาซิเตอร์ ซึ่งก็ทำให้เกิดโวลท์เตจเป็นลบ เมื่อเทียบกับค่าของคาโอด เหมือนกับการต่อวงจร Rectify ในวงจรโดยขึ้นกับการจ่ายเข้ามาของอินพุต AC ด้วย

ความจำเป็นในการมีส่วนของการคายประจุ

เมื่อ C ถูก charge จนเป็นส่วนที่ทำให้เกิดการไบอัสเป็นลบแล้ว ทำให้โวลท์ที่เข้ามายังขากกริดมีค่าลดลง ในส่วนของ R ซึ่งเป็นส่วนของ Grid Leak เป็นตัวที่จะช่วยในการคายประจุของ C อัตราการคายประจุซึ่งมีโวลท์เตจคร่อม C ลดลงให้พอในแต่ละลูกคลื่น ให้กริดสามารถ Drive กระแสได้ในระหว่างลูกคลื่นเป็นบวกในส่วนการไหลของของกระแสกริด จะเกี่ยวกับค่าของโวลท์เตจคร่อม C ซึ่งค่าที่เหมาะสมในการใช้ R จะเกี่ยวกับโวลท์อินพุต โดยจะต้องมีทั้งค่าของการเป็นกริดไบอัสที่เป็นลบ และค่าของกระแสกริดที่ผ่าน R

## 1.7 OSCILLATOR

ถ้าในวงจรที่มีการป้อนกลับด้วยค่าที่เหมาะสมวงจรตลอดก็จะสามารถทำตัวคล้ายกับเครื่องกำเนิดสัญญาณ โดยจะได้สัญญาณมาในรูปของ sine ด้วยค่าที่เป็นรูปสัญญาณจริง ซึ่งอาจเป็นลูกคลื่นแบบ square หรืออาจไม่เป็นรูปคล้าย sine เลย แต่ให้คาบที่แน่นอน

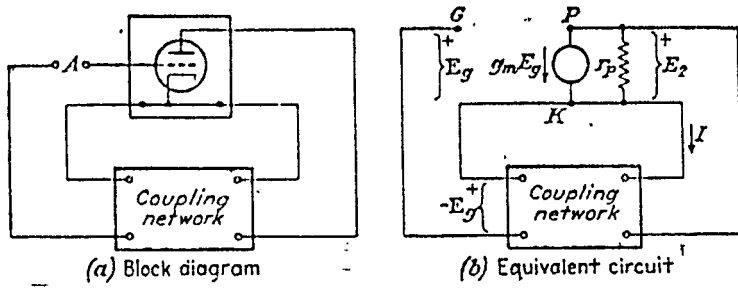
ชนิดของวงจรป้อนกลับมีมากมาย ซึ่งจะแตกต่างกันในเรื่องของรายละเอียด ซึ่งต้องมีการทำให้เกิดการ Oscillate ให้คงทนนาน โดยการป้อนกลับสัญญาณนั้นค่าที่ได้จะมีความถี่เท่ากับความถี่ของเอาต์พุต โดยทั่วไปวงจรของออสซิลเลเตอร์ที่เป็นแบบป้อนกลับตัวเอง จะทำงานอยู่ในวงจรขยายแบบ C ซึ่งในทางทฤษฎีของวงจรขยายแบบ C นี้ จะเป็นการทำงานในช่วงของความไม่เป็นเชิงเส้นของอุปกรณ์ ในทางทฤษฎีในการจะเข้าใจการทำงานของออสซิลเลเตอร์นี้จะต้องศึกษาถึงข้อกำหนดการออกแบบและข้อมูลในขณะใช้งาน

ออสซิลเลเตอร์มีหลายชนิดขึ้นอยู่กับการนำไปใช้งานว่าจะใช้ในช่วงความถี่ใด การคงอยู่คงที่ (stability) ค่าของเอาต์พุต ลักษณะการควบคุมสำหรับวงจรความถี่สำหรับวงจรความถี่ต่ำใช้ในการทำงานอินตักซ์อินตักซ์ แต่ต้องการกำลังมาก โดยไม่สนใจในเรื่องความคงอยู่ของความถี่ (Frequency Stability) ในส่วนของวงจรภาครับก็ต้องการลักษณะที่แตกต่างกันไป โดยต้องเป็นวงจรที่มีความ stable และใช้ได้หลายความถี่แต่กำลังต่ำ วงจรออสซิลเลเตอร์ที่เป็นคลื่นนาหะ จะต้องมีลักษณะที่มี stable มาก กำลังน้อย ต้องกำเนิดเพียงความถี่เดียวเท่านั้น ซึ่งอาจใช้แบบ crystal oscillator

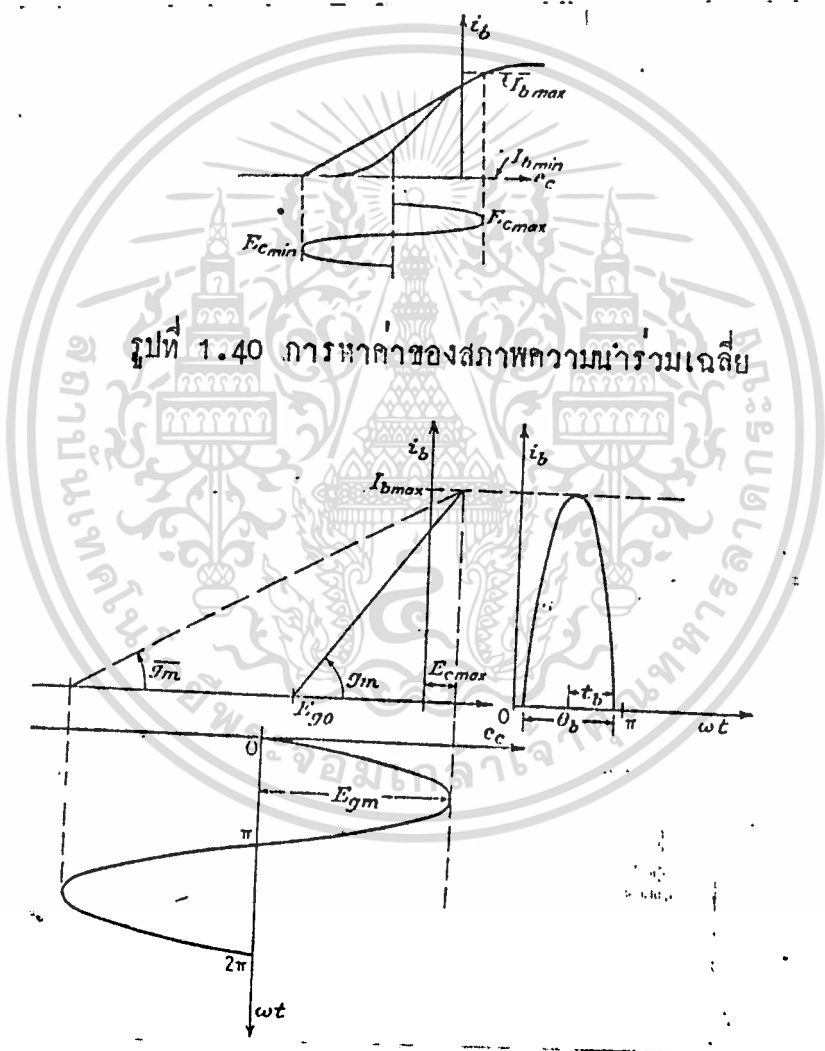
เงื่อนไขในการกระตุ้นตัวเอง

เพื่อให้มั่นใจในเงื่อนไขที่จะสามารถทำให้วงจรตลอดคงการออสซิลเลทไว้ได้ คิดตามวงจรว่าเปิดตามส่วนตามที่แสดงไว้ โดยการคิดว่ามีแรงดัน  $E_u$  อยู่ในกริด ค่าของกรรแลก็จะได้เป็น  $E_u E_u$  สำหรับการใช้งานในช่วงเชิงเส้นของวงจร กรรแล  $I$  ไหลไปยังส่วนของ Coupling network ก็จะทำให้เกิดค่าของโวลต์เตจคร่อมในส่วนของจุดปลายของเอาต์พุต ถ้าค่าของความต่างศักย์นี้เท่ากับทั้งขนาดและตรงเฟสกันกับค่าของ  $E_u$  ในตอนเริ่มต้นแล้ว วงจรก็จะเชื่อมต่อกันตรงจุด A และระบบก็ยังคงอยู่ต่อไปได้

เอกสารนี้เป็นเอกสารที่สงวนลิขสิทธิ์ไว้สำหรับอาจารย์และบุคลากรในมหาวิทยาลัยสงขลานครินทร์ วิทยาเขตปัตตานี ไม่อนุญาตให้เผยแพร่โดยไม่ได้รับอนุญาตจากทางมหาวิทยาลัยสงขลานครินทร์ วิทยาเขตปัตตานี  
การหาจุดที่เป็นมาตรฐานของการทำออสซิลเลเตอร์ อาจใช้การหาผลรวมของอัตรา  
ไม่ว่ากรณีใดๆทั้งสิ้น อีกทั้งห้ามมิให้ดัดแปลงเนื้อหา และต้องอ้างอิงถึงเจ้าของเอกสารทุกครั้งที่มีการนำไปใช้



รูปที่ 1.39 วงจรหลอดที่มีการเชื่อมต่อระหว่างอินพุตกับเอาพุท



รูปที่ 1.41 คุณสมบัติของหลอดในวงจรออสซิลเลเตอร์

เอกสารนี้เป็นเอกสารที่สงวนไว้สำหรับการใช้งานเพื่อการศึกษาเท่านั้น ไม่อนุญาตให้นำไปใช้ประโยชน์ด้านการค้า  
ไม่ว่ากรณีใดๆทั้งสิ้น อีกทั้งห้ามมิให้ดัดแปลงเนื้อหา และต้องอ้างอิงถึงเจ้าของเอกสารทุกครั้งที่มีการนำไปใช้

ขยาย ทั้งเรื่องขนาดและเฟส โดยคิดว่าเป็น loop ประกอบด้วยตั้งแต่อินพุตผ่านไปยัง วงจรขยาย และต่อไปยัง coupling การออสซิลเลทจะเกิดเมื่อค่าของ loop gain มีค่า เป็น 1 และค่าของเฟสมีการเปลี่ยนไป  $2\pi$  หรือ 0

การศึกษามาตรฐานของการวิเคราะห์ออสซิลเลเตอร์ จะต้องพิจารณาเกี่ยวกับการทำ transfer อิมพีแดนส์ของวงจรที่ Coupling ซึ่งกำหนด  $Z_T$  ซึ่งกำหนดให้เป็นอัตราส่วน ของความต่างศักย์เอาต์พุตกับค่ากระแสอินพุต

โดยค่า  $Z_T = -E_2 / I$  การเกิดออสซิลเลท

$$(g_m E_2 + E_2 / r_p) Z_T = -E_2$$

$$g_m Z_T (E_2 + E_2 / \mu) = -E_2$$

แต่ค่าของความต่างศักย์เอาต์พุตของเครื่องขยายสัมพันธ์กับค่าความต่างศักย์อินพุตโดย

$$E_2 = K E_1$$

$$g_m Z_T E_1 (1 + K/\mu) = -E_2$$

$$g_m Z_T (1 + K/\mu) = -1$$

กำหนดค่าของอิมพีแดนส์ทางด้านวงจร coupling เป็น  $-E_2 / I = Z$

$$(g_m E_2 + E_2 / r_p) Z = -E_2$$

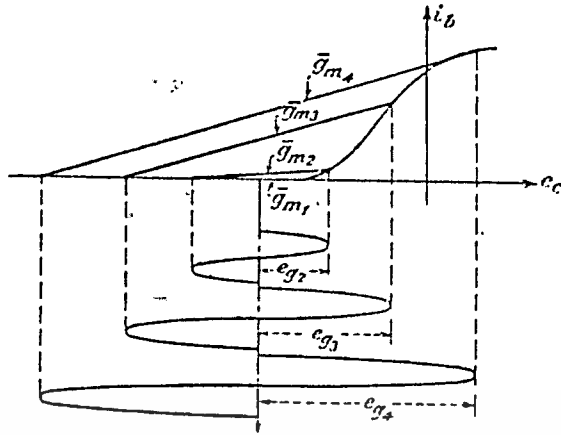
$$(g_m E_2 + K E_2 g_m / \mu) Z = -K E_2$$

$$g_m Z (1/K + 1/\mu) = -1$$

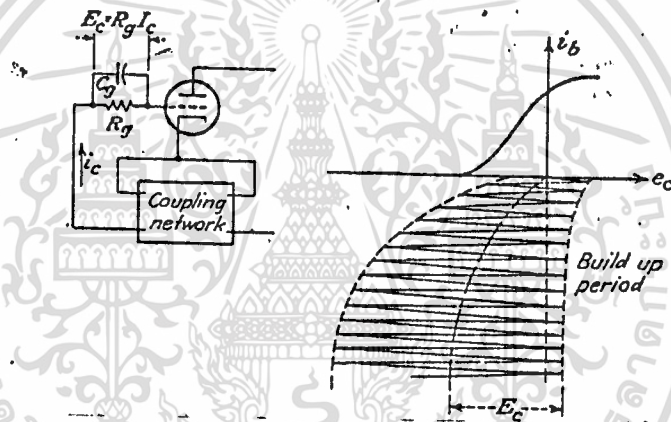
$$1/g_m Z + 1/\mu = -1/K$$

อัตราส่วนของ  $E_2 / E_1$  กำหนดให้เป็น  $\beta$

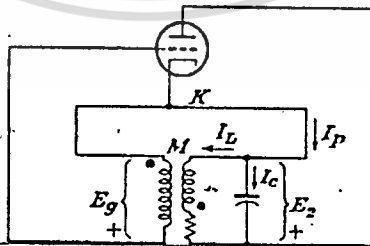
$$1/g_m Z + 1/\mu = -\beta$$



รูปที่ 1.42 วงจรออสซิลเลเตอร์ไม้อัดกึ่งอัตโนมัติ

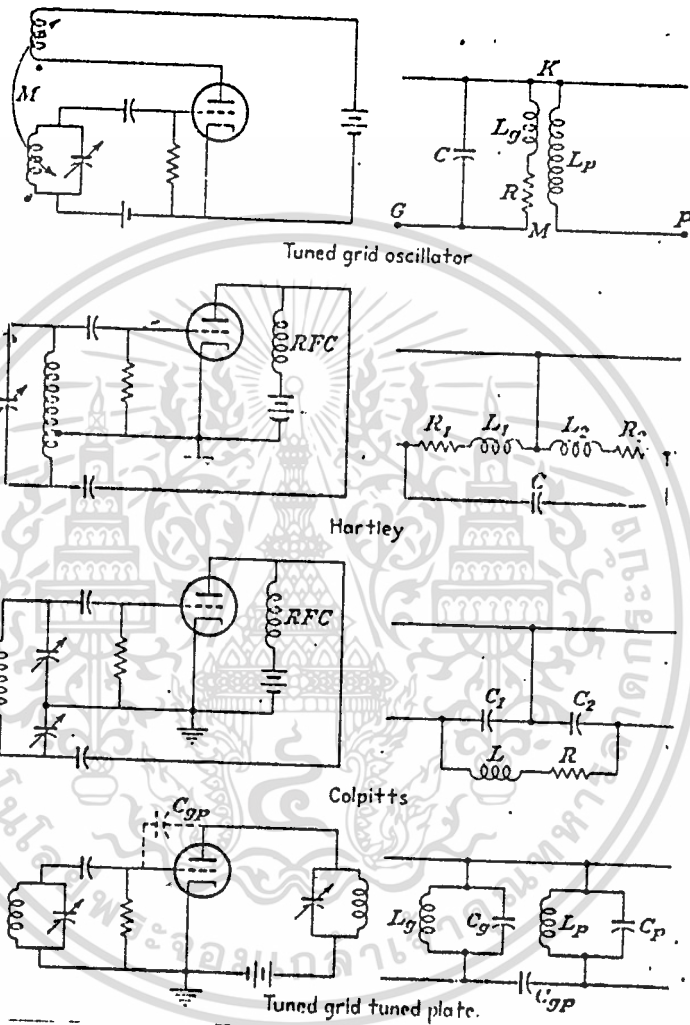


รูปที่ 1.43 การเริ่มต้นของการออสซิลเลเตอร์



รูปที่ 1.44 วงจรออสซิลเลเตอร์ที่มีวงจร feedback ทางคานเฟลต

เอกสารนี้เป็นเอกสารที่สงวนไว้สำหรับการใช้งานเพื่อการศึกษาเท่านั้น ไม่อนุญาตให้นำไปใช้ประโยชน์ด้านการค้า  
ไม่ว่ากรณีใดๆทั้งสิ้น อีกทั้งห้ามมิให้ดัดแปลงเนื้อหา และต้องอ้างอิงถึงเจ้าของเอกสารทุกครั้งที่มีการนำไปใช้



รูปที่ 1.45 วงจรออสซิลเลเตอร์แบบต่าง ๆ

เอกสารนี้เป็นเอกสารที่สงวนไว้สำหรับการใช้งานเพื่อการศึกษาเท่านั้น ไม่อนุญาตให้นำไปใช้ประโยชน์ด้านการค้า  
ไม่ว่ากรณีใดๆทั้งสิ้น อีกทั้งห้ามมิให้ดัดแปลงเนื้อหา และต้องอ้างอิงถึงเจ้าของเอกสารทุกครั้งที่มีการนำไปใช้

ได้ความล้มพันธ์เป็น  $\rho K = 1$  ซึ่งก็แสดงให้เห็นว่าค่าของ loop gain มีค่าเท่ากับ 1 แต่ในการใช้งานจริงจะกำหนดให้  $\rho K$  มากกว่า 1 เล็กน้อยเพื่อชดเชยในวงจร โดยทั่วไปกำหนดให้เป็น 5% เพื่อให้แน่ใจในการเกิดออสซิลเลท



เอกสารนี้เป็นเอกสารที่สงวนไว้สำหรับการใช้งานเพื่อการศึกษาเท่านั้น ไม่อนุญาตให้นำไปใช้ประโยชน์ด้านการค้า ไม่ว่าจะกรณีใดๆทั้งสิ้น อีกทั้งห้ามมิให้ดัดแปลงเนื้อหา และต้องอ้างอิงถึงเจ้าของเอกสารทุกครั้งที่มีการนำไปใช้

## ฟิลด์เอฟเฟคทรานซิสเตอร์

### 2.1 ชนิดของฟิลด์เอฟเฟคทรานซิสเตอร์

ฟิลด์เอฟเฟคทรานซิสเตอร์มีอยู่ 2 ชนิดคือ

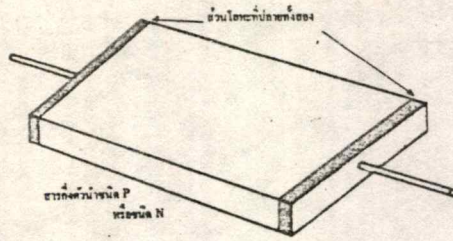
1. ฟิลด์เอฟเฟคทรานซิสเตอร์ชนิด P-N (Junction field effect transistor) เรียกย่อ ๆ ว่า JFET
2. ฟิลด์เอฟเฟคทรานซิสเตอร์ประเภท metal oxide semiconductor เรียกว่า MOSFET ในบางครั้งอาจเรียกว่า ฟิลด์เอฟเฟคทรานซิสเตอร์แบบนี้ว่าฟิลด์เอฟเฟคทรานซิสเตอร์ที่มีฉนวนกัน

### 2.2 ลักษณะโครงสร้างของฟิลด์เอฟเฟคทรานซิสเตอร์ที่มีฉนวนหัวต่อ PN

ส่วนโครงสร้างของฟิลด์เอฟเฟคทรานซิสเตอร์ชนิดนี้ เริ่มจากการนำเอาแท่งของสารกึ่งตัวนำตั้งแสดงในรูปที่ 2.1 มาสร้างเป็นตัวฟิลด์เอฟเฟคทรานซิสเตอร์ แท่งสารกึ่งตัวนำนี้จะมีคุณสมบัติเหมือนตัวต้านทานตัวหนึ่งโดยมีปลายข้างหนึ่งต่อเป็นขั้ว เรียกว่า ซอร์ส (source) ส่วนอีกปลายข้างหนึ่งเรียกว่า เดรน (drain) และสิ่งหนึ่งที่จะทำให้เข้าใจในการทำงานของมันดีขึ้น จะต้องรู้ว่ากระแสที่ไหลผ่านแท่งสารนี้จะเป็นกระแสโฮล (ในกรณีที่เป็นสารชนิด P) หรือกระแสอิเล็กตรอน (ในกรณีที่เป็นสารชนิด N) เท่านั้น

แท่งสารกึ่งตัวนำที่แสดงดังรูปที่ 2.1 จะนำกระแสได้เสมือนเป็นตัวต้านทานตัวหนึ่ง การของกระแสจะขึ้นอยู่กัจำนวนของอิเล็กตรอนอิสระ (ในกรณีที่เป็นสารชนิด N) หรือ โฮล (ในกรณี

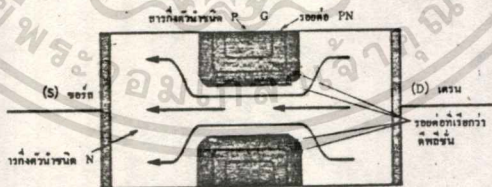
เอกสารนี้เป็นเอกสารที่สงวนไว้สำหรับการใช้งานเพื่อการศึกษาเท่านั้น ไม่อนุญาตให้นำไปใช้ประโยชน์ด้านการค้าที่เป็นสารชนิด P) กระแสนี้จะลดน้อยลงถ้าให้ช่องว่างหรือช่องทางการไหลของกระแสลดลงไม่ว่ากรณีใดๆทั้งสิ้น อีกทั้งห้ามมิให้ดัดแปลงเนื้อหา และต้องอ้างอิงถึงเจ้าของเอกสารทุกครั้งหากนำไปใช้



รูปที่ 2.1 แท่งสารกึ่งตัวนำชนิด N หรือ P

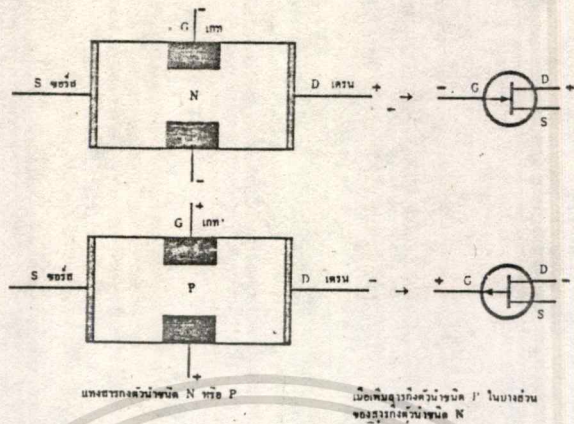


รูปที่ 2.2 เมื่อเพิ่มสารกึ่งตัวนำชนิด P ในบางส่วนของสารกึ่งตัวนำชนิด N

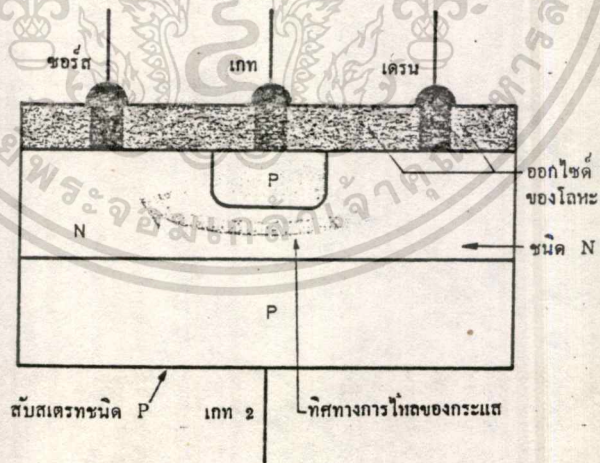


รูปที่ 2.3 รูปตัดด้านข้างให้เห็นรอยต่อ N และ P

เอกสารนี้เป็นเอกสารที่สงวนไว้สำหรับการใช้งานเพื่อการศึกษาเท่านั้น ไม่อนุญาตให้นำไปใช้ประโยชน์ด้านการค้า  
ไม่ว่ากรณีใดๆทั้งสิ้น อีกทั้งห้ามมิให้ตัดแปลงเนื้อหา และต้องอ้างอิงถึงเจ้าของเอกสารทุกครั้งที่มีการนำไปใช้



รูปที่ 2.4 โครงสร้างและสัญลักษณ์ของ FET ชนิด N แชนแนล และ P แชนแนล



รูปที่ 2.5 การสร้าง FET ชนิดหัวต่อ PN บนแผ่นสับลเตร

เอกสารนี้เป็นเอกสารที่สงวนไว้สำหรับการใช้งานเพื่อการศึกษาเท่านั้น ไม่อนุญาตให้นำไปใช้ประโยชน์ด้านการค้า  
ไม่ว่ากรณีใดๆทั้งสิ้น อีกทั้งห้ามมิให้ดัดแปลงเนื้อหา และต้องอ้างอิงถึงเจ้าของเอกสารทุกครั้งที่มีการนำไปใช้

เมื่อเพิ่มเกทให้กับแท่งสารกึ่งตัวนำซึ่งทำมาจากสารชนิด P ดังรูปที่ 2.3 จะทำให้เกิดเป็นช่องระหว่างรอยต่อ PN ดังนั้นกระแสจะต้องไหลผ่านช่องนี้และถ้าเราสามารถควบคุมให้ขนาดของช่องนี้เพิ่มขึ้นหรือลดลงก็จะทำให้ค่าของความต้านทานระหว่างปลายทั้งสองของสารแท่งตัวเกิดการเปลี่ยนแปลง การนำสารชนิด N และ P มาต่อให้เกิดเป็นบริเวณรอยต่อที่เรียกว่า ดิฟฟิชั่น และถ้าทำการไบอัสกลับระหว่างรอยต่อ PN นี้จะทำให้ช่วงรอยต่อดิฟฟิชั่นจะมีค่ามากขึ้น

เมื่อพิจารณาจากรูปตัดด้านข้างของสารกึ่งตัวนำ P ที่มีรอยต่อ PN เกิดขึ้นสองด้าน ดังรูปที่ 2.3 รอยต่อดิฟฟิชั่นจะทำให้ช่องทางการไหลของกระแสได้น้อยลง ถ้าให้รอยต่อนี้ถูกไบอัสมากขึ้นก็จะทำให้บริเวณดิฟฟิชั่นมากขึ้น เป็นผลทำให้ช่องทางกระแสแคบลง การที่เราจะทำการไบอัสกลับที่รอยต่อนี้ทำได้โดยการให้แรงดันระหว่างขั้วซอร์สกับเกทเป็นไปดังแสดงในรูปที่

2.4 (เกททั้งสองจะต่อถึงกัน) กระแสอิเล็กตรอนซึ่งเดิมไหลจากซอร์สไปยังเดรนจะมีค่าลดลง (รูปที่ 2.4 ก) ตรงบริเวณช่องทางของกระแสจะแคบลงมากตรงส่วนทางด้านขั้วเดรนเนื่องจากระหว่างเดรนกับเกทจะถูกไบอัสกลับด้วยแรงดันที่มีค่ามากกว่าระหว่างเกทกับซอร์ส

สิ่งที่สำคัญมากและเห็นได้ชัดที่ทำให้ฟิลด์เอฟเฟคทรานซิสเตอร์แตกต่างไปจากไบโพลาร์ทรานซิสเตอร์ทั่วไปคือ ที่บริเวณรอยต่อระหว่างเกทกับซอร์สจะได้รับการไบอัสกลับ ซึ่งผิดกับหลักการของทรานซิสเตอร์ที่รอยต่อระหว่างเบสกับอิมิตเตอร์จะได้รับการไบอัสตรง ดังนั้นความต้านทานระหว่างเกทกับซอร์สจึงมีค่าสูงมาก ซึ่งสูงกว่าความต้านทานระหว่างเบสกับอิมิตเตอร์หลายสิบเท่า โดยปกติเมื่อนำฟิลด์เอฟเฟคทรานซิสเตอร์ชนิดนี้ไปใช้งานค่าความต้านระหว่างเกทและซอร์สซึ่งอยู่ในลักษณะไบอัสกลับมีค่าสูงเป็น เมกกะโอห์ม และจะเป็นค่าความต้านทานอินพุทของวงจรซึ่งเสมือนกับว่าไม่มีกระแสไหลเข้าทางเกทได้ ดังนั้นเราจึงกล่าวได้ว่าฟิลด์เอฟเฟคทรานซิสเตอร์เป็นสารตัวนำที่ทำงานได้ด้วยการให้แรงดันควบคุมการไหลของกระแสโดยมีความสัมพันธ์กัน

ฟิลด์เอฟเฟคทรานซิสเตอร์มีได้สองชนิดเช่นเดียวกับทรานซิสเตอร์ โดยเราแบ่งออกเป็นชนิด N Channel และชนิด P Channel รูปร่างลักษณะตลอดจนการให้แรงดันไบอัสในขณะใช้งานและสัญลักษณ์ของฟิลด์เอฟเฟคทรานซิสเตอร์แสดงในรูปที่ 2.4

เอกสารนี้เป็นเอกสารที่สงวนไว้สำหรับการใช้งานเพื่อการศึกษาเท่านั้น ไม่อนุญาตให้นำไปใช้ประโยชน์ด้านการค้า ฟิลด์เอฟเฟคทรานซิสเตอร์ชนิดหัวต่อ PN ได้รับการพัฒนาให้มีประสิทธิภาพการทำงานดีขึ้น ไม่ว่ากรณีใดๆทั้งสิ้น อีกทั้งห้ามมิให้คัดแปลงเนื้อหา และต้องอ้างอิงถึงเจ้าของเอกสารทุกครั้งที่มีการนำไปใช้

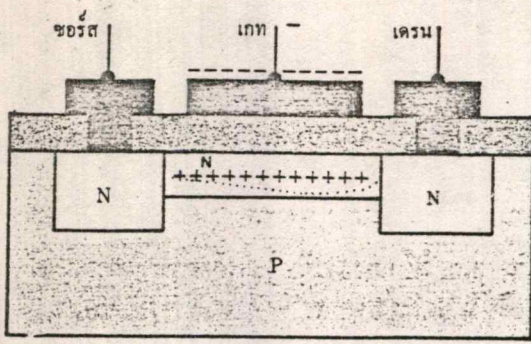
เรื่อย ๆ จนปัจจุบันนี้โครงสร้างที่ใช้ทำฟิลด์เอฟเฟคทรานซิสเตอร์นี้ทำได้โดยการนำแผ่นสารกึ่งตัวนำที่เรียกว่า ลับสเตรท (substrate) เป็นหลักแล้วทำการแพร่สารเจือปนเพื่อให้เกิดเป็นตัวของสารกึ่งตัวนำชนิด P และ N ดังรูปที่ 2.5

### 2.3 ฟิลด์เอฟเฟคทรานซิสเตอร์ชนิดที่เกทมีฉนวนกั้น (Insulated gate field effect transistor)

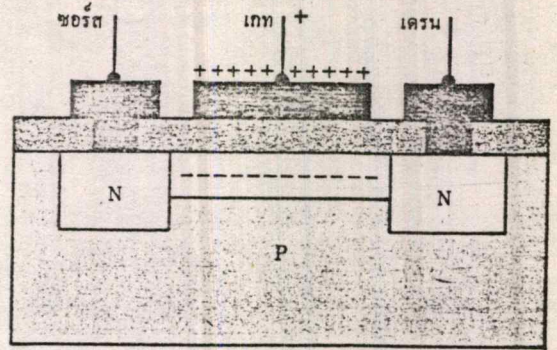
ฟิลด์เอฟเฟคทรานซิสเตอร์ชนิดนี้ใช้โลหะออกไซด์มาเคลือบที่ผิวบนส่วนโดยได้เข้ามามีบทบาทแทนที่วงจรรวมโพลาร์ทรานซิสเตอร์ในรูปของไอซี (Integrated circuit) ในบางครั้งเราจะได้ยินการเรียกทรานซิสเตอร์ชนิดนี้ว่า มอสเฟต ซึ่งเป็นคำย่อมาจาก MOSFET -metal oxide semiconductor field effect transistor ลักษณะที่สำคัญที่ทำให้ฟิลด์เอฟเฟคทรานซิสเตอร์ชนิดนี้เป็นที่รู้จักกันแพร่หลายคือ คุณสมบัติในเรื่องความต้านทานที่เกทสูงมาก สนิมกับหลอดสุญญากาศ โครงสร้างของฟิลด์เอฟเฟคทรานซิสเตอร์ชนิดนี้แสดงให้เห็นดังรูป 2.6 เห็นได้ว่า มอสเฟต แตกต่างไปจากเฟตชนิดหัวต่อ PN ตรงบริเวณขั้วเกทซึ่งมีฉนวนกั้นกลาง โดยไม่ให้ขั้วเกทถูกกับสารกึ่งตัวนำ แต่การทำงานของมอสเฟตจะยังคงเหมือนกับฟิลด์เอฟเฟคทรานซิสเตอร์ชนิดหัวต่อคือใช้สนามไฟฟ้า ดังในรูป 2.6 ก) เมื่อที่ขั้วเกทได้รับการไบอัสกลับมันจะเป็นผลทำให้รอยต่อที่เรียกว่าคิโนลิชั้นที่ส่วนของเนื้อสาร N มีประจุบวกด้วยการเหนี่ยวนำทำให้รอยต่อของเนื้อสาร N ที่มีอยู่แล้วขนาดลดลงเป็นผลทำให้กระแสไหลผ่านช่องได้น้อยลงเมื่อให้แรงดันระหว่างเดรนกับซอร์สมีค่าสูงขึ้น จำนวนพาหะอิเล็กตรอนที่เคลื่อนที่จากซอร์สไปยังเดรนจะมีค่าสูงมากขึ้นตามด้วย สำหรับในกรณีของ Enhancement แตกต่างไปจากกรณีของคิโนลิชั้นเพราะโครงสร้างตรงบริเวณระหว่างเดรนกับซอร์สจะเป็นชนิดของสารกึ่งตัวนำชนิดตรงกันข้าม ดังแสดงในรูปที่ 2.6 ข) การทำงานจะได้เมื่อขั้วเกทมีศักดาเป็นบวกเทียบกับลับสเตรท เมื่อเกทมีศักดาบวกมันจะเหนี่ยวนำให้เนื้อสาร P ตรงข้ามกับเกทมีประจุลบเป็นสะพานให้กระแสอิเล็กตรอนไหลได้ ถ้าให้เกทมีค่าเป็นบวกจะเกิดช่องมาก ส่วนของฉนวนที่กั้นที่บริเวณเกทเป็นสารจำพวกออกไซด์ของซิลิกอน การทำงานของมอสเฟตแสดงในรูปที่ 2.7 โดยปกติส่วนของ

เอกสารนี้เป็นเอกสารลิขสิทธิ์สงวนไว้เพื่อการใช้งานเท่านั้น เมื่อผู้ใดนำเอกสารไปใช้โดยไม่ได้รับอนุญาตถือว่าผิดกฎหมาย

ไม่ว่ากรณีใดๆทั้งสิ้น อีกทั้งห้ามมิให้ตัดแปลงเนื้อหา และต้องอ้างอิงถึงเจ้าของเอกสารทุกครั้งที่มีการนำไปใช้

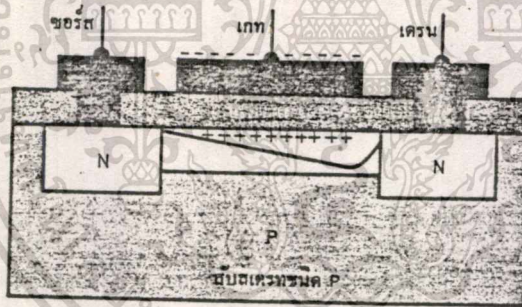


ก. ชนิดพีเอ็น

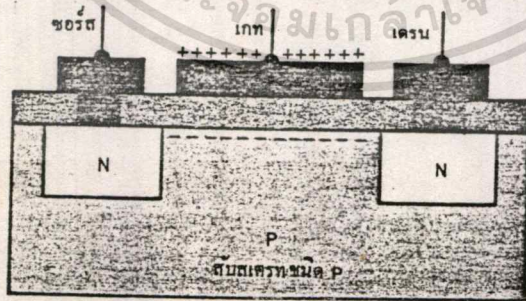
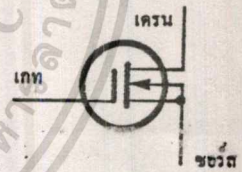


ข. ชนิดเอ็นแชนแนล

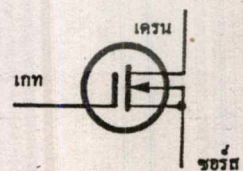
รูปที่ 2.6 โครงสร้างของ MOSFET



ก. สัญลักษณ์และโครงสร้างของมอสเฟตชนิดพีเอ็น



ข. สัญลักษณ์และโครงสร้างของมอสเฟตชนิดเอ็นแชนแนล



รูปที่ 2.7 แสดงสัญลักษณ์และการทำงานของ MOSFET

เอกสารนี้เป็นเอกสารที่สงวนไว้สำหรับการใช้งานเพื่อการศึกษาเท่านั้น ไม่อนุญาตให้นำไปใช้ประโยชน์ด้านการค้า  
ไม่ว่ากรณีใดๆทั้งสิ้น อีกทั้งห้ามมิให้ดัดแปลงเนื้อหา และต้องอ้างอิงถึงเจ้าของเอกสารทุกครั้งที่มีการนำไปใช้

ลักษณะจะต่อถึงกับขั้วหรือต่อลงกรานด์ ส่วนของประจวบที่เกิเกิดขึ้นดังรูปที่ 2.7 และจะเห็นขั้วนำทำให้เกิดประจุลบซึ่งทำหน้าที่ให้เกิดช่องทางไหลของกระแสได้

## 2.4 การไบอัสวงจรมายของ FET

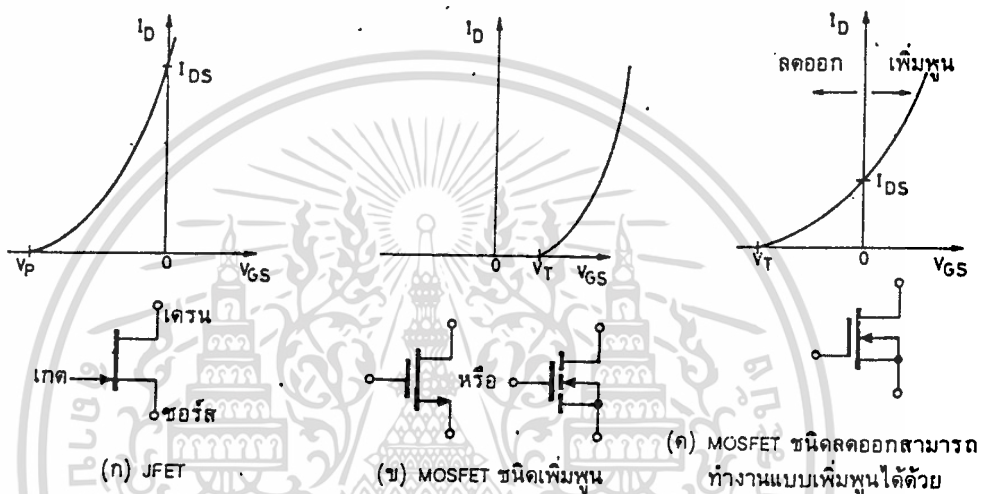
FET มีข้อแตกต่างกับทรานซิสเตอร์ BJT หลายประการ ที่สำคัญคือกระแสเกตค่าต่ำมากจนถือได้ว่าเป็นศูนย์ และลักษณะการโอนย้ายระหว่างกระแสเดรนกับแรงดันเกต-ขั้วสมิรูปร่างเกือบเป็นพาราโบลา นั่นคือกระแสเดรนขึ้นอยู่กับแรงดันเกตยกกำลังสองโดยใกล้เคียง FET มีทั้งชนิดที่ช่องแคบเป็นสารชนิด n กับชนิดที่ช่องแคบเป็นสารชนิด p นอกจากนี้ FET ยังแบ่งออกเป็น JFET และ MOSFET ซึ่ง MOSFET นั้นยังแบ่งออกเป็นชนิดที่มีช่องแคบอยู่แล้วโดยกระบวนการผลิตหรือที่เรียกว่า Depletion type กับชนิดที่มีช่องแคบก็ต่อเมื่อมีอำนาจไฟฟ้าจากเกตมาเห็นขั้วนำให้เกิดขึ้นหรือที่เรียกว่า Enhancement type พารามิเตอร์ที่สำคัญของ FET คือ  $V_{p}$  หรือค่าของ Pinch-off voltage สำหรับ JFET และ  $V_T$  หรือ Threshold voltage สำหรับ MOSFET ซึ่งแรงดันทั้งสองนี้เข้าแรงดันเกตที่แบ่งการทำงานระหว่างการนำกระแสกับการหยุดนำกระแส ลักษณะการโอนย้ายตลอดจนสัญลักษณ์ของ FET ชนิดที่เป็นช่องแคบเป็นสารชนิด n แสดงในรูปที่ 2.8 สำหรับกรณีที่มีช่องแคบเป็นสารชนิด p ปริมาณต่าง ๆ จะมีเครื่องหมายกลับกัน ส่วนลูกศรของสัญลักษณ์ก็ต้องเขียนกลับทิศทางกัน

### การไบอัส JFET และ MOSFET ชนิด Depletion

JFET และ MOSFET ชนิดนี้มีลักษณะที่มีความคล้ายกัน กล่าวคือสำหรับช่องแคบชนิด n จุดเริ่มนำกระแส ( $V_{p}$  หรือ  $V_T$ ) จะตรงกับค่าแรงดัน  $V_{GS}$  เป็นลบ เมื่อ  $V_{GS}$  เป็นศูนย์ กระแสเดรนจะมีค่าเท่ากับ  $I_{DSS}$  ซึ่งเป็นพารามิเตอร์ที่สำคัญของ FET ลักษณะการโอนย้ายสามารถเขียนเป็นสมการได้โดยใกล้เคียงกันดังนี้

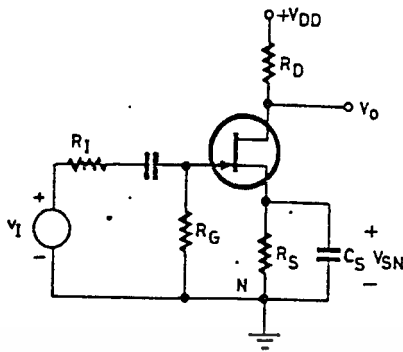
$$I_D = I_{DSS} [1 - V_{GS} / V_p]^2 \quad \text{หรือ} \quad I_D = I_{DSS} [1 - V_{GS} / V_T]^2 \quad (2.1)$$

เอกสารนี้เป็นเอกสารที่สงวนไว้สำหรับการใช้งานเพื่อการศึกษาเท่านั้น ไม่อนุญาตให้นำไปใช้ประโยชน์ด้านการค้าไม่ว่ากรณีใดๆทั้งสิ้น อีกทั้งห้ามมิให้ดัดแปลงเนื้อหา และต้องอ้างอิงถึงเจ้าของเอกสารทุกครั้งที่มีการนำไปใช้

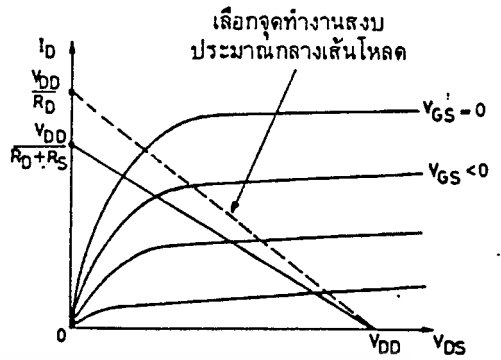


รูปที่ 2.8 สัญลักษณ์และลักษณะโอนย้ายของ FET ชนิด N แชนแนล

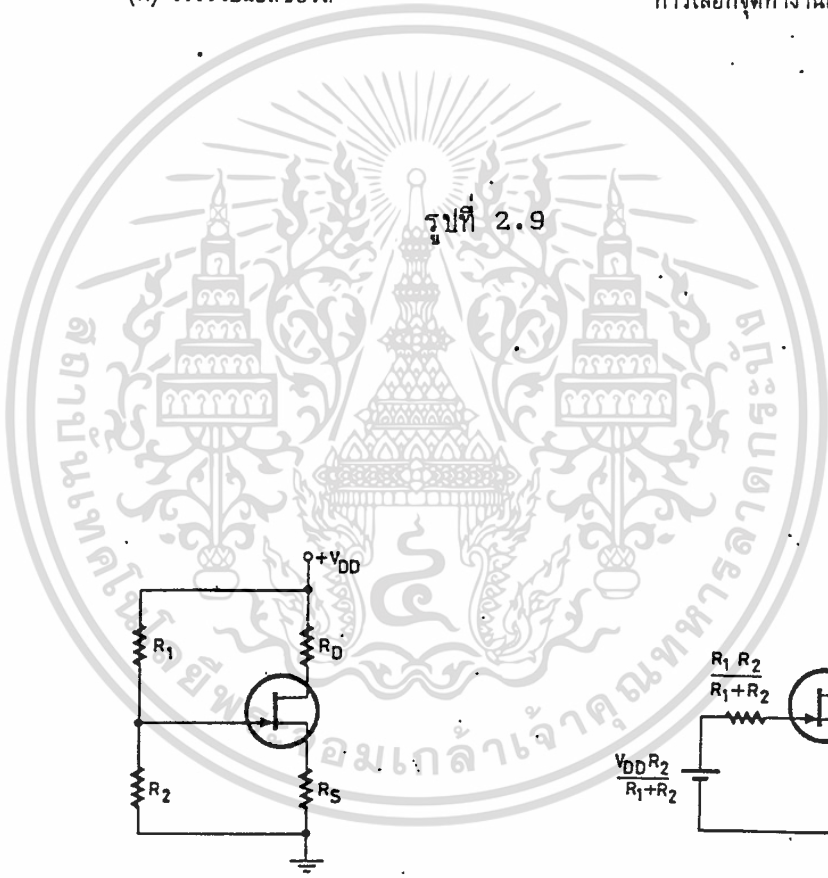
เอกสารนี้เป็นเอกสารที่สงวนไว้สำหรับการใช้งานเพื่อการศึกษาเท่านั้น ไม่อนุญาตให้นำไปใช้ประโยชน์ด้านการค้า  
ไม่ว่ากรณีใดๆทั้งสิ้น อีกทั้งห้ามมิให้ตัดแปลงเนื้อหา และต้องอ้างอิงถึงเจ้าของเอกสารทุกครั้งที่มีการนำไปใช้



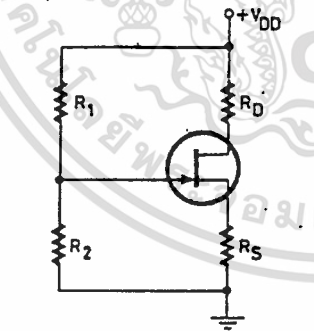
(ก) วงจรไบแอสซอร์ส



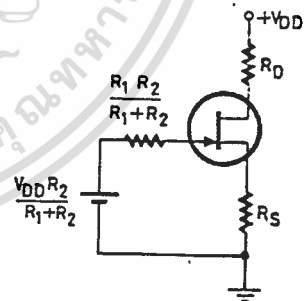
(ข) ลักษณะขาออกประกอบ การเลือกจุดทำงานสงบ



รูปที่ 2.9



(ก) วงจรไบแอสซอร์สที่มีแรงดัน ไฟตรงที่เกต



(ข) วงจรสมมูลของวงจร (ก) โดยใช้ทฤษฎีบทของเทเวนิน

รูปที่ 2.10

เอกสารนี้เป็นเอกสารที่สงวนไว้สำหรับการใช้งานเพื่อการศึกษาเท่านั้น ไม่อนุญาตให้นำไปใช้ประโยชน์ด้านการค้า ไม่ว่ากรณีใดๆทั้งสิ้น อีกทั้งห้ามมิให้ดัดแปลงเนื้อหา และต้องอ้างอิงถึงเจ้าของเอกสารทุกครั้งที่มีการนำไปใช้

วงจรในรูปที่ 2.9 ก) เป็นวงจรที่ใช้ได้สะดวก แรงดันไฟตรงของเกทมีค่าเท่ากับศูนย์ เนื่องด้วยมีความต้านทาน  $R_g$  ต่อเกทลงดิน ดังนั้นแรงดัน  $V_{gs}$  ก็คือ  $-V_{gs}$  หรือลบ แรงดันคร่อมความต้านทาน  $R_g$  ที่ชาซอร์ส การเลือกค่า  $V_{gs}$  สำหรับจุดทำงานสงบนั้น อาจใช้ลักษณะขาออกในรูปที่ 2.9 ข) ประกอบการพิจารณา ความต้านทานเดรน  $R_D$  อาจจะถูกกำหนดโดยอัตราขยายสัญญาณที่ต้องการเป็นต้น จากค่าของ  $R_D$  เราสามารถเขียนเส้น โหลดในขั้นต้นได้โดยไม่คิดค่าของ  $R_g$  (เส้นประในรูปที่ 2.9 ข) จุดทำงานสมมูลควรจะอยู่ ประมาณกลางเส้นโหลดเพื่อว่าเมื่อมีสัญญาณแล้ว จุดทำงานจะเลื่อนขึ้นลงบนเส้นโหลดโดยไม่เข้าสู่ย่านอิ่มตัว หรือ หยุคน้ำกระแส เมื่อรู้ค่าของ  $V_{gs}$  และ  $I_D$  ของจุดทำงานสมมูล จะคำนวณค่า  $R_g$  ได้จากสมการ

$$R_g = -V_{gs} / I_D \quad (2.2)$$

โดยทั่วไป  $R_g$  จะมีค่าเล็กกว่า  $R_D$  จากค่าของ  $R_g$  ที่ได้จากสมการ (2.2) ก็ให้เขียนเส้นโหลดใหม่(รูปที่ 2.9ข) และสังเกตว่าจุดทำงานสงบจากค่า  $V_{gs}$  และ  $I_D$  ที่เลือกไว้เดิมนั้นจะมีอยู่ประมาณกลางเส้นโหลดใหม่นี้หรือไม่ ถ้าจำเป็นต้องเลือกจุดทำงานสงบใหม่ก็ให้ใช้สมการ (2.2) อีกครั้ง ซึ่งจะให้ค่า  $R_g$  ค่าใหม่อีก การออกแบบโดยวิธีการทำซ้ำแบบนี้อาจจะต้องลองจุดทำงานใหม่เพียงครั้งเดียว ก็จะได้ค่า  $R_g$  ที่เหมาะสม

วงจรในรูปที่ 2.9 ก) ใช้ JFET ที่มีช่องแคบชนิด n มีค่า  $V_p = -2$  v และ  $I_{DSS} = 2$  mA กำหนดให้  $V_{DD} = 20$  v ออกแบบการไบอัสที่เหมาะสมควรเลือกจุดทำงานสมมูลประมาณกลางเส้นโหลด นั่นคือเลือกกระแส  $I_D$  ประมาณกึ่งหนึ่งของ  $I_{DSS}$ ,  $V_{gs}$  ประมาณกึ่งหนึ่งของ  $V_{DD}$  เลือกค่าของ  $I_D = 0.9$  mA จากสมการ (2.1) จะได้

$$0.9 = 2[1 + V_{gs}/2]^2$$

$$\text{จะได้ } V_{gs} = -0.66 \text{ V}$$

ความต้านทานชอร์ส  $R_g$  คำนวณได้จากสมการ (2.2) จะได้

เอกสารนี้เป็นเอกสารที่สงวนไว้สำหรับการใช้งานเพื่อการศึกษาเท่านั้น ไม่อนุญาตให้นำไปใช้ประโยชน์ด้านการค้า  
ไม่ว่ากรณีใดๆทั้งสิ้น  $R_g = -0.66/0.9$  ต้องอ้างอิงถึงเจ้าของเอกสารทุกครั้งที่มีการนำไปใช้

$$= 0.73 \text{ กิโลโห์ม}$$

จากสมการ KVL ทางด้านเดรนจะได้

$$V_{DD} = I_D (R_D + R_S) + V_{DS}$$

ถ้าเลือก  $V_{DS} = 10 \text{ v}$  จะได้

$$\begin{aligned} R_D &= (V_{DD} - V_{DS}) / I_D - R_S \\ &= (20 - 10) / 0.9 - 0.73 \\ &= 10.4 \text{ กิโลโห์ม} \end{aligned}$$

ในบางกรณีผู้ผลิตจะระบุการจัดค่าของ  $V_P$  และ  $I_{DSS}$  ซึ่งกำหนดในการออกแบบก็คือ เมื่อ  $V_P$  และ  $I_{DSS}$  เปลี่ยนแปลงค่าอยู่ในช่วงที่ผู้ผลิตระบุ กระแส  $I_D$  จะต้องไม่เปลี่ยนแปลงเกินกว่าที่โจทย์กำหนด วงจรไบอัสซอร์สตามรูปที่ 2.9 ก) ก็จะทำให้เกตมีแรงดันไฟตรงค่าหนึ่ง โดยการใช่วงจรแบ่งแรงดัน (Voltage divider) ดังในรูปที่ 2.10 ก) ซึ่งมีวงจรมวลยดังในรูปที่ 2.10 ข)

วงจรรูปที่ 2.10 ก) ใช้ทรานซิสเตอร์ซึ่งผู้ผลิตระบุค่าต่ำสุดและสูงสุดของ  $V_P$  และ  $I_{DSS}$  ไว้ดังนี้  $V_{Pmin} = -2 \text{ v}$ ,  $V_{Pmax} = -5 \text{ v}$ ,  $I_{DSSmin} = 1.6 \text{ mA}$  และ  $I_{DSSmax} = 7.05 \text{ mA}$  กำหนดให้  $V_{DD} = 20 \text{ v}$  ออกแบบวงจรรวมเพื่อให้กระแส  $I_D$  แปรอยู่ไม่เกิน  $I_{Dmin} = 0.8 \text{ mA}$  และ  $I_{Dmax} = 1.2 \text{ mA}$

ในกรณีต่ำสุด  $V_{Pmin} = -2 \text{ v}$ ,  $I_{DSSmin} = 1.6 \text{ mA}$  และ  $I_{Dmin} = 0.8 \text{ mA}$  จากสมการ (2.1) จะได้

$$0.8 = 1.6 [1 + V_{GS} / 2]^2$$

$$\text{หรือ } V_{GS} = 0.59 \text{ v}$$

ในกรณีสูงสุด  $V_{Pmax} = -5 \text{ v}$ ,  $I_{DSSmax} = 7.05 \text{ mA}$  และ  $I_{Dmax} = 1.2 \text{ mA}$  จากสมการ (2.1) จะได้

$$1.2 = 7.05 [1 + V_{GS} / 5]^2$$

$$\text{หรือ } V_{GS} = -2.94 \text{ v}$$

เอกสารนี้เป็นเอกสารที่สงวนไว้สำหรับการใช้งานเพื่อการศึกษาเท่านั้น ไม่อนุญาตให้นำไปใช้ประโยชน์ด้านการค้า  
สมการ KVL ทางขาเข้าเขียนได้ดังนี้ (รูปที่ 2.10 ข)  
ไม่ว่ากรณีใดๆทั้งสิ้น อีกทั้งห้ามเผยแพร่เปลี่ยนแปลงเนื้อหา หรือต้องอ้างอิงถึงเจ้าของเอกสารทุกครั้งที่มีการนำไปใช้

$$[V_{DD}R_2]/[R_1+R_2] = V_{GS} + I_D R_S$$

แทนค่า  $I_D = 0.8 \text{ mA}$  ,  $V_{GS} = -0.59 \text{ v}$  และ  $I_D = 1.2 \text{ mA}$  ,  $V_{GS} = -2.94 \text{ v}$  ลงในสมการ KVL นี้ จะได้

$$[V_{DD}R_2]/[R_1+R_2] = -0.59 + 0.8R_S$$

และ  $[V_{DD}R_2]/[R_1+R_2] = -2.94 + 1.2R_S$

จะได้  $R_S = [2.94 - 0.59]/0.4$   
 $= 5.88 \text{ กิโลโอห์ม}$

และ  $[V_{DD}R_2]/[R_1+R_2] = -0.59 + 0.8*5.88 = 4.11 \text{ v}$

เลือก  $R_2 = 1 \text{ เมกกะโอห์ม}$  (ค่าใหญ่เพื่อจะได้ไม่ลดทอนสัญญาณ) จะได้

$$[20*1]/[R_1 + 1] = 4.11$$

$$R_1 = 3.87 \text{ เมกกะโอห์ม}$$

### การไบอัส MOSFET แบบ ENHANCEMENT

วงจรในรูปที่ 2.9 ก) ไม่สามารถใช้กับ MOSFET แบบชนิด ENHANCEMENT ได้เพราะ FET ชนิดนี้ต้องการแรงดันของ  $V_{GS}$  เป็นบวกสำหรับช่องแคบชนิด n และ  $V_{GS}$  เป็นลบสำหรับช่องแคบชนิด p (คล้ายกับว่าเกตกับช่องแคบจะเป็นเหมือนรอยต่อที่ต้องการไบอัสตรง) การไบอัสวงจร FET ชนิดนี้อาจทำได้โดยแบ่งแรงดัน  $V_{DD}$  หน้าที่เกต (ดูรูปที่ 2.11 ก) หรือจะแบ่งแรงดันเดรนมาที่เกตก็ได้ (ดูรูปที่ 2.11 ข) ในกรณีหลังนี้จะมีการป้อนกลับซึ่งทำให้จุดทำงานมีเสถียรภาพ วงจรในรูปที่ 2.10 ก) ก็อาจจะใช้ได้ แต่ต้องออกแบบให้แรงดันไฟตรงที่เกตมีค่าสูงกว่าแรงดันที่ซอร์ส

### 2.5 วงจรขยายที่ใช้ FET

#### วงจรขยายซอร์สร่วม(Common Source)

เอกสารนี้เป็นเอกสารที่สงวนไว้สำหรับการใช้งานเพื่อการศึกษาเท่านั้น ไม่อนุญาตให้นำไปใช้ประโยชน์ด้านธุรกิจ  
 วงจรขยายซอร์สร่วมมีคุณสมบัติคล้ายคลึงกับวงจรขยายอิมิตเตอร์ร่วม อาจต่างกันอยู่  
 ไม่ว่าจะเป็นใดๆทั้งสิ้น อีกทั้งห้ามเผยแพร่เปลี่ยนแปลงเนื้อหา และต้องอ้างอิงถึงเจ้าของเอกสารทุกครั้งที่มีการนำไปใช้

ข้างตรงที่มีความต้านทานขาเข้าสูง รูปที่ 2.12 แสดงวงจรสมมูลสัญญาณขนาดเล็กของ FET ซึ่งวงจรทางด้านเดรนอาจแทนได้ด้วย Thevinin หรือ แบบ Norton (ดูรูปที่ 2.12 ก) และรูปที่ 2.12 ข)ตามลำดับ

รูปที่ 2.12 ค) แสดงวงจรรขยายขอร์สร่วม ซึ่งสามารถเขียนเป็นวงจรสมมูลได้ดังในรูปที่ 2.12 ง) จากรูปนี้จะสามารถคำนวณค่าต่างๆ ของวงจรรขยายได้โดยง่ายคือ

$$\text{ความต้านทานขาเข้า } R_i = v_i / i_i = R_g \parallel R_1 \parallel R_2 \quad (2.3)$$

$$\text{ความต้านทานขาออก } R_o' = v_o / i_o = R_L \parallel r_d \quad (2.4)$$

$$\text{อัตราขยายแรงดัน } A_v = v_o / v_i = -g_m [R_L \parallel r_d] \quad (2.5)$$

$$\text{อัตราขยายแรงดัน } A_{v_m} = v_o / v_m = v_o v_i / v_i v_m \quad (2.6)$$

$$= -g_m [R_L \parallel r_d] * [R_g / R_g + R_s]$$

โดยทั่วไป  $R_s \ll R_g$  ดังนั้น

$$A_{v_m} = A_v = -g_m [R_L \parallel r_d] \quad (2.7)$$

ในรูปที่ 2.13 ก) แสดงวงจรรขยายขอร์สร่วมซึ่งมีความต้านทาน  $R_z$  ต่ออยู่ระหว่างขอร์สกับกรานด์ ความต้านทาน  $R_z$  นี้อาจใส่ไว้เพื่อให้มีการไบอัสที่มีเสถียรภาพดีขึ้นด้วย วงจรรขยายนี้อาจเขียนเป็นวงจรสมมูลได้ดังรูปที่ 2.13 ข) การใช้แหล่ง Thevinin แทน FET จะช่วยทำให้การสะดวกขึ้น ทั้งนี้โดยสังเกตว่า

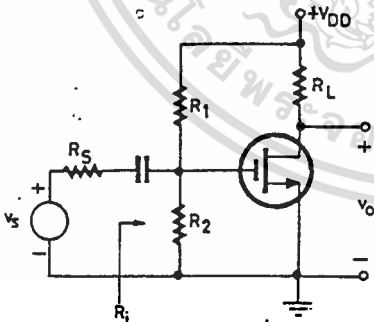
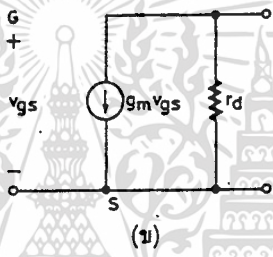
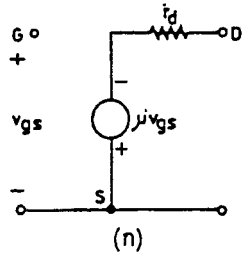
$$V_{gs} = v_i - v_z$$

ดังนั้นแหล่งแรงดันควบคุม  $-μv_{gs}$  ก็แทนได้ด้วยแหล่งแรงดัน  $-μv_i + μv_z$  แต่แหล่งแรงดัน  $μv_z$  คือองค์ประกอบของวงจรที่ให้แรงดันตกคร่อมเป็น  $μ$  เท่าของแรงดัน ตกคร่อมความต้านทาน  $R_z$  ดังนั้น  $μv_z$  ก็คือ ความต้านทาน  $μR_z$  นั้นเอง สามารถเขียนวงจรสมมูลได้ใหม่ดังรูปที่ 2.13 ค) จากวงจรสมมูลนี้จะสามารถคำนวณค่าต่าง ๆ ของวงจรรขยายได้โดยง่ายคือ

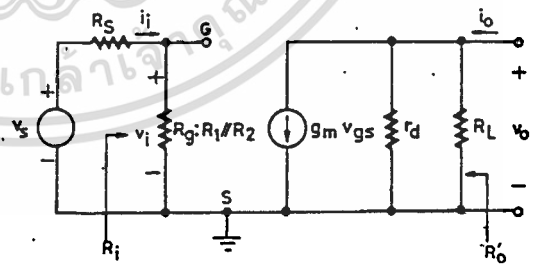
$$\text{ความต้านทานขาเข้า } R_i = R_g \quad (2.8)$$

$$\text{ความต้านทานขาออก } R_o' = [r_d + (1+μ)R_z] \parallel R_L \quad (2.9)$$

เอกสารนี้เป็นเอกสารที่สงวนไว้สำหรับการใช้งานเพื่อการศึกษาเท่านั้น ไม่อนุญาตให้นำไปใช้ประโยชน์ด้านการค้า ไม่ว่ากรณีใดๆทั้งสิ้น อีกทั้งห้ามมิให้ตัดแปลงเนื้อหา และต้องอ้างอิงถึงเจ้าของเอกสารทุกครั้งที่มีการนำไปใช้



(ค) วงจรขยายซอร์สร่วม



(ง) วงจรสมมูลของวงจร (ค)

รูปที่ 2.12 วงจรสมมูลของ FET

เอกสารนี้เป็นเอกสารที่สงวนไว้สำหรับการใช้งานเพื่อการศึกษาเท่านั้น ไม่อนุญาตให้นำไปใช้ประโยชน์ด้านการค้า ไม่ว่าจะกรณีใดๆทั้งสิ้น อีกทั้งห้ามมิให้ดัดแปลงเนื้อหา และต้องอ้างอิงถึงเจ้าของเอกสารทุกครั้งที่มีการนำไปใช้

$$\begin{aligned}
 \text{อัตราขยายแรงดัน} \quad A_{v_m} &= A_v = v_o / v_i \\
 &= -iR_z / v_i \\
 &= -\mu R_z / [r_d + R_z + (1+\mu)R_x] \quad (2.10)
 \end{aligned}$$

สังเกตได้ว่าถ้า  $R_x$  เท่ากับศูนย์จากสมการ(2.10)อัตราขยายแรงดัน  $A_{v_m} = -\mu R_z / (r_d + R_z) = -(\mu/r_d)(R_z/r_d) = -g_m(R_z/r_d)$  ซึ่งก็ตรงกับสมการ (2.17) นั่นเอง

### วงจรมายาซอร์สตาม(Source Follower)

วงจรมายาซอร์สตามอีกอย่างว่า วงจรมายาซอร์สตาม (Common drain) อัตราขยายแรงดันของวงจรมายาซอร์สตามหนึ่ง แต่เล็กกว่าหนึ่งเล็กน้อย นั่นคือแรงดันขาออกที่ซอร์สแฟรตามแรงดันขาเข้าโดยมีค่าเกือบจะเท่ากันโดยตลอด วงจรมายาซอร์สตามแสดงอยู่ในรูปที่ 2.14 ก) ซึ่งเขียนเป็นวงจรมสมมูลได้ดังในรูปที่ 2.14 ข) และรูปที่ 2.14 ค) สังเกตได้ว่าแทนที่จะเขียนแหล่งแรงดัน  $\mu v_{gs}$  เราใช้แหล่งแรงดัน  $\mu v_{gs}$  อนุกรมกับความต้านทาน  $\mu R_x$  แทน โดยใช้เหตุผลเดียวกันกับในข้อก่อน(ดูวงจรรูปที่ 2.13 ค) จากวงจรมายาซอร์สตามในรูปที่ 2.14 ข) และรูป 2.14 ค) จะสามารถคำนวณค่าต่าง ๆ ได้ดังนี้

$$\text{ความต้านทานขาเข้า} \quad R_i = R_x \quad (2.11)$$

$$\text{ความต้านทานขาออก} \quad R_o = v_o / i_o \quad \text{โดยที่ค่าของ } v_{gs} = 0$$

จากรูปที่ 2.14 ค) เมื่อ  $v_i = 0$  จะคำนวณกระแส  $i_o$  ได้เท่ากับ  $v_o(1+\mu)/r_d$  ดังนั้น

$$R_o = r_d / [1+\mu] = 1/g_m \quad (2.12)$$

$$\begin{aligned}
 \text{อัตราขยายแรงดัน} \quad A_{v_m} &= A_v = v_o / v_i \\
 &= iR_z / v_i \\
 &= \mu R_z / [r_d + (1+\mu)R_x] \quad (2.13)
 \end{aligned}$$

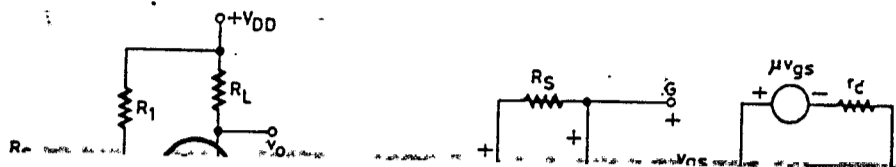
ถ้าให้  $r_d \ll (1+\mu)R_x$  จะได้

$$A_{v_m} = \mu / (1+\mu) = 1 \quad (2.14)$$

จะเห็นได้ว่าโดยทั่วไปอัตราขยายแรงดันมีค่าใกล้เคียงกับ 1

เอกสารนี้เป็นเอกสารที่สงวนไว้สำหรับการใช้งานเพื่อการศึกษาเท่านั้น ไม่อนุญาตให้นำไปใช้ประโยชน์ด้านการค้าไม่ว่ากรณีใดๆทั้งสิ้น อีกทั้งห้ามมิให้ดัดแปลงเนื้อหา และต้องอ้างอิงถึงเจ้าของเอกสารทุกครั้งที่มีการนำไปใช้

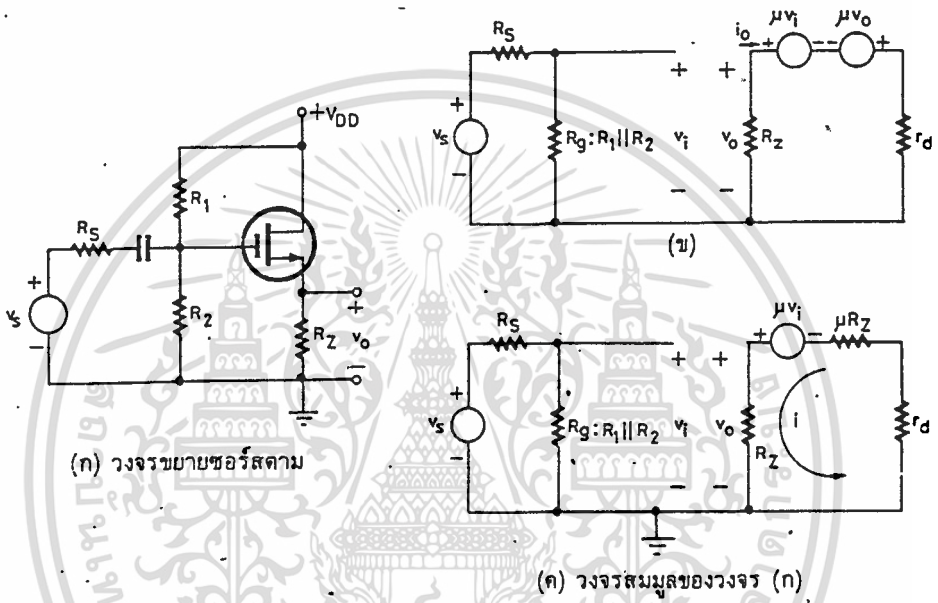
วงจรขยายซอร์สร่วมมีความต้านทานซอร์ส  $R_2$



รูปที่ 2.11 วงจรไบแอส MOSFET ชนิดเพิ่มพูน.

เอกสารนี้เป็นเอกสารที่สงวนไว้สำหรับการใช้งานเพื่อการศึกษาเท่านั้น ไม่อนุญาตให้นำไปใช้ประโยชน์ด้านการค้า  
ไม่ว่ากรณีใดๆทั้งสิ้น อีกทั้งห้ามมิให้ดัดแปลงเนื้อหา และต้องอ้างอิงถึงเจ้าของเอกสารทุกครั้งที่มีการนำไปใช้

วงจรขยายขอร์สตตาม



รูปที่ 2.14

เอกสารนี้เป็นเอกสารที่สงวนไว้สำหรับการใช้งานเพื่อการศึกษาเท่านั้น ไม่อนุญาตให้นำไปใช้ประโยชน์ด้านการค้า  
ไม่ว่ากรณีใดๆทั้งสิ้น อีกทั้งห้ามมิให้ดัดแปลงเนื้อหา และต้องอ้างอิงถึงเจ้าของเอกสารทุกครั้งที่มีการนำไปใช้

## 2.6 ทฤษฎีทั่วไปของ FET LC OSCILLATOR

รูปที่ 2.15 เป็นการวิเคราะห์ FET LC OSCILLATOR โดยไม่คิดองค์ประกอบไฟกระแสตรง  $Z_1, Z_2, Z_3$  เป็นค่ารีแอกแตนส์ หัวข้อในการนิยามมีดังต่อไปนี้

1. พิจารณาว่า  $Z_1, Z_2, Z_3$  เป็นค่ารีแอกแตนส์ ชนิดใดโดยอาจเป็น Inductance หรือ Capacitance
2. หาความสัมพันธ์ขององค์ประกอบทั้งหมดกับความถี่ที่ออสซิลเลท ( $f_o$ )
3. หาค่านารามิเตอร์ของ FET ที่ทำให้เกิดการออสซิลเลทในรูปที่ 2.15  $Z_1$  ต่ออยู่ระหว่างเกตและซอร์สมีคักคาตคกร่อม  $v_{gs}$  ซึ่งแสดงได้ตามรูปที่ 2.16 ซึ่งเป็นวงจรสมมูลที่ใช้ในการวิเคราะห์ ตามเงื่อนไขของการออสซิลเลท  $v_{gs}$  เป็นอินพุทของวงจรขยายซึ่งทำให้เกิดกระแส  $g_{fs} v_{gs}$  ตามรูปที่ 2.16 ก่อให้เกิดคักคาตคกร่อม  $Z_1$  ซึ่งต้องป้อนกลับเป็นอินพุทคือ  $v_{gs}$  ดังนั้น Loop Gain จะมีค่าเป็น 1 จึงเกิดการออสซิลเลท ในกระบวนการวิเคราะห์นี้เป็นการหาค่าคักคาตคกร่อม  $Z_1$  เป็นฟังก์ชันของ  $g_{fs} v_{gs}$  และค่าขององค์ประกอบอื่น ๆ

$$1 = \frac{-1/(Z_1 + Z_2) \cdot g_{fs} v_{gs}}{1/(Z_1 + Z_2) + 1/Z_3 + 1/r_{ds}}$$

จากเงื่อนไขของการออสซิลเลท

$$1Z_1 = v_{gs}$$

$$\text{ดังนั้น } 1 = \frac{-g_{fs} Z_1}{1 + (Z_1 + Z_2)/Z_3 + (Z_1 + Z_2)/r_{ds}} \quad (2.15)$$

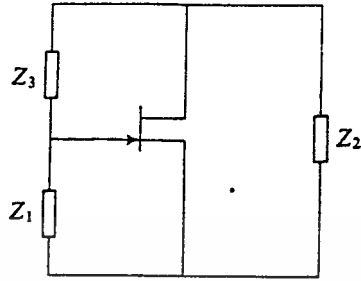
$Z$  เป็นค่ารีแอกแตนส์

$$(Z_1 + Z_2)/Z_3 + 1 = 0$$

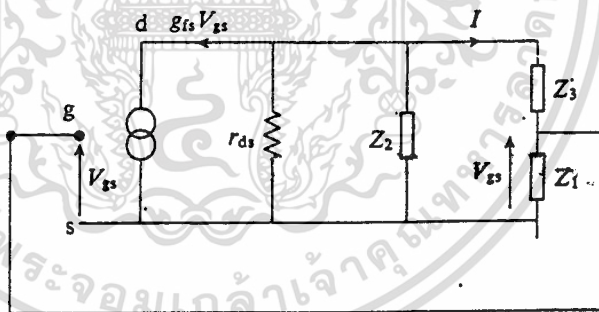
$$\text{และ } Z_1 + Z_2 + Z_3 = 0 \quad (2.16)$$

เทอมค่าจริง ในสมการเท่ากับศูนย์

เอกสารนี้เป็นเอกสารที่  $g_{fs} Z_1$  สำหรับการใช้งานเพื่อการศึกษาเท่านั้น  $(Z_1 + Z_2)/r_{ds}$  ให้นำไปใช้ประโยชน์ด้านการค้า  
ไม่ว่ากรณีใดๆทั้งสิ้น อีกทั้งห้ามมิให้คัดลอกเนื้อหา และต้องอ้างอิงถึงเจ้าของเอกสารทุกครั้งที่มีการนำไปใช้  
จากสมการ (2.16) ดังนั้น



รูปที่ 2.15 รูปพื้นฐานของ FET LC Oscillator ที่ไม่มีส่วนไบแอส



รูปที่ 2.16 วงจรสมมูลของ FET LC Oscillator

เอกสารนี้เป็นเอกสารที่สงวนไว้สำหรับการใช้งานเพื่อการศึกษาเท่านั้น ไม่อนุญาตให้นำไปใช้ประโยชน์ด้านการค้า  
ไม่ว่ากรณีใดๆทั้งสิ้น อีกทั้งห้ามมิให้ตัดแปลงเนื้อหา และต้องอ้างอิงถึงเจ้าของเอกสารทุกครั้งที่มีการนำไปใช้

$$g_{r_{ds}} r_{ds} Z_1 = Z_2 \quad (2.17)$$

เนื่องจาก  $g_{r_{ds}} r_{ds}$  มีค่าเป็นบวก  $Z_1$  และ  $Z_2$  เป็นค่ารีแอกแตนซ์ประเภทเดียวกัน แทนค่า  $Z_2$  ในสมการ (2.16)

$$\begin{aligned} Z_1 + g_{r_{ds}} r_{ds} Z_1 &= -Z_2 \\ Z_2 &= -(1 + g_{r_{ds}} r_{ds}) Z_1 \end{aligned}$$

เพราะว่า  $Z_2$  เป็นค่ารีแอกแตนซ์คนละประเภทกับ  $Z_1$  และ  $Z_2$  สำหรับออสซิลเลเตอร์ Colpitts  $Z_1$  และ  $Z_2$  เป็นค่าขงคาปาซิทีฟ โดยที่ค่าของ  $Z_3$  เป็นอินดักทีฟ

$$Z_1 = 1/j\omega C_1 ; Z_2 = 1/j\omega C_2 ; Z_3 = j\omega L_3$$

แทนลงในสมการ (2.16)

$$\begin{aligned} 1/j\omega C_1 + 1/j\omega C_2 + j\omega L_3 &= 0 \\ \text{ดังนั้น } \omega^2 &= (C_1 + C_2) / L_3 C_1 C_2 \\ f_o &= 1/2\pi \sqrt{L_3 C_2 C_1 / (C_1 + C_2)} \end{aligned} \quad (2.18)$$

ค่าวามิเตอร์ของ FET ที่ทำให้เกิดการออสซิลเลเตอร์หาได้จาก

$$\begin{aligned} g_{r_{ds}} r_{ds} / j\omega C_1 &= 1/j\omega C_2 \\ \text{ดังนั้น } g_{r_{ds}} r_{ds} &= C_1 / C_2 \end{aligned} \quad (2.19)$$

เมื่อให้ค่าของ  $C_1$  และ  $C_2$  จากสมการ (2.19) นี้จะได้ค่า  $g_{r_{ds}} r_{ds}$  ที่น้อยที่สุดที่ก่อให้เกิดการออสซิลเลท โดยทั่วไปค่าที่ใช้ในการทำงานจริงจะมีค่าสูงกว่าค่าออกแบบไว้ซึ่งจะทำให้การออสซิลเลทเกิดขึ้นได้มากจนถึงขีดจำกัดของ FET

อย่างไรก็ตามวงจร LC Tank จะทำหน้าที่เป็นฟิลเตอร์ที่จะเลือกแต่ความถี่ Fundamental และฮาร์โมนิกอื่นจะถูกกำจัดออกไป ดังนั้นเอาท์พุทของออสซิลเลเตอร์จะเป็นรูป sine โดยสมบูรณ์

### บทที่ 3

#### การทดลอง

จากการศึกษาวงจรออสซิลเลเตอร์แบบต่าง ๆ จึงได้สร้างวงจรมอสเฟทออสซิลเลเตอร์แบบ COLPITTS ขึ้น เพื่อศึกษาคุณสมบัติของวงจร LC TANK CIRCUIT ดังรูปที่ 3.1

จากรูป 3.1 เป็นวงจรทดลองกำหนดค่า Quality Factor (Q) ของวงจร TANK คงที่ประมาณ 13 - 15 ความถี่ของการเรโซแนนซ์ 270 กิโลเฮิรตส์ ทดลองปรับลดค่า L โดยกำหนดให้ความถี่ของการเรโซแนนซ์คงเดิม และรักษาค่า Q คงเดิม เพื่อดูผลตอบสนองของวงจรโดยกำหนดให้ค่าพารามิเตอร์อื่น ๆ ภายนอกวงจร TANK มีค่าคงเดิม.

วัดค่าค้ำกตาและกระแสที่จุดต่าง ๆ ได้ผลตามตารางที่ 3.1

การทดลองครั้งที่ 1 ให้ค่าโวลท์เตจ Supply จาก 3 เฟลเรคติฟายเออร์ มีค่า 30 โวลท์ อัตราส่วนของ  $wL/R_L$  เท่ากับ 13.1 โดย L มีค่า 13.9  $\mu\text{H}$ ,  $R_L$  มีค่า 1.67 โอห์ม และ C มีค่า 24 nF ได้ความถี่เรโซแนนซ์จากการคำนวณ

$$f_0 = 1/2\pi\sqrt{LC} = 275 \text{ kHz}$$

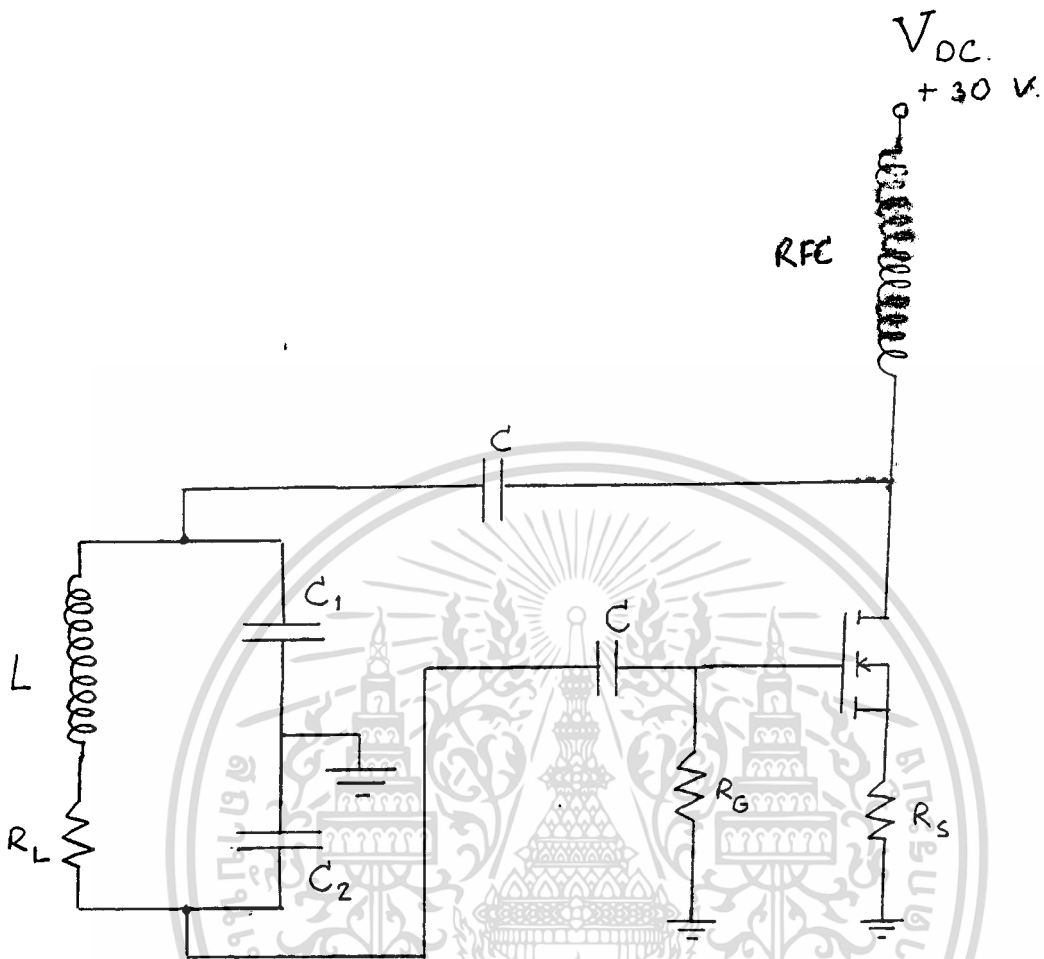
จากผลการทดลองที่ได้ ค่าความถี่เรโซแนนซ์ประมาณ 270 kHz ค่ากระแสอินพุต DC ( $I_{DC}$ ) เท่ากับ 0.25 A ค่ากระแสวงจร Tank ( $I_T$ ) มีค่าเท่ากับ 1.27 A และค่ากำลังเอาต์พุตที่ปรากฏบน  $R_L$  เท่ากับ 2.68 Watt

การทดลองครั้งที่ 2 ค่าโวลท์เตจ Supply มีค่าเท่ากับการทดลองครั้งที่ 1 เปลี่ยนค่า C มีค่าเท่ากับ 16 nF ค่าอัตราส่วนของ  $wL/R$  มีค่าเท่ากับ 15.7 โดยค่าของ L มีค่าเท่ากับ 23  $\mu\text{H}$  และค่า  $R_L$  มีค่า 2.5 โอห์ม ค่าคำนวณได้ค่าความถี่ของการเรโซแนนซ์เท่ากับ 262 kHz จากผลการทดลองได้ค่าความถี่เรโซแนนซ์ประมาณ 270 kHz ค่ากระแสอินพุต DC ( $I_{DC}$ ) เท่ากับ 0.16 A ค่ากระแสในวงจร Tank ( $I_T$ ) เท่ากับ 0.91 A และค่ากำลังเอาต์พุตที่ปรากฏบน  $R_L$  เท่ากับ 2.07 Watt

การทดลองครั้งที่ 3 ที่ค่าโวลท์เตจ Supply เดียวกันกับครั้งที่ 1 และ 2 โดยการเปลี่ยนค่า

C ให้น้อยลงเป็น 8 nF ค่าอัตราส่วนของ  $wL/R_L$  มีค่าเท่ากับ 14 โดย L มีค่าเท่ากับ 46  $\mu\text{H}$

เอกสารนี้เป็นเอกสารที่สงวนไว้สำหรับการใช้งานเพื่อการศึกษาเท่านั้น ไม่อนุญาตให้นำไปใช้ประโยชน์ด้านการค้า และ  $R_L$  มีค่าเท่ากับ 5 โอห์ม ได้ค่าความถี่เรโซแนนซ์จากการคำนวณ 262 kHz จาก



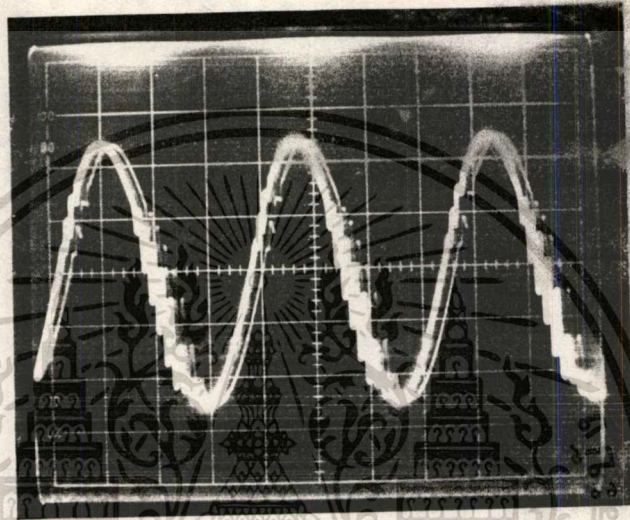
รูปที่ 3.1 วงจรทดลอง

เอกสารนี้เป็นเอกสารที่สงวนไว้สำหรับการใช้งานเพื่อการศึกษาเท่านั้น ไม่อนุญาตให้นำไปใช้ประโยชน์ด้านการค้า  
ไม่ว่ากรณีใดๆทั้งสิ้น อีกทั้งห้ามมิให้ดัดแปลงเนื้อหา และต้องอ้างอิงถึงเจ้าของเอกสารทุกครั้งที่มีการนำไปใช้

ตารางที่ 3.1 ผลการทดลอง

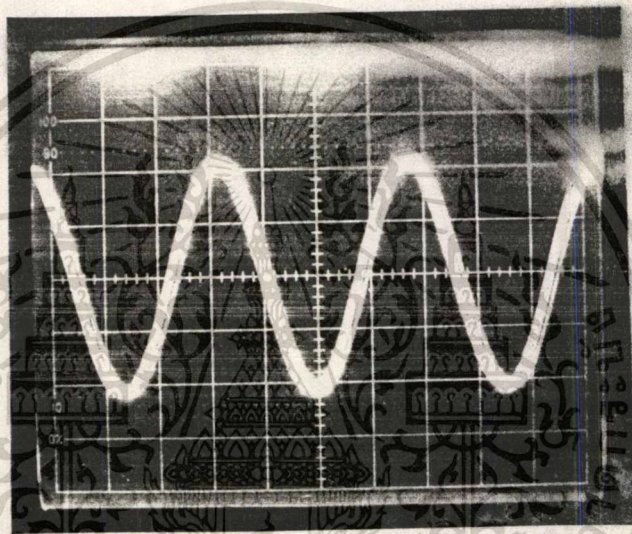
	การทดลองครั้งที่ 1	การทดลองครั้งที่ 2	การทดลองครั้งที่ 3
R, L, C (OHM, $\mu$ H, nF)	1.67, 13.9, 24	2.5, 23, 16	5, 46, 8
$I_{DC}$ (A.)	0.25	0.16	0.13
$I_T$ (A.)	1.27	0.91	0.56
$P_R$ (W.)	2.68	2.07	1.50
$V_T$ (V.)	42	44	56
$V_{C1}$ (V.)	30	33	40
$V_{C2}$ (V.)	14	16	19
$V_D$ (V.)	60	63	72
Q	13.1	15.7	14.0
$P_{out}$ (W.)	7.5	4.8	3.9
eff.(%)	35.7	43.1	38.4

เอกสารนี้เป็นเอกสารที่สงวนไว้สำหรับการใช้งานเพื่อการศึกษาเท่านั้น ไม่อนุญาตให้นำไปใช้ประโยชน์ด้านการค้า  
ไม่ว่ากรณีใดๆทั้งสิ้น อีกทั้งห้ามมิให้ดัดแปลงเนื้อหา และต้องอ้างอิงถึงเจ้าของเอกสารทุกครั้งที่มีการนำไปใช้



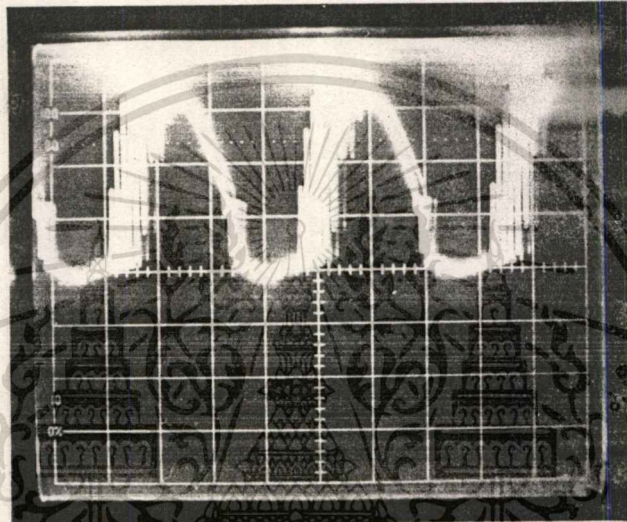
รูปที่ 3.2 รูปคลื่น  $v_T$

เอกสารนี้เป็นเอกสารที่สงวนไว้สำหรับการใช้งานเพื่อการศึกษาเท่านั้น ไม่อนุญาตให้นำไปใช้ประโยชน์ด้านการค้า  
ไม่ว่ากรณีใดๆทั้งสิ้น อีกทั้งห้ามมิให้ดัดแปลงเนื้อหา และต้องอ้างอิงถึงเจ้าของเอกสารทุกครั้งที่มีการนำไปใช้



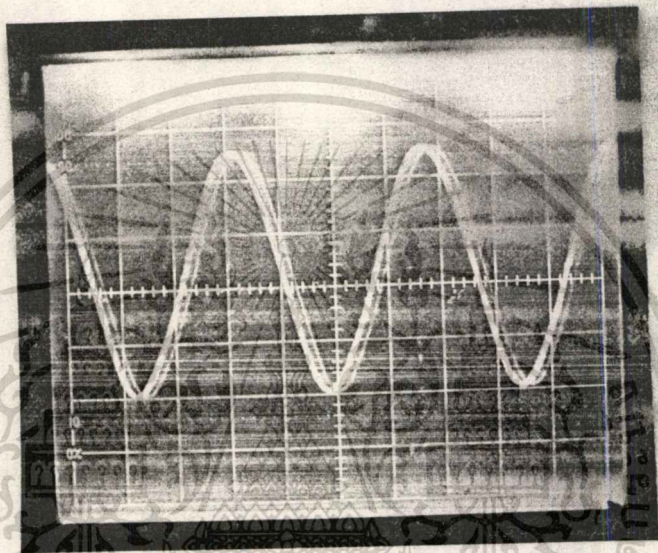
รูปที่ 3.3 รูปคลื่น  $I_T$

เอกสารนี้เป็นเอกสารที่สงวนไว้สำหรับการใช้งานเพื่อการศึกษาเท่านั้น ไม่อนุญาตให้นำไปใช้ประโยชน์ด้านการค้า  
ไม่ว่ากรณีใดๆทั้งสิ้น อีกทั้งห้ามมิให้ตัดแปลงเนื้อหา และต้องอ้างอิงถึงเจ้าของเอกสารทุกครั้งที่มีการนำไปใช้



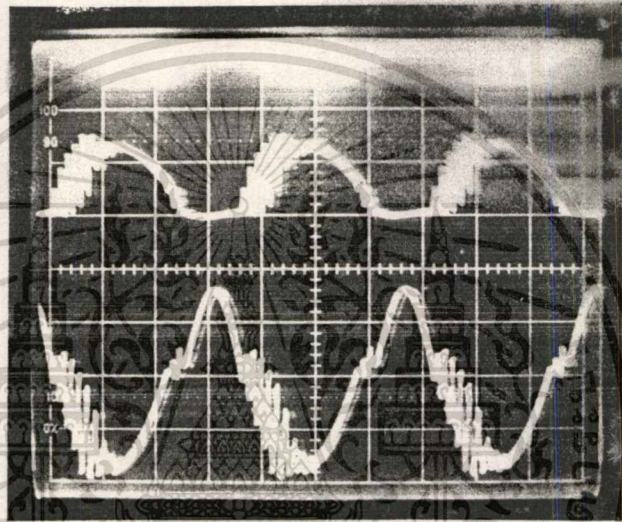
รูปที่ 3.4 รูปคลื่น  $V_{DS}$

เอกสารนี้เป็นเอกสารที่สงวนไว้สำหรับการใช้งานเพื่อการศึกษาเท่านั้น ไม่อนุญาตให้นำไปใช้ประโยชน์ด้านการค้า  
ไม่ว่ากรณีใดๆทั้งสิ้น อีกทั้งห้ามมิให้ดัดแปลงเนื้อหา และต้องอ้างอิงถึงเจ้าของเอกสารทุกครั้งที่มีการนำไปใช้



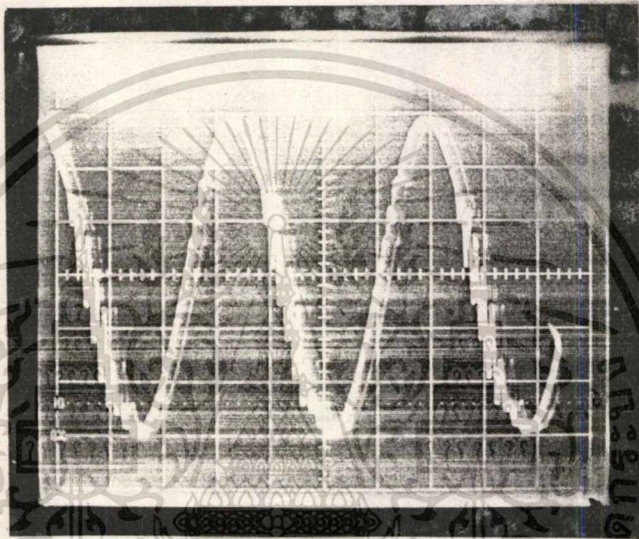
รูปที่ 3.5 รูปคลื่น  $V_{c1}$

เอกสารนี้เป็นเอกสารที่สงวนไว้สำหรับการใช้งานเพื่อการศึกษาเท่านั้น ไม่อนุญาตให้นำไปใช้ประโยชน์ด้านการค้า  
ไม่ว่ากรณีใดๆทั้งสิ้น อีกทั้งห้ามมิให้ตัดแปลงเนื้อหา และต้องอ้างอิงถึงเจ้าของเอกสารทุกครั้งที่มีการนำไปใช้



รูปที่ 3.6 รูปคลื่น  $V_{gs}$  และ  $V_{ds}$

เอกสารนี้เป็นเอกสารที่สงวนไว้สำหรับการใช้งานเพื่อการศึกษาเท่านั้น ไม่อนุญาตให้นำไปใช้ประโยชน์ด้านการค้า  
ไม่ว่ากรณีใดๆทั้งสิ้น อีกทั้งห้ามมิให้ดัดแปลงเนื้อหา และต้องอ้างอิงถึงเจ้าของเอกสารทุกครั้งที่มีการนำไปใช้



รูปที่ 3.7 รูปคลื่น  $V_{c2}$

เอกสารนี้เป็นเอกสารที่สงวนไว้สำหรับการใช้งานเพื่อการศึกษาเท่านั้น ไม่อนุญาตให้นำไปใช้ประโยชน์ด้านการค้า  
ไม่ว่ากรณีใดๆทั้งสิ้น อีกทั้งห้ามมิให้ดัดแปลงเนื้อหา และต้องอ้างอิงถึงเจ้าของเอกสารทุกครั้งที่มีการนำไปใช้

ผลการทดลองได้ความถี่เรโซแนนซ์  $270 \text{ kHz}$  ค่ากระแสอินพุต ( $I_{DC}$ ) เท่ากับ  $0.13 \text{ A}$  ค่ากระแสในวงจร Tank ( $I_T$ ) เท่ากับ  $0.56 \text{ A}$  และค่ากำลังเอาต์พุตที่ปรากฏบน  $R_L$  เท่ากับ  $1.5 \text{ Watt}$

### วิเคราะห์ผลการทดลองและวิจารณ์

จากการทดลองทั้ง 3 ครั้ง จะเห็นได้ว่าเมื่อปรับค่า C ให้น้อยลง โดยค่าพารามิเตอร์อื่นคงที่ ค่ากระแสที่ไหลภายใน Tank ลดลงเนื่องจากค่ารีแอคแตนซ์ของ C มีค่ามากขึ้น ทำให้กระแสที่ไหลผ่านมีค่าน้อยลง ซึ่งจะมีผลทำให้กระแสไหลวนภายใน Loop LC Tank มีค่าน้อยลงตามไปด้วย ตามกฎ Kirchhoff's Voltage Law (KVL) และค่า Power ที่ปรากฏบน  $R_L$  ก็จะมีค่าลดลงด้วย

ดังนั้นถ้าต้องการให้มีกระแสไหลผ่านในวงจร LC Tank มากที่ค่าความถี่เรโซแนนซ์ค่าหนึ่งก็จะต้องกำหนดให้ค่า C มีค่ามากขึ้น และลดค่า L ลดลง แต่ขอบเขตของการปรับค่าของ L และ C จะต้องคำนึงถึงค่า Q ของวงจรด้วยเนื่องจาก  $Q = \omega L/R_L$  ดังนั้นการทำให้ค่า L ลดลงจะต้องลดค่า  $R_L$  ให้เป็นสัดส่วนเดียวกันด้วย ซึ่งจะมีผลเกี่ยวเนื่องกับการ Transfer Power ไปใช้งาน

## กิตติกรรมประกาศ

คณะผู้จัดทำขอขอบพระคุณอาจารย์ พิชิต ล้ำยอง อาจารย์ที่ปรึกษา ที่ได้ให้ความรู้ คำปรึกษา ชี้แนะแนวทางในการปฏิบัติงานตลอดระยะเวลาการศึกษา และขอขอบพระคุณเพื่อนทุก ๆ คนที่ให้คำแนะนำและกำลังใจในการปฏิบัติงานด้วยดีตลอด



เอกสารนี้เป็นเอกสารที่สงวนไว้สำหรับการใช้งานเพื่อการศึกษาเท่านั้น ไม่อนุญาตให้นำไปใช้ประโยชน์ด้านการค้า  
ไม่ว่ากรณีใดๆทั้งสิ้น อีกทั้งห้ามมิให้ตัดแปลงเนื้อหา และต้องอ้างอิงถึงเจ้าของเอกสารทุกครั้งที่มีการนำไปใช้

## บรรณานุกรม

1. Ed Oxner, "Designing with Field-effect Transistor," Second Edition, Siliconix inc.
2. Irving M. Gottlieb P.E., "Basic Oscillator," D.E. Taraporevale Son & Co. Private Ltd.
3. Sanavel Seely, "Electron Tube Circuits," McGraw-Hill.
4. ยืน ภู่วรวรรณ, "ทฤษฎีและการใช้งานอิเล็กทรอนิกส์ เล่ม 1, 2," บริษัท ซีเอ็ดยูเคชั่น จำกัด.



เอกสารนี้เป็นเอกสารที่สงวนไว้สำหรับการใช้งานเพื่อการศึกษาเท่านั้น ไม่อนุญาตให้นำไปใช้ประโยชน์ด้านการค้า  
ไม่ว่ากรณีใดๆทั้งสิ้น อีกทั้งห้ามมิให้ดัดแปลงเนื้อหา และต้องอ้างอิงถึงเจ้าของเอกสารทุกครั้งที่มีการนำไปใช้